

การศึกษากระบวนการในระบบปรับอากาศโดยใช้แบบจำลองทางคณิตศาสตร์
เพื่อหาแนวทางในการปรับปรุงประสิทธิภาพของระบบ

วนิดา สารวรรณ
เสาวลักษณ์ ดวงรัตน์

เสนอต่อมหาวิทยาลัยมหาสารคาม เพื่อเป็นส่วนหนึ่งของการศึกษาตามหลักสูตร
ปริญญาวิทยาศาสตรบัณฑิตสาขาพิสิกส์ประยุกต์

เมษายน 2557

ลิขสิทธิ์เป็นของมหาวิทยาลัยมหาสารคาม

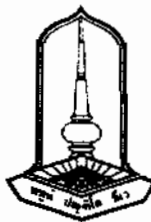
STUDY OF PROCSES IN THE AIR-CONDITIONER BY USING A
MATHEMATICAL MODEL FOR GUIDING TO IMPROVE SYSTEM
EFFICIENCY

WANIDA SARAWAN
SAOWALAK DUANGRAT

PRESNTED IN PARTIAL FULFILLMENT OF REQUIREMENTS FOR
THE DEGREE OF BACHELOR OF SCIENCE IN APPLIED PHYSICS

April 2014

ALL RIGHTS RESERVED BY MAHASARAKHAM UNIVERSITY



คณะกรรมการสอบปริญญาบัณฑิตพิจารณาปริญญาบัณฑิตของนางสาวนิตา สารวรรณ
นางสาวสาวลักษณ์ ดวงรัตน์แล้วเห็นสมควรรับเป็นส่วนหนึ่งของการศึกษาตามหลักสูตรปริญญาวิทยาศาสตร์
บัณฑิตสาขาวิชาพิสิกส์ประยุกต์ของมหาวิทยาลัยมหาสารคาม

คณะกรรมการสอบปริญญาบัณฑิต

..... ประธานกรรมการ

(ผศ.ดร.อนุสรณ์ แสงประจักษ์)

กรรมการ

(อาจารย์ปรีชา ศรีประภาคาร)

กรรมการ

(อาจารย์วุฒิศาสตร์ โชคเกื้อ)

กรรมการและอาจารย์ที่ปรึกษา

(ผศ.วีระภูมิ อรุณวรรธน)

(อ.ดร.นิติศักดิ์ ป่าสاجะ)

หัวหน้าภาควิชาพิสิกส์

วันที่ 29 เดือนเมษายน พ.ศ. 2557

(อ.ดร.ปรเมษฐ์ จันทร์เพ็ง)
ประธานหลักสูตร สาขาวิชาพิสิกส์ประยุกต์



กิตติกรรมประกาศ

ผู้จัดทำปริญญาบัตรเรื่อง การศึกษากระบวนการในระบบปรับอากาศโดยใช้แบบจำลองทางคณิตศาสตร์เพื่อหาแนวทางในการปรับปรุงประสิทธิภาพของระบบ ขอขอบพระคุณท่านอาจารย์ ผศ.วีระวุฒิ อรุณวรรธน์ เป็นอย่างสูงที่ได้ให้คำปรึกษา แนะนำ คอยตักเตือน และแก้ไข จนทำให้ปริญญาบัตรสำเร็จลุล่วงไปด้วยดี

ปริญญาบัตรฉบับนี้สำเร็จสมบูรณ์ได้ด้วยความกรุณาและความช่วยเหลือจาก ท่านผู้ช่วยศาสตราจารย์ ดร. อุนุสรณ์ แสงประจักษ์ ประธานกรรมการสอบปริญญาบัตร อาจารย์ปรีชา ศรีประภาการ และอาจารย์วุฒิศาสตร์ โชคเกื้อ กรรมการสอบปริญญาบัตร และท่านผู้ช่วยศาสตราจารย์วีระวุฒิ อรุณวรรธน์ กรรมการและที่ปรึกษาปริญญาบัตรตลอดจนการสอนวิชาความรู้ต่าง ๆ แนะนำการแก้ไขปัญหาต่าง ๆ คงจะเป็นภาระที่สำคัญเป็นอย่างสูง ณ โอกาสนี้

ขอขอบคุณ ห้องปฏิบัติการฟิสิกส์ประยุกต์พัฒนา คณะวิทยาศาสตร์ ภาควิชาฟิสิกส์ มหาวิทยาลัยมหาสารคาม ซึ่งเป็นสถานที่ในการทดลอง และจัดทำปริญญาบัตรจนสำเร็จลุล่วงไปด้วยดี

ขอขอบพระคุณคณาจารย์ภาควิชาฟิสิกส์ คณะวิทยาศาสตร์ มหาวิทยาลัยมหาสารคาม ที่คอยช่วยเหลือและให้การสนับสนุน ในส่วนที่ขาดหายจนทำให้ปริญญาบัตรเล่มนี้สำเร็จด้วยดี

ขอขอบพระคุณ บิดา นารดาและครอบครัว ที่คอยให้การสนับสนุนเป็นกำลังใจที่สำคัญในการศึกษานาโดยตลอด ตลอดจนผู้ที่ไม่ได้สามารถกล่าวนานได้ทั้งหมดที่ให้กำลังใจและให้ความช่วยเหลือด้วยความเต็มใจอย่างยิ่ง

วนิดา สารวรรณ
สาวลักษณ์ ดวงรัตน์

ชื่อเรื่อง	การศึกษากระบวนการในระบบปรับอากาศโดยใช้แบบจำลองทางคณิตศาสตร์เพื่อหาแนวทางในการปรับปรุงประสิทธิภาพของระบบ
ผู้วจัย	วนิดา สารวรรณ สาวลักษณ์ ดวงรัตน์
ปริญญา อาจารย์ที่ปรึกษา	วท.บ. สาขาวิชา ฟิสิกส์ประยุกต์สายพัลส์งาน ผู้ช่วยศาสตราจารย์ วีระภูมิ อรุณวรธน มหาวิทยาลัยมหาสารคาม ปีที่พิมพ์ 2257
มหาวิทยาลัย	

บทคัดย่อ

โครงการนี้มีวัตถุประสงค์เพื่อศึกษาทำความเข้าใจเกี่ยวกับกระบวนการต่าง ๆ ที่เกิดขึ้นในระบบปรับอากาศ เพื่อหาแนวทางในการปรับปรุงประสิทธิภาพของระบบ โดยใช้แบบจำลองทางคณิตศาสตร์ที่เขียนขึ้น โดยผลการทำนายจะถูกแก้สมการออกมาโดยใช้ออฟแวร์ Engineering Equation Solver (EES) แบบจำลองนี้ได้ทำการตรวจสอบกับผลจากการทดลองในช่วงอุณหภูมิอากาศก่อนในเดือนเมษายน 21 – 33 องศาเซลเซียส พบว่า อัตราการไหลของสารทำความเย็นที่ทำนายได้มีความแตกต่างจากการทดลองเฉลี่ย 12% ประสิทธิภาพไออกซินโตรบิกที่ได้จากการทำนายแตกต่างจากการทดลองเฉลี่ย 17% ค่าอุณหภูมิของสารทำความเย็นที่ออกจากคอมเพรสเซอร์ที่ได้จากการทำนายแตกต่างจากการทดลองเฉลี่ย 3% ค่าของอัตราการไหลของคอมเพรสเซอร์ที่ได้จากการทำนายมีความแตกต่างจากการทดลองเฉลี่ย 5% ค่าอัตราการถ่ายเทคโนวิรอนที่คอนเดนเซอร์ที่ได้จากการทำนายมีความแตกต่างจากการทดลองเฉลี่ย 2% และเปรียบเทียบค่าสัมประสิทธิ์สมรรถนะระหว่างการทำนายกับการทดลองพบว่ามีความแตกต่างเฉลี่ย 6% นอกจากนี้ยังได้ใช้แบบจำลองทำการทำนายค่าสัมประสิทธิ์สมรรถนะเฉลี่ยรายเดือนโดยใช้ข้อมูลในปี พ.ศ.2550-2555 และทำนายค่าสัมประสิทธิ์ล่มร้อนเฉลี่ยรายชั่วโมง พบว่า ค่าสัมประสิทธิ์สมรรถนะจะลดลงในช่วงเดือนเมษายน และพฤษภาคมเนื่องจากเป็นช่วงเดือนที่มีอุณหภูมิสูงส่งผลให้ประสิทธิภาพในการทำความเย็นต่ำลง ซึ่งในทางกลับกันช่วงเดือนกรกฎาคมและธันวาคมจะมีค่าสัมประสิทธิ์สมรรถนะสูงเนื่องจากเป็นช่วงที่มีอุณหภูมิต่ำทำให้ประสิทธิภาพในการทำความเย็นสูงซึ่งสอดคล้องกับผลของค่าเฉลี่ยรายชั่วโมง จากผลการศึกษาครั้งนี้ พบว่า ปัจจัยที่มีผลต่อประสิทธิภาพของระบบปรับอากาศ คือความสามารถในการระบายความร้อนออกที่อุปกรณ์ควบคุม ดังนั้น การลดอุณหภูมิอากาศก่อนในเลเซอร์อุปกรณ์ควบคุมนั่น จะทำให้ค่าสัมประสิทธิ์สมรรถนะเพิ่มมากขึ้นได้ หรือออกแบบอุปกรณ์ควบคุมนั่นให้มีประสิทธิภาพในการระบายความร้อนเพิ่มขึ้นได้

คำสำคัญ : ระบบปรับอากาศ, คอนเดนเซอร์, คอมเพรสเซอร์, ประสิทธิภาพของระบบปรับอากาศ,
สัมประสิทธิ์สมรรถนะ

TITLE	Study of processes in the air-conditioner by using a mathematical model for guiding to improve system efficiency	
AUTHOR	Wanida Sarawan Saowalak Duangrat	
DEGREE	Bachelor of Science MAJOR Applied Physics	
ADVISORS	Asst. Prof. Weerawut Arunwattana	
UNIVERSITY	Mahasarakham University	DATE 2014

ABSTRACT

The aims of this project is to study the processes occurred in an air-conditioner by using a mathematical model for guiding to improve system efficiency. The model was implemented by Engineering Equation Solver (EES). This model was also validated with experimental results when air temperature entering in the condenser is controlled in the range of 21-33 °C. It was found that the predicted results of refrigerant mass flow rate, isentropic efficiency, discharge temperature, work rate in compressor, heat rate in condenser, and COP are different from experimental results by 12%, 17%, 3%, 5%, 2% and 6% respectively in average. In addition, the model was used to predict the average coefficient of performance in each month of the year 2008 -2010 and in each hour of a day. It was found that the coefficient of performance is reduced during April and May due to higher air temperatures, resulting in lower cooling efficiency. In the other hand, between January and December, COP is high due to lower air temperatures resulting in higher cooling efficiency, which is consistent with the results of hourly weather data. According to the results, ability of the condenser to reject heat is the most influent to system efficiency. Thus, reducing air temperature before entering in the condenser is capable to increase system efficiency or design of condenser should be highly efficient enough.

Keywords : Air conditioning system, Condenser, Compressor, Efficiency of air conditioning systems, Coefficient of performance.

สารบัญ

	หน้า
กิตติกรรมประกาศ	ก
บทคัดย่อภาษาไทย	ข
บทคัดย่อภาษาอังกฤษ	ค
สารบัญ	ง
สารบัญตาราง	ฉ
สารบัญภาพประกอบ	ช
สารบัญคำย่อ	ณ
บทที่ 1 ความสำคัญและที่มาของโครงการปัญหาที่เกิดขึ้น	1
1.1 บทนำ	1
1.2 วัตถุประสงค์ของโครงการ	2
1.3 ขอบเขตของโครงการ	2
1.4 ประโยชน์ที่คาดว่าจะได้รับ	2
บทที่ 2 ทฤษฎีที่เกี่ยวข้อง	3
2.1 กฎการอนุรักษ์มูลและกฎการอนุรักษ์พลังงาน	3
2.2 เครื่องแลกเปลี่ยนความร้อน	4
2.3 ปรับระบายความร้อนและสัมประสิทธิ์สมรรถนะของระบบ	6
2.4 สัมประสิทธิ์แรงเสียดทานและสัมประสิทธิ์สัมประสิทธิ์การถ่ายเทความร้อน	9
2.5 สัมประสิทธิ์สมรรถนะของการทำความเย็น	21
บทที่ 3 แบบจำลองและวิธีการคำนวณ	22
3.1 สร้างแบบจำลอง	22

สารบัญ(ต่อ)

	หน้า
3.2 วิธีการคำนวณ	35
บทที่ 4 การตรวจสอบแบบจำลอง	36
4.1 อุปกรณ์การทดลองเพื่อตรวจสอบแบบจำลองทางคณิตศาสตร์	36
4.2 ตำแหน่งการวัดและเครื่องมือการวัด	37
4.3 ค่าที่ต้องการหาจากการทดลองเพื่อเปรียบเทียบกับค่าที่ได้จากการคำนวณ	38
4.4 ผลการเปรียบเทียบค่าที่ได้จากการทดลองและการคำนวณ	40
บทที่ 5 การศึกษาผลจากแบบจำลอง	49
5.1 สัมประสิทธิ์สมรรถนะ	49
5.2 วิจารณ์ผลและข้อเสนอแนะ	52
บทที่ 6 สรุปผล	55
เอกสารอ้างอิง	57
ภาคผนวก	59
ภาคผนวก ก ตารางแสดงผลการวัดของอุปกรณ์การทดลอง	60
ภาคผนวก ข ข้อมูลทางเทคนิคเครื่อง ET600 Laboratory of Air-conditioning system	62
ภาคผนวก ค รหัสของการเขียนใน Engineering Equation Solver	66
ประวัติย่อผู้เขียน	75

สารบัญตาราง

หน้า

ตาราง 4.1 สรุปอุปกรณ์ที่ใช้ในการวัดค่าต่างๆ

37

สารบัญภาพประกอบ

	หน้า
ภาพประกอบ 2.1 การเปลี่ยนแปลงอุณหภูมิในอุปกรณ์แลกเปลี่ยนความร้อนที่ของไอลิฟล้านทางกัน	4
ภาพประกอบ 2.2 สมดุลความร้อนของเครื่องระบบายความร้อน	6
ภาพประกอบ 2.3 การให้ผลผ่านผิวของวัสดุ	9
ภาพประกอบ 2.4 การเกิดขึ้นของเขตความร้อน	11
ภาพประกอบ 2.5 การให้แบบจำลองและเทอร์บูลเอนซ์	12
ภาพประกอบ 2.6 ขั้นตอนเบตงของความเร็ว	13
ภาพประกอบ 2.7 พลังมวลที่ให้ผลลัพธ์ผิว	14
ภาพประกอบ 2.8 ขั้นตอนเบตงความร้อน	16
ภาพประกอบ 2.9 การหาค่าสัมประสิทธิ์สมรรถนะ	21
ภาพประกอบ 3.1 แสดงรายละเอียดตำแหน่งในอุปกรณ์ต่าง ๆ	22
ภาพประกอบ 3.2 กระบวนการอัดไอของคอมเพรสเซอร์	23
ภาพประกอบ 3.3 อุปกรณ์ระควบแน่น	24
ภาพประกอบ 3.4 บริเวณการถ่ายโอนความร้อน	26
ภาพประกอบ 3.5 เครื่องระบบายความร้อนในอุปกรณ์ควบแน่น	29
ภาพประกอบ 3.6 ลักษณะการวางท่อและเครื่บ	29
ภาพประกอบ 3.7 อุปกรณ์ลดความดัน	33
ภาพประกอบ 3.8 อุปกรณ์ระเหย	33
ภาพประกอบ 3.9 วิธีการคำนวณแบบจำลอง	35
ภาพประกอบ 4.1 ส่วนประกอบของเครื่อง ET600 Laboratory of Air-conditioning system	36
ภาพประกอบ 4.2 แสดงลักษณะและส่วนประกอบต่าง ๆ ของระบบทำความเย็น	37
ภาพประกอบ 4.3 การเปรียบเทียบอัตราการให้ของสารทำความเย็น	40

สารบัญภาพประกอบ(ต่อ)

	หน้า
ภาพประกอบ 4.4 การเปรียบเทียบประสิทธิภาพไอลเซนโทรปิก	41
ภาพประกอบ 4.5 การเปรียบเทียบอุณหภูมิ T_2	42
ภาพประกอบ 4.6 การเปรียบเทียบงานที่คอมเพรสเซอร์	43
ภาพประกอบ 4.7 การเปรียบเทียบการถ่ายเทความร้อนที่คอนเดนเซอร์	44
ภาพประกอบ 4.8 การเปรียบเทียบค่าประสิทธิผลของอุปกรณ์แลกเปลี่ยนความร้อนในบริเวณ การควบแน่น	45
ภาพประกอบ 4.9 สัดส่วนความยาวของท่อในอุปกรณ์ควบแน่น	46
ภาพประกอบ 4.10 คุณภาพไอล	47
ภาพประกอบ 4.11 ความดันอุปกรณ์ควบแน่น	47
ภาพประกอบ 4.12 การเปรียบเทียบค่าสัมประสิทธิ์สมรรถนะ	48
ภาพประกอบ 5.1 ค่าสัมประสิทธิ์สมรรถนะปี 2008	49
ภาพประกอบ 5.2 ค่าสัมประสิทธิ์สมรรถนะปี 2009	49
ภาพประกอบ 5.3 ค่าสัมประสิทธิ์สมรรถนะปี 2010	50
ภาพประกอบ 5.4 ค่าสัมประสิทธิ์สมรรถนะปี 2011	50
ภาพประกอบ 5.5 ค่าสัมประสิทธิ์สมรรถนะปี 2012	51
ภาพประกอบ 5.6 ค่าสัมประสิทธิ์สมรรถนะวันที่ 11/01/2557	51
ภาพประกอบ 5.7 คุณภาพไอลของสารทำความเย็นที่ออกจากอุปกรณ์ควบแน่น	52
ภาพประกอบ 5.8 เปรียบเทียบค่าสัมประสิทธิ์สมรรถนะของความยาวท่อในอุปกรณ์ควบแน่น	53
ภาพประกอบ 5.9 เปรียบเทียบค่าสัมประสิทธิ์สมรรถนะของความเร็วอากาศก่อนเข้าอุปกรณ์ ควบแน่น	53
ภาพประกอบ 5.10 เปรียบเทียบค่าสัมประสิทธิ์สมรรถนะของระยะห่างของครึ่งระบบความร้อน	54

สารบัญคำย่อ

- A = พื้นที่การถ่ายโอนความร้อน [m^2]
- A_f = พื้นที่ของครึ่งระบบความร้อน [m^2]
- a = อากาศ
- cV = ปริมาตรความคุณหรือระบบเปิด
- C_f = สัมประสิทธิ์แรงเสียดทาน
- C_{min} = ผลคูณของอัตราการไหลเชิงมวลกับความจุความร้อนจำเพาะของไอลที่มีค่าน้อย
- C_{max} = ผลคูณของอัตราการไหลเชิงมวลกับความจุความร้อนจำเพาะของไอลที่มีค่ามาก
- Cp_{air} = ค่าความความร้อนจำเพาะของอากาศ [$\text{kJ}/\text{kg}^\circ\text{C}$]
- con = บริเวณคงเด่นเชอร์
- dm_{cv} = การเปลี่ยนแปลงของมวลภายในปริมาตรความคุณ [kg]
- dt = ช่วงเวลาที่พิจารณา [s]
- $\frac{dT}{dx}$ = เกรเดียนท์ของอุณหภูมิในทิศทางการเคลื่อนที่ของความร้อน [$^\circ\text{C}/m$]
- D_c = เส้นผ่านศูนย์กลางของหัววัดจากผิวน้ำของครึ่ง [m]
- e = ทางออก
- ΔE = การเปลี่ยนแปลงพลังงานภายในปริมาตรความคุณ [kW]
- E = อีแอลป์ไปเรเตอร์
- F_p = ระยะห่างของครึ่งระบบความร้อนแบบ Plain [m]
- g = แรงโน้มถ่วงของโลก [m/s^2]
- h = สัมประสิทธิ์การพาความร้อน [$\text{W}/\text{m}^\circ\text{C}$]
- h = เอนทัลปี [kJ/kg]
- h_a = เอนทัลปีของอากาศ [kJ/kg]
- h_1 = ค่าเอนทัลปี ณ จุดก่อนเข้าอุปกรณ์อัดไอ [kJ/kg]
- h_2 = ค่าเอนทัลปี ณ จุดที่ออกจากการอุปกรณ์อัดไอ [kJ/kg]

สารบัญคำย่อ(ต่อ)

- h_4 = ค่าเออนทัลปี ณ จุดก่อนเข้าอุปกรณ์ระเหย [kJ/kg]
- $h_{2,loss}$ = เอนทัลปีที่ออกจากคอมเพรสเซอร์ กรณีที่มีความร้อนสูญเสียที่คอมเพรสเซอร์ [kJ/kg]
- i = ทางเข้า
- k = ค่าสภาพการนำความร้อนของวัสดุ [kW/m°C]
- L = ความยาวของเครื่องระบบโดยความร้อน [m]
- L_p = ระยะห่างของเครื่องระบบแบบบานเกล็ด [m]
- L_h = ความสูงในมุมเอียงของเครื่องระบบโดยความร้อน [m]
- m = เส้นรอบวงของเครื่องระบบโดยความร้อน [m]
- \dot{m} = มวลของระบบ [kg/s]
- \dot{m}_a = อัตราการไหลของอากาศ [kg/s]
- \dot{m}_r = อัตราการไหลของสารทำความเย็น [kg/s]
- $\sum \dot{m}_i$ = ผลรวมของอัตราการไหลเข้าสู่ปริมาตรควบคุม [kg/s]
- $\sum \dot{m}_e$ = ผลรวมของอัตราการไหลออกจากปริมาตรควบคุม [kg/s]
- max = ค่าสูงสุด
- NTU = Number of transfer unit
- N = จำนวนถ้วย
- P = เส้นรอบวงของเครื่อง
- $P_{1/4}$ = ความดันของอุปกรณ์ระเหยด้านต่อ
- $P_{2/3}$ = ความดันของอุปกรณ์ควบแน่นด้านสูง
- P_t = ระยะห่างระหว่างท่อวัสดุจากเส้นผ่านศูนย์กลางในแนวตั้ง [m]
- P_l = ระยะห่างระหว่างท่อวัสดุจากเส้นผ่านศูนย์กลางในแนวอน [m]
- \dot{q} = อัตราพลังงานที่จ่ายต่อปริมาตรควบคุม
- \dot{Q} = อัตราการถ่ายโอนความร้อนผ่านขอบเขตของระบบ [kW]

สารบัญคำย่อ(ต่อ)

- Q = อัตราการถ่ายเทคความร้อน [kW]
- \dot{Q}_c = ค่าอัตราการถ่ายเทคความร้อนที่อุปกรณ์ควบแน่น [kW]
- Q_{convec} = ความร้อนที่สูญเสียโดยการพาความร้อนออกจากระบบ [kW]
- \dot{Q}_E = ค่าอัตราการถ่ายเทคความร้อนที่อุปกรณ์ระเหย [kW]
- \dot{Q}_{max} = อัตราการถ่ายเทคความร้อนสูงสุด [kW]
- Q_{in} = อัตราการระบายความร้อนออกของเครื่องปรับอากาศ [kW]
- Q_{out} = อัตราการระบายความร้อนเข้าของเครื่องปรับอากาศ [kW]
- Q_x = ความร้อนที่เข้าสู่ระบบ ณ ตำแหน่ง x [kW]
- $Q_{x+\Delta x}$ = ความร้อนที่ออกจากระบบ ณ ตำแหน่ง $(x + \Delta x)$ [kW]
- r = สารทำความเย็น
- T_∞ = อุณหภูมิของของไอลอิสระที่อยู่ห่างออกไปจากผิวทั่วๆ [°C]
- T_0 = อุณหภูมิฐานเครื่องที่ต่อจากผนัง [°C]
- T_1 = อุณหภูมิของสารทำความเย็นก่อนเข้าอุปกรณ์อัดไอ [°C]
- T_2 = อุณหภูมิของสารทำความเย็นที่ออกจากอุปกรณ์อัดไอ [°C]
- T_3 = อุณหภูมิของสารทำความเย็นที่ออกจากอุปกรณ์ควบแน่น [°C]
- T_4 = อุณหภูมิของสารทำความเย็นก่อนเข้าอุปกรณ์ระเหย [°C]
- ΔT_{max} = อุณหภูมิแตกต่างสูงสุด [°C]
- $T_{a,in}$ = อุณหภูมิสิ่งแวดล้อมก่อนเข้าอุปกรณ์ควบแน่น [°C]
- $T_{a,out}$ = อุณหภูมิสิ่งแวดล้อมที่ออกจากอุปกรณ์ควบแน่น [°C]
- ΔT_{LMTD} = ความแตกต่างของอุณหภูมิเฉลี่ยในอุปกรณ์แลกเปลี่ยนความร้อน [°C]
- t_f = ความหนาของเครื่องปรับอากาศ [m]
- u = ความเร็ว [m/s]
- U = สัมประสิทธิ์การถ่ายเทคความร้อนรวม [$\text{kW}/\text{m}^2 \text{ °C}$]
- u_∞ = ความเร็วของไอลอิสระ [m/s]

สารบัญคำย่อ(ต่อ)

\dot{V}_R	= อัตราการไหลของสารทำความเย็น [m/s]
\dot{v}_a	= อัตราความเร็วของอากาศ [m/s]
\dot{W}	= ปริมาณงานต่อหนึ่งหน่วยเวลาที่ให้หรือออกจากระบบ [kW]
\dot{w}_c	= อัตรางานที่ป้อนให้กับอุปกรณ์อัตโนมัติ [kW]
Z	= ระดับความสูงจากแนวอิฐอ่อง [m]
ε	= ประสิทธิผล
θ	= ความแตกต่างของอุณหภูมิ [$^{\circ}\text{C}$]
τ_s	= แรงเฉือนที่ผิว
ρ	= ความหนาแน่น [kg/m^3]
μ	= ความหนืดพลวัตของของเหลว [Ns/m^2]
μ_f	= ความหนืดพลวัตของสารทำความเย็นที่เป็นของเหลว [$\text{kg}/\text{m} \cdot \text{s}$]
μ_g	= ความหนืดพลวัตของสารทำความเย็นที่เป็นไอ [$\text{kg}/\text{m} \cdot \text{s}$]
ρ_3	= ค่าความหนาแน่น ณ จุดที่ 3 [kg/m^3]
η_v	= ประสิทธิภาพไอนีโตรบิก

บทที่ 1

บทนำ

1.1 หลักการและเหตุผล

ประเทศไทยมีอุณหภูมิและความชื้นค่อนข้างสูงดังนั้นในที่อยู่อาศัยจึงจำเป็นต้องมีเครื่องปรับอากาศเพื่อให้ผู้อยู่อาศัยมีประสิทธิภาพในการพักผ่อนและการทำงานให้อยู่ในสภาพที่สบาย ระบบปรับอากาศแบบอัดไอ เป็นระบบปรับอากาศที่มีการใช้อ่างแพร่หลายในประเทศไทย เนื่องจากมีประสิทธิภาพสูงและราคาไม่แพงมากนักเมื่อเทียบกับระบบปรับอากาศชนิดอื่น อย่างไรก็ตามเนื่องจากระบบปรับอากาศที่ใช้สำหรับที่อยู่อาศัยเป็นแบบระบบความร้อนด้วยอากาศ ทำให้ประสิทธิภาพของระบบมีค่าไม่สูงมากนักสืบเนื่องมาจากอากาศแวดล้อมที่มีอุณหภูมิค่อนข้างสูง การใช้พลังงานในส่วนของเครื่องปรับอากาศในอาคารพาณิชย์ เช่น โรงแรมต่าง ๆ จะมีสัดส่วนการใช้พลังงานสูงส่งผลให้การใช้พลังงานในระบบปรับอากาศมีนัยยะสำคัญต่อการใช้พลังงานในภาพรวมของประเทศ ด้วยเหตุนี้มาตรการประหยัดพลังงานในระบบปรับอากาศจึงมีความจำเป็นอย่างยิ่งที่จะสามารถช่วยลดอัตราการใช้พลังงานในภาพรวมของประเทศไทยได้ มาตรการหนึ่งที่ใช้ก็คือปรับปรุงประสิทธิภาพการทำงานของระบบปรับอากาศ อย่างไรก็ตามในการที่จะปรับปรุงประสิทธิภาพการทำงานของระบบปรับอากาศจะต้องมีความเข้าใจอย่างถ่องแท้ต่อกระบวนการต่าง ๆ ที่เกิดขึ้นในระบบจึงจะสามารถหาแนวทางในการปรับปรุงได้ การศึกษาระบวนการต่าง ๆ ที่เกิดขึ้นจากแบบจำลองนั้นมีความสำคัญอย่างยิ่ง เนื่องจากเป็นการศึกษาที่ลงทุนน้อยที่สุดแต่ได้ประสิทธิภาพสูงสุดถ้าแบบจำลองนั้นมีความแม่นยำสืบเนื่องจากผลกระทบทางด้านสิ่งแวดล้อมทำให้สารทำความเย็นที่เคยใช้เปลี่ยนแปลงไปจากเดิมดังนั้นโครงงานนี้จะทำการสร้างแบบจำลองขึ้นมาใหม่แล้วทำการตรวจสอบแบบจำลองโดยทำการเปรียบเทียบกับผลการทดลองและใช้แบบจำลองนี้ศึกษาถึงพฤติกรรมที่เกิดขึ้นในกระบวนการต่าง ๆ ของระบบ เพื่อหาแนวทางและข้อเสนอแนะในการเพิ่มประสิทธิภาพให้กับระบบ



1.2 วัตถุประสงค์

ศึกษาทำความเข้าใจเกี่ยวกับกระบวนการการต่าง ๆ ที่เกิดขึ้นในระบบปรับอากาศเพื่อหาแนวทางในการเพิ่มประสิทธิภาพของระบบโดยใช้แบบจำลองทางคณิตศาสตร์ที่สร้างขึ้น

1.3 ขอบเขต

1.3.1 ศึกษาและทำความเข้าใจเกี่ยวกับกระบวนการในระบบปรับอากาศแบบอัตโนมัติที่ระบบายความร้อนด้วยอากาศ

1.3.2 สร้างแบบจำลองทางคณิตศาสตร์ของระบบปรับอากาศโดยใช้สารทำความเย็นที่ไม่มีผลกระทบต่อการทำลายชั้นบรรยากาศโโซไซน

1.3.3 ทำการตรวจสอบแบบจำลองโดยทำการเปรียบเทียบกับผลการทดลอง

1.3.4 ใช้แบบจำลองศึกษาถึงพฤติกรรมที่เกิดขึ้นในกระบวนการต่าง ๆ ของระบบ เพื่อหาแนวทางและข้อเสนอแนะในการเพิ่มประสิทธิภาพให้กับระบบ

1.4 ประโยชน์ที่คาดว่าจะได้รับ

1.4.1 เข้าใจกระบวนการต่าง ๆ ที่เกิดขึ้นในระบบปรับอากาศ

1.4.2 พัฒนาทางในการเพิ่มประสิทธิภาพของระบบปรับอากาศ

บทที่ 2

ทฤษฎีที่เกี่ยวข้อง

2.1 กฎการอนุรักษ์มวลและกฎการอนุรักษ์พลังงาน

กฎการอนุรักษ์มวลและกฎการอนุรักษ์พลังงาน จะถูกนำมาใช้ในกระบวนการต่าง ๆ ที่เกิดขึ้น ใน การศึกษาครั้งนี้จะพิจารณาเป็นระบบเปิดที่มีการถ่ายโอนมวลและพลังงานผ่านขอบเขตของระบบ ในอุปกรณ์ ต่าง ๆ ได้แก่ คอมเพรสเซอร์ คอนเดนเซอร์ วาล์วลดความดัน และอิว่าไปเรเตอร์ โดยการถ่ายเทมวลและผลที่ เกิดจากการถ่ายโอนพลังงานจะเป็นไปตามกฎการอนุรักษ์มวลและกฎการอนุรักษ์พลังงาน ซึ่งกฎการอนุรักษ์มวล สามารถแสดงเป็นสมการได้ดังนี้

$$\sum \dot{m}_i - \sum \dot{m}_e = \frac{dm_{cv}}{dt} \quad (2.1)$$

- เมื่อ $\sum \dot{m}_i$ = ผลรวมของอัตราการไหลเข้าสู่ปริมาตรควบคุม [kg/s]
 $\sum \dot{m}_e$ = ผลรวมของอัตราการไหลออกจากปริมาตรควบคุม [kg/s]
 dm_{cv} = การเปลี่ยนแปลงของมวลภายในปริมาตรควบคุม [kg]
 dt = ช่วงเวลาที่พิจารณา [s]
 i = ทางเข้า
 e = ทางออก
 cv = ปริมาตรควบคุมหรือระบบเปิด

สำหรับกฎการอนุรักษ์พลังงานจะเป็นไปตามกฎข้อที่ 1 ทางเทอร์โนไดนามิกส์สำหรับปริมาตรควบคุม หรือระบบเปิด ดังนี้

$$\dot{Q} - \dot{W} = \sum_e \dot{m} \left(h + \frac{u^2}{2} + gZ \right) - \sum_i \dot{m} \left(h + \frac{u^2}{2} + gZ \right) + \Delta \dot{E} \quad (2.2)$$

- เมื่อ \dot{Q} = อัตราการถ่ายโอนความร้อนผ่านขอบเขตของระบบ [kW]
 \dot{W} = ปริมาณงานต่อหนึ่งหน่วยเวลาที่ให้หรือออกจากระบบ [kW]
 $\Delta \dot{E}$ = การเปลี่ยนแปลงพลังงานภายในปริมาตรควบคุม [kW]
 \dot{m} = มวลของระบบ [kg/s]
 h = เอนทัลปี [kJ/kg]
 u = ความเร็ว [m/s]
 g = แรงโน้มถ่วงของโลก [m/s²]
 Z = ระดับความสูงจากแนวอ้างอิง [m]

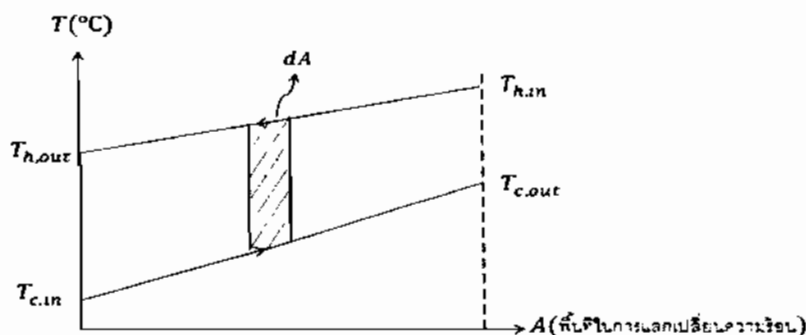
2.2 เครื่องแลกเปลี่ยนความร้อน (Heat exchangers)

เครื่องแลกเปลี่ยนความร้อน คือ อุปกรณ์ที่ใช้สำหรับถ่ายเทความร้อนจากของเหลวชนิดหนึ่งไปยังของเหลวอีกชนิดหนึ่งโดยที่ของเหลวไม่จำเป็นต้องผสมกัน หน้าที่หลักของเครื่องแลกเปลี่ยนความร้อนคือการถ่ายเทความร้อนระหว่างของเหลวสองชนิด

ในการวิเคราะห์อุปกรณ์แลกเปลี่ยนความร้อนสามารถหาได้ 2 วิธี คือ การหาความแตกต่างของอุณหภูมิเฉลี่ยแบบล็อก (Log Mean Temperature Difference : LMTD) และวิธีประสิทธิผล NTU (Effectiveness-NTU)

2.2.1 วิธีการหาความแตกต่างอุณหภูมิเฉลี่ยแบบล็อก (Log Mean Temperature Difference : LMTD)

วิธีการหาความแตกต่างอุณหภูมิเฉลี่ยแบบล็อก (LMTD) เหมาะที่จะใช้เมื่อทราบค่าอุณหภูมิเข้าและออกของของเหลวร้อนและเย็น อัตราการถ่ายเทความร้อนจะแปรค่าตามเส้นการไหลในอุปกรณ์แลกเปลี่ยนความร้อน ทั้งนี้เพราะอัตราการถ่ายเทความร้อนจะแปรค่าตามความแตกต่างของอุณหภูมิของเหลวร้อนและของเหลวเย็น และพื้นที่ผิวในการแลกเปลี่ยนความร้อน ดังภาพประกอบ 2.1



ภาพประกอบ 2.1 การเปลี่ยนแปลงอุณหภูมิในอุปกรณ์แลกเปลี่ยนความร้อนที่ของเหลวในส่วนทางกัน โดยมีสมการการหาอัตราการถ่ายเทความร้อนดังนี้

$$\dot{Q} = UA\Delta T_{LMTD} \quad (2.3)$$

$$\text{โดย } \Delta T_{LMTD} = \frac{(T_{h,in} - T_{c,out}) - (T_{c,in} - T_{h,out})}{\ln(\frac{T_{h,in} - T_{c,out}}{T_{c,in} - T_{h,out}})} \quad (2.4)$$

- เมื่อ \dot{Q} = อัตราการถ่ายเทความร้อน [kW]
 U = สัมประสิทธิ์การถ่ายเทความร้อนรวม [kW/m²°C]
 A = พื้นที่การถ่ายโอนความร้อน [m²]

$$\Delta T_{LMTD} = \text{ความแตกต่างของอุณหภูมิเฉลี่ยในอุปกรณ์แลกเปลี่ยนความร้อน [°C]}$$

2.2.2 วิธีหาประสิทธิผล NTU (Effectiveness-NTU)

ประสิทธิผลของเครื่องแลกเปลี่ยนความร้อนแสดงถึงการวิเคราะห์การถ่ายเทความร้อนด้วยปริมาณความร้อน ในการเปรียบเทียบระหว่างเครื่องแลกเปลี่ยนความร้อนต่าง ๆ ซึ่งส่วนใหญ่มักใช้เป็นเหตุผลในการเลือกเครื่องแลกเปลี่ยนความร้อนที่เหมาะสมที่สุดกับวัตถุประสงค์ของการถ่ายเทความร้อนนั้น จึงสามารถหาค่าประสิทธิผลของเครื่องแลกเปลี่ยนความร้อนได้ดังนี้

$$\epsilon = \frac{Q}{Q_{max}} = \frac{\text{Actual heat transfer ratre}}{\text{Maximum possible heat transfer ratre}} \quad (2.5)$$

เมื่อ ϵ = ประสิทธิผล

Q = อัตราการถ่ายเทความร้อน [kW]

Q_{max} = อัตราการถ่ายเทความร้อนมากที่สุด [kW]

การถ่ายเทความร้อนที่ได้จริงอาจคำนวณได้จากของไหลร้อนหรือของเหลวเย็นโดยใช้กฎการอนุรักษ์พลังงาน ประสิทธิผลของเครื่องแลกเปลี่ยนความร้อนขึ้นอยู่กับรูปทรงเรขาคณิตและทิศทางการไหลของของไหล ค่าประสิทธิผลของเครื่องแลกเปลี่ยนความร้อนส่วนใหญ่จะอยู่ในรูปของตัวแปรรัมิด UA_s/C_{min} เรียกว่า แปรรัมิดว่า number of transfer units NTU สำหรับค่า UA_s/C_{min} จะบอกถึงจำนวนของหน่วยการถ่ายเท ซึ่งบ่งชี้ถึงขนาดของเครื่องแลกเปลี่ยนความร้อนและวิธีหาประสิทธิผล NTU สามารถใช้ได้กับปัญหาที่ต้องการออกแบบในการประยุกต์ใช้งานได้

โดยปกติแล้วค่าประสิทธิผลจะเป็นฟังก์ชันของจำนวนหน่วยถ่ายเท (number of transfer unit) และค่าอัตราส่วนระหว่างผลคูณของอัตราการไหลเชิงมวลกับความจุความร้อนจำเพาะของของไหลทั้งสองกระแส ดังนี้

$$Q = \epsilon C_{min} \Delta T_{max} \quad (2.6)$$

$$\epsilon = \frac{T_{c,out} - T_{c,in}}{T_{h,in} - T_{c,in}} \quad (2.7)$$

$$\epsilon = f\left(\frac{UA}{C_{min}}, \frac{C_{min}}{C_{max}}\right) = f(NTU, c) \quad (2.8)$$

$$\text{โดย } \epsilon = 1 - e^{-NTU} \quad (2.9)$$

$$NTU = \frac{UA_s}{C_{min}} = \frac{UA_s}{(\dot{m}c_p)_{min}} \quad (2.10)$$

$$c = \frac{C_{min}}{C_{max}} \quad (2.11)$$

เมื่อ NTU = Number of transfer unit

U = สัมประสิทธิ์การถ่ายเทความร้อนรวม [$\text{kW}/\text{m}^2\text{°C}$]

A = พื้นที่การถ่ายไออนความร้อน [m^2]

ΔT_{max} = อุณหภูมิแตกต่างสูงสุด [°C]

$T_{c,in}$ = อุณหภูมิของไนลอนเย็นก่อนไนลอนอุปกรณ์แลกเปลี่ยนความร้อน [°C]

$T_{c,out}$ = อุณหภูมิของไนลอนที่ไนลอนอุปกรณ์แลกเปลี่ยนความร้อน [°C]

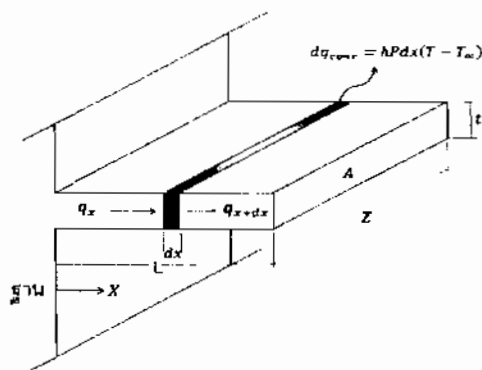
$T_{h,in}$ = อุณหภูมิของไนลอนก่อนไนลอนอุปกรณ์แลกเปลี่ยนความร้อน [°C]

C_{min} = ผลคูณที่น้อยที่สุดของอัตราการไนลอนเชิงมวลกับความร้อนจำเพาะของไนลอน

C_{max} = ผลคูณที่มากที่สุดของอัตราการไนลอนเชิงมวลกับความร้อนจำเพาะของไนลอน

2.3 เครื่องหมายความร้อนและสมบัติสำคัญของระบบ

2.3.1 หลักการของเครื่องหมายความร้อน [วีระชัย อรุณวรรณน , 2547]



ภาพประกอบ 2.2 สมดุลความร้อนของเครื่องหมายความร้อน [วีระชัย อรุณวรรณน , 2547]

พิจารณาจากภาพประกอบ 2.2 เป็นเครื่องหมายความร้อนรูปสี่เหลี่ยมผืนผ้า ยื่นออกมาจากผนังถ้าพิจารณาการนำความร้อนที่สภาวะคงที่หนึ่งมิติ (ในแนวแกน x) ที่ความหนา dx (รูปที่แรงงาน) จะสามารถเขียนสมการสมดุลความร้อน ได้ดังนี้

ความร้อนที่เข้าสู่ระบบ ณ ตำแหน่ง x = ความร้อนที่ออกจากระบบ ณ ตำแหน่ง $(x + \Delta x)$
+ ความร้อนที่สูญเสียโดยการพาความร้อนออกจากระบบ

หรือเขียนเป็นสมการอัตราการเคลื่อนที่ความร้อนได้ดังนี้

$$Q_x = Q_{x+\Delta x} + Q_{conv} \quad (2.12)$$

เนื่องจากว่าอัตราการเคลื่อนที่ความร้อนเข้าสู่ระบบ ณ ตำแหน่ง x เป็นการนำความร้อนดังนั้นสามารถเขียนสมการได้ดังนี้

$$Q_x = -kA \frac{dT}{dx} \Big|_x \quad (2.13)$$

และอัตราการเคลื่อนที่ความร้อนที่ออกจากระบบ ณ ตำแหน่ง $(x + \Delta x)$ เป็นการนำความร้อน เช่นเดียวกันจะเขียนสมการอัตราการนำความร้อนได้ดังนี้

$$Q_{x+\Delta x} = -kA \frac{dT}{dx} \Big|_{x+\Delta x} \quad (2.14)$$

$$= -kA \left(\frac{dT}{dx} + \frac{d^2 T}{dx^2} \Delta x \right) \quad (2.15)$$

ส่วนอัตราการสูญเสียความร้อนออกจากระบบโดยการพาความร้อนออก เขียนสมการได้ดังนี้

$$Q_{convec} = hPdx(T - T_\infty) \quad (2.16)$$

จากสมการที่ (2.12) (2.13) และสมการที่ (2.14) จะสามารถเขียนสมการที่ (2.17) ใหม่ได้ดังนี้

$$\frac{d^2 T}{dx^2} - \frac{hP}{kA} (T - T_\infty) = 0 \quad (2.17)$$

กำหนดให้ $\theta = T - T_\infty$ จะได้

$$\frac{d^2 \theta}{dx^2} - \frac{hP}{kA} \theta = 0 \quad (2.18)$$

จากสมการที่ (2.15) นี้ เราจะทราบเงื่อนไขขอบเขตหนึ่งค่า คือ

$$\theta = \theta_0 = (T_0 - T_\infty) \text{ ณ ตำแหน่ง } x = 0$$

เมื่อ Q_x = ความร้อนที่เข้าสู่ระบบ ณ ตำแหน่ง x [kW]

$Q_{x+\Delta x}$ = ความร้อนที่ออกจากระบบ ณ ตำแหน่ง $(x + \Delta x)$ [kW]

Q_{convec} = ความร้อนที่สูญเสียโดยการพาความร้อนออกจากระบบ [kW]

$\frac{dT}{dx}$ = เกรเดียนท์ของอุณหภูมิในทิศทางการเคลื่อนที่ของความร้อน [$^{\circ}\text{C}/\text{m}$]

k = ค่าสภาพการนำความร้อนของวัสดุ [$\text{kW}/\text{m}^{\circ}\text{C}$]

A = พื้นที่ตั้งฉากกับทิศทางการเคลื่อนที่ของความร้อน [m^2]

h = สัมประสิทธิ์การพาความร้อน [$\text{kW}/\text{m}^2\text{°C}$]

P = เส้นรอบรูปของครีบ

T_∞ = อุณหภูมิของของในหลักิสระที่อยู่ห่างออกไปจากผิววัสดุมาก ๆ [$^{\circ}\text{C}$]

T_0 = อุณหภูมิฐานครีบที่ต่อจากผนัง [$^{\circ}\text{C}$]

θ = ความแตกต่างของอุณหภูมิ [$^{\circ}\text{C}$]

ส่วนอีกเงื่อนไขขอบเขตอีกอันหนึ่งได้มาจากการพิจารณาลักษณะทางกายภาพของครีบระบายความร้อน ดังนี้

กรณีที่ 1 ถ้าครีบระบายความร้อนมีความยาวมาก ๆ ให้ถือว่าอุณหภูมิที่ปลายครีบมีอุณหภูมิเท่ากับอุณหภูมิของสิ่งแวดล้อม

กรณีที่ 2 ถ้าครีบระบายความร้อนมีความยาวจำกัด ให้ถือว่าที่ปลายครีบมีการระบายความร้อนออก

กรณีที่ 3 ถ้าครีบระบายความร้อนที่ปลายครีบมีการหุ้มฉนวน จะได้ $\frac{dT}{dx} \Big|_{x=L} = 0$

กำหนดให้ $m = \sqrt{\frac{hP}{kA}}$ จะได้สมการคำตอบทั่ว ๆ ไป ของสมการที่ (2.16) ดังนี้

$$\theta = C_1 e^{-mx} + C_2 e^{mx} \quad (2.19)$$

กรณีที่ 1 จะได้สมการขอบเขตดังนี้

$$\theta = \theta_0 \text{ เมื่อ } x = 0$$

$$\theta = 0 \text{ เมื่อ } x = L$$

แทนสมการขอบเขตลงในสมการที่ (2.17) จะได้สมการคำตobotของกรณีที่ 1 ดังนี้

$$\frac{\theta}{\theta_0} = \frac{T - T_\infty}{T_0 - T_\infty} = e^{-mx} \quad (2.20)$$

กรณีที่ 3 จะได้สมการขอบเขตดังนี้

$$\theta = \theta_0 \text{ เมื่อ } x = 0$$

$$\frac{d\theta}{dx} = 0 \text{ เมื่อ } x = L$$

แทนสมการขอบเขตลงในสมการที่ (2.16) จะได้

$$\theta_0 = C_1 + C_2$$

$$0 = m(C_1 e^{-mL} + C_2 e^{mL})$$

แก้สมการหาค่า C_1 และ C_2 ดังนั้นจะได้สมการคำตobotกรณีที่ 3 ดังนี้

$$\begin{aligned} \frac{\theta}{\theta_0} &= \frac{e^{-mx}}{1+e^{-2mL}} + \frac{e^{mx}}{1+e^{2mL}} \\ &= \frac{\cosh[m(L-x)]}{\cosh mL} \end{aligned} \quad (2.21)$$

กรณีที่ 2 จะได้สมการขอบเขตดังนี้

$$\frac{T - T_\infty}{T_0 - T_\infty} = \frac{\cosh(L-x) + (h/mk)\sinhm(L-x)}{\cosh mL + (h/mk)\sinhm L} \quad (2.22)$$

ทั้งนี้อัตราการเคลื่อนที่ความร้อนทั้งหมดที่เข้าสู่เครื่องหมายความร้อน จะเท่ากับอัตราการนำความร้อน ณ

ตำแหน่ง $x = 0$

$$Q_{in} = -kA \frac{dT}{dx} \Big|_{x=0} \quad (2.23)$$

ส่วนอัตราการระบายความร้อนออกของครึบโดยการพาความร้อน เขียนสมการ ได้ดังนี้

$$Q_{out} = \int_0^L hP(T - T_0)dx = \int_0^L hP\theta dx \quad (2.24)$$

กรณีที่ 1 จะได้สมการหาอัตราการระบายความร้อนของครึบ ดังนี้

$$Q_{out} = -kx(-m\theta_0 e^{-m(0)}) = \sqrt{hPkA} \theta_0 \quad (2.25)$$

กรณีที่ 3 จะได้สมการหาอัตราการระบายความร้อนของครึบ ดังนี้

$$\begin{aligned} Q_{out} &= -kx\theta_0 m \left(\frac{1}{1+e^{-2mL}} - \frac{1}{1+e^{+2mL}} \right) \\ &= \sqrt{hPkA} \theta_0 \tanh mL \end{aligned} \quad (2.26)$$

กรณีที่ 2 จะได้สมการหาอัตราการระบายความร้อนของครึบ ดังนี้

$$Q_{out} = \sqrt{hPkA} \theta_0 (T_0 - T_\infty) \frac{\sinhm L + (h/mk) \cosh mL}{\cosh mL + (h/mk) \sinhm L} \quad (2.27)$$

เมื่อ	Q_{in}	= อัตราการระบายความร้อนออกของครึ่งระบบความร้อน [kW]
	Q_{out}	= อัตราการระบายความร้อนเข้าของครึ่งระบบความร้อน [kW]
	m	= เส้นรอบวงของครึ่งระบบความร้อน [m]
	L	= ความยาวของครึ่งระบบความร้อน [m]

2.3.2 ประสิทธิภาพของครึ่งระบบความร้อน

ประสิทธิภาพของครึ่ง (η_F) = (อัตราการระบายความร้อนของครึ่งจริง) / (อัตราการระบายความร้อนจากครึ่งที่มีอุณหภูมิผิวของครึ่งทั้งหมดเท่ากับอุณหภูมิฐานของครึ่ง)

หรือเขียนเป็นสมการได้ดังนี้

$$\eta_F = \frac{Q_{out}}{hPL\theta_0} \quad (2.28)$$

ซึ่งจะหาประสิทธิภาพของครึ่งได้ดังนี้

กรณีที่ 1 จะได้

$$\eta_F = \frac{\sqrt{hPkA} \theta_0}{hPL\theta_0} = \frac{1}{mL} \quad (2.29)$$

กรณีที่ 3 จะได้

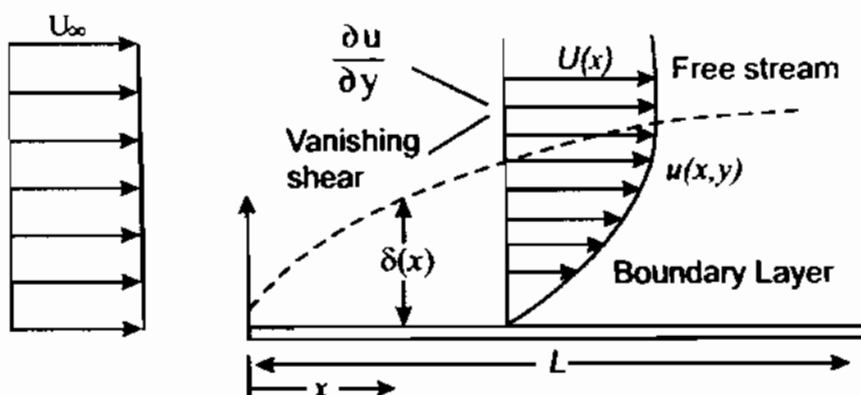
$$\eta_F = \frac{\sqrt{hPkA} \theta_0 \tanh mL}{hPL\theta_0} = \frac{\tanh mL}{mL} \quad (2.30)$$

2.4 สัมประสิทธิ์แรงเสียดทานและสัมประสิทธิ์การถ่ายเทความร้อน

โดยทั่วไปแล้วการหาค่าสัมประสิทธิ์แรงเสียดทานและสัมประสิทธิ์การพาจังศักดิ์จากชั้นขอบเขตของไอลที่เกิดขึ้นบนผิวดังต่อไปนี้ [Frank P. Incropera and David P. Dewitt, 1981][ແປສແລະເຮັດວຽກໂຄຍ ວິຈະວຸฒື ອຽມວຽບອະນະ]

2.4.1 ชั้นขอบเขตของความเร็ว

เพื่อให้มองภาพเกี่ยวกับแนวความคิดของชั้นขอบเขต เรามาพิจารณาการไอลผ่านผิวดูดูกันดังภาพประกอบ 2.3



ภาพประกอบ 2.3 การไอลผ่านผิวดูด [P.P.Holman, 1992]

เมื่อของไหลให้สัมผัสกับพื้นผิว เราสมมุติว่า ณ พื้นผิวสัมผัส ความเร็วอนุภาคของไหลมีค่าเท่ากับศูนย์ ดังนั้นอนุภาคของไหลจะหน่วงเหนี่ยวการเคลื่อนที่ ณ ตำแหน่งซันของไหลที่ติดกับอนุภาค จนกระทั่งถึง ณ ตำแหน่ง $y = \delta$ จากผิวตัด แลຍตำแหน่งนี้ไป ผลเนื่องจากการหน่วงเหนี่ยวจะไม่มีผลอีกด่อไป การหน่วงเหนี่ยวของการเคลื่อนที่อยู่ในช่วง δ มีสาเหตุมาจากแรงเรืองเฉือนที่กระทำในระบบที่บ้านไปกับการไหลของของไหลความเร็วในแนวแกน x จะเพิ่มขึ้นตามระยะแกน y ที่เพิ่มขึ้น จนกระทั่งมีค่าเท่ากับความเร็วอิสระ (u_∞)

เมื่อกำหนด δ คือ ความหนาของชั้น ซึ่งได้ทิ้งไว้ก่อนหน้าให้เท่ากับระยะของแกน y ณ ตำแหน่งที่มีค่า $n = 0.99n_\infty$ ลักษณะของชั้นขอบเขตความเร็วนี้ จะมีลักษณะที่ค่า n มีการเปลี่ยนแปลงไปตามระยะในแกน y ตลอดชั้นขอบเขต ด้วยเหตุนี้การไหลของของไหลจะถูกจำแนกเป็นสองช่วง คือ ช่วงที่อยู่ภายในชั้นขอบเขตที่มีเกรดเดียนท์ความเร็วเฉือน กับช่วงที่อยู่นอกชั้นขอบเขตที่ไม่มีค่าเกรดเดียนท์ความเร็วและแรงเรืองเฉือนเหลืออยู่ เหลย การเพิ่มระยะทางจากขอบเขตของแผ่น x จะมีผลทำให้ชั้นขอบเขตเติบโตขึ้นเนื่องจากความหนาด ชั้นขอบเขตนี้ เรียกว่า “ชั้นขอบเขตความเร็ว” ซึ่งจะเกิดขึ้นเมื่อของไหลผ่านพื้นผิว และชั้นขอบเขตนี้เป็นพื้นฐานสำคัญ สำหรับปัญหาการพานิช ซึ่งจะมีความสัมพันธ์กับค่าแรงเรืองเฉือนที่ผิว (τ_s) และผลของแรงเสียดทานผิว สำหรับการไหลภายนอกสมการสำหรับค่านวนหมาสัมประสิทธิ์แรงเสียดทานที่ผิวเฉพาะที่ (C_f) หาได้ดังนี้

$$(C_f) = \frac{\tau_s}{\rho u_\infty^2 / 2} \quad (2.31)$$

ค่านี้เป็นตัวแปรที่เร้น่วยที่สำคัญ สมมุติให้ของไหลเป็น Newtonian fluid แรงเรืองเฉือนที่ผิวสามารถหาได้จากเกรดเดียนท์ความเร็ว ณ ตำแหน่งผิวตัด

$$\tau_s = \mu \frac{\partial u}{\partial y} \Big|_{y=0} \quad (2.32)$$

เมื่อ	μ	= ค่า dynamic viscosity
	C_f	= สัมประสิทธิ์แรงเสียดทาน
	τ_s	= แรงเรืองเฉือนที่ผิว
	ρ	= ความหนาแน่น [kg/m^3]
	u_∞	= ความเร็วของของไหลอิสระ [m/s]
	μ	= ความหนืดพลวตของของไหล [Ns/m^2]

2.4.2 ชั้นขอบเขตความร้อน

ลักษณะการเกิดขึ้นคล้าย ๆ กับการเกิดของชั้นขอบเขตความเร็ว ซึ่งชั้นขอบเขตความร้อนเกิดขึ้นเมื่ออุณหภูมิของไอลอิสระมีค่าไม่เท่ากับอุณหภูมิของผิววัตถุ



ภาพประกอบ 2.4 การเกิดชั้นขอบเขตความร้อน [P.P.Holman, 1992]

ที่ดำเนินการอย่างแผ่นโปรดไฟล์ของอุณหภูมิลักษณะสม่ำเสมอ $T(y) = T_\infty$ เมื่อบนภาคของไอลเข้ามาสัมผัสกับผิววัตถุทำให้เกิดสมดุลความร้อนขึ้นที่อุณหภูมิผิววัตถุ อนุภาคของไอลจะแลกเปลี่ยนพลังงานในชั้นของไอลที่ติดกัน (adjoining fluid layer) ทำให้เกิดเกรเดียนท์อุณหภูมิขึ้น เราเรียกบริเวณของไอลที่มีเกรเดียนท์อุณหภูมิเกิดขึ้นว่า “ชั้นขอบเขตความร้อน” และความหนาของชั้นขอบเขต δ_t ณ ตำแหน่ง y ที่มีค่า $[(T_s - T)/(T_s - T_\infty)] = 0.99$ ดังนั้นการเพิ่มระดับจากขอบเขตของแผ่นจะไปทำให้บริเวณของกระเสื่อมอยู่ตำแหน่ง y มากขึ้น ทำให้ชั้นขอบเขตความร้อนเติบโตขึ้น ความสัมพันธ์ระหว่างชั้นขอบเขตนี้ และสัมประสิทธิ์การพาความร้อนสามารถอธิบายได้โดยการพิจารณารายละเอียด x ใด ๆ จากขอบของแผ่นความร้อนค่าของฟลักซ์ความร้อนเฉพาะที่ สามารถใช้สมการตามกฎของฟูเรียร์ต่อของไอลได้ ณ ตำแหน่ง $y = 0$

$$q''_s = -k_f \frac{\partial T}{\partial y} \Big|_{y=0} \quad (2.33)$$

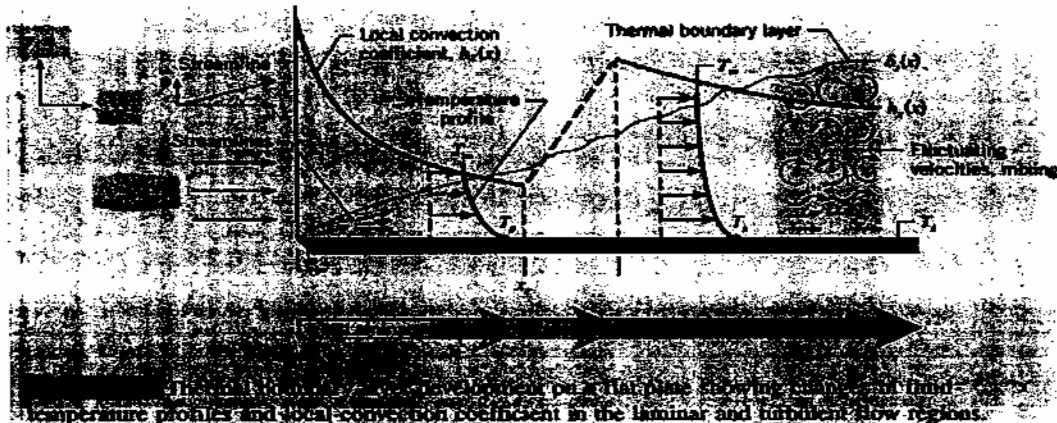
สมมุติฐานนี้สมเหตุสมผลเนื่องจากตำแหน่ง $y = 0$ ไม่มีของไอลเคลื่อนที่ และการถ่ายเทพลังงานเกิดขึ้นเนื่องจากการนำเท่านั้น ดังสมการที่ (2.36) จะทำให้กับสมการกฎการเย็บตัวของนิวตัน ทำให้สามารถหาค่าสัมประสิทธิ์การพาความร้อนเฉพาะที่ได้ดังนี้

$$h = \frac{-k_f \partial T / \partial y \Big|_{y=0}}{T_s - T_\infty} \quad (2.34)$$

จะเห็นได้ว่า ชั้นขอบเขตความร้อนมีอิทธิพลมาจากการเดียนท์อุณหภูมิ ณ ตำแหน่ง $y = 0$ เนื่องจากค่า $T_s - T_\infty$ มีค่าคงที่ไม่ขึ้นกับค่า x ขณะที่ค่า δ_t เพิ่มขึ้นเมื่อเพิ่มค่า x จึงทำให้ขนาดของ $\frac{\partial T}{\partial y} \Big|_{y=0}$ มีค่าลดลงเมื่อค่า x เพิ่มขึ้น ทำให้ค่า q''_s และค่า h มีค่าลดลง

2.4.3 การไหลแบบลมมินาร์และการไหลแบบเทอร์บูลenze

ขั้นตอนแรกในการแก้ปัญหาเกี่ยวกับการพา คือการตรวจสอบว่าการไหลนั้นอยู่ในช่วงลมมินาร์หรือ เทอร์บูลenze ซึ่งค่าของแรงเสียดทานที่ผิวและอัตราการพาเข้าอยู่กับเงื่อนไขที่เกิดขึ้นนี้



ภาพประกอบ 2.5 การไหลแบบลมมินาร์และเทอร์บูลenze [D.P.Holman, 1992]

พิจารณาจากรูป ความแตกต่างระหว่างการไหลแบบลมมินาร์และเทอร์บูลenze hereinได้ค่อนข้างชัดเจน ในช่วงขอบเขตการไหลแบบลมมินาร์ ระดับการเคลื่อนที่ของไหลจะมีค่าสูง และสามารถแสดงเส้นการไหล (stream line) ไปตามอนุภาคการไหลได้ ในการเคลื่อนที่ไปในแต่ละเส้นการไหลจะถูกกำหนดด้วย ส่วนประกอบความเร็วทั้งในแนวแกน x และแกน y เนื่องจากส่วนประกอบของความเร็วแกน y อยู่ในทิศทาง ที่ตั้งฉากกับผิว (normal motion) ดังนั้นส่วนประกอบความเร็วนี้มีความสำคัญต่อการถ่ายเทโมเมนตัม พลังงาน หรือ species ตลอดชั้นขอบเขต ส่งผลให้เกิดการเติบโตในทิศทางแนวแกน x

ในทางตรงกันข้าม การเคลื่อนที่ของไหลในช่วงเทอร์บูลenze จะมีลักษณะไม่ลisciue เสมอ เกิดความผันผวนของความเร็ว ซึ่งความผันผวนนี้จะเกิดการถ่ายเทโมเมนตัม พลังงาน หรือ species ดังนั้นแรงเสียดทานที่ ผิวจะมีค่ามากขึ้น เนื่องเดียวกับอัตราการพาจะมีค่าเพิ่มขึ้นตามไปด้วย การผสานกันของของไหลที่มีผลมาจากการ ความผันผวนยังทำให้ชั้นขอบเขตมีความหนาแน่นกว่าลมมินาร์ และโปรไฟล์ชั้นขอบเขตความเร็ว อุณหภูมิ และความเข้มข้นมีลักษณะเรียบกว่าลมมินาร์

พิจารณาจากรูป ขั้นขอบเขตเริ่มเป็นลมมินาร์เมื่อชั้นขอบเขตความเร็วเริ่มเกิดขึ้น จนกระทั่งถึง ณ ตำแหน่งหนึ่งที่มีการรบกวนไม่มาก การเปลี่ยนผ่านจะเปลี่ยนไปเป็นช่วงการไหลเทอร์บูลenze โดยการรบกวนนี้ เริ่มเกิดในช่วงการเปลี่ยนผ่าน และกล้ายไปเป็นช่วงเทอร์บูลenze ในที่สุด การเปลี่ยนผ่านจากการเปลี่ยน ผ่านไปยังช่วงเทอร์บูลenze เป็นส่วนที่สำคัญในการเพิ่มความหนาของชั้นขอบเขต แรงเฉือนที่ผนัง และ สัมประสิทธิ์การพา ดังแสดงในรูป สำหรับชั้นขอบเขตความเร็วที่มีความหนา δ และมีสัมประสิทธิ์การพาความ ร้อน h ในชั้นขอบเขตเทอร์บูลenze จะจำแนกออกเป็น 3 ส่วน คือ ชั้นขอบเขตย่อยลมมินาร์ ซึ่งเกิดขึ้นเนื่องจาก การแพร่ และโปรไฟล์ความเร็วมีลักษณะเป็นเส้นตรง ชั้น buffer ที่ทำให้เกิดโดยการแพร่และการผสานแบบผันผวน ขนาดเท่า ๆ กัน และบริเวณเทอร์บูลenze ที่มีผลจากการผสานแบบผันผวนอย่างเดียว

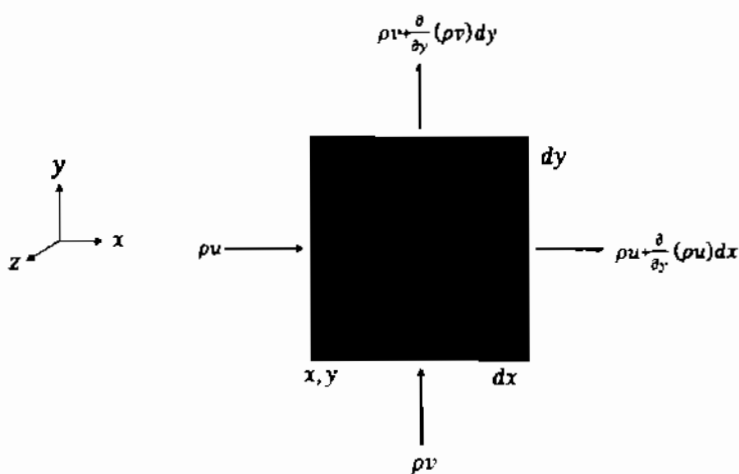
ในการคำนวณหาพฤติกรรมของขั้นขอบเขต จะต้องกำหนดตำแหน่งการเปลี่ยนผ่านจาก laminar เป็นปัจจุบัน การเปลี่ยนผ่านคือ x_c ณ ตำแหน่งใด ๆ ในแนวแกน x จะถูกกำหนดด้วยตัวแปรไว้หน่วยเรียกว่า “ตัวเลข雷诺数” เทียนสมการได้ดังนี้

$$Re_x = \frac{\rho u_{\infty} x}{\mu} \quad (2.35)$$

ถ้าค่า x เท่ากับค่า x_c ตัวเลข雷โนลจะเรียกว่า “ตัวเลข雷โนลวิกฤติ” โดยทั่วไปค่านี้จะมีค่าประมาณ 5×10^5

2.4.4 สมการสำหรับการพา

2.4.4.1 ในขั้นขอบเขตของความเร็ว



ภาพประกอบ 2.6 ขั้นขอบเขตของความเร็ว [รีวุช อุณหาระนະ]

เราจะใช้กฎการอนุรักษ์พลังงานที่กล่าวว่า วัตถุใด ๆ ไม่สามารถสร้างขึ้นมาใหม่หรือทำลายได้ มาวิเคราะห์ในขั้นขอบเขตพิจารณาการไหลคงที่ในปริมาตรควบคุมแบบ *infinitesimal* จะได้

$$\text{มวลที่ไหลเข้า} - \text{มวลที่หลอออก} = 0$$

เป็นการถ่ายเทเนื่องจากการเคลื่อนที่ของของไหลเรียกว่า “advection” กำหนดให้บุมหนึ่งของปริมาตรควบคุมอยู่ที่ตำแหน่ง (x, y) อัตราการไหลเข้าข้ามปริมาตรควบคุมในแกน x แสดงได้ดังนี้

$$(\rho n)dy \quad (2.36)$$

เมื่อ ρ คือ ความหนาแน่นรวม ($\rho_A + \rho_B$) และ n คือส่วนประกอบความเร็วในแนวแกน x ของความเร็วมวลเฉลี่ย

จากการอนุรักษ์มวลเราจะได้

$$\frac{\partial(\rho n)}{\partial x} + \frac{\partial(\rho v)}{\partial y} = 0 \quad (2.37)$$

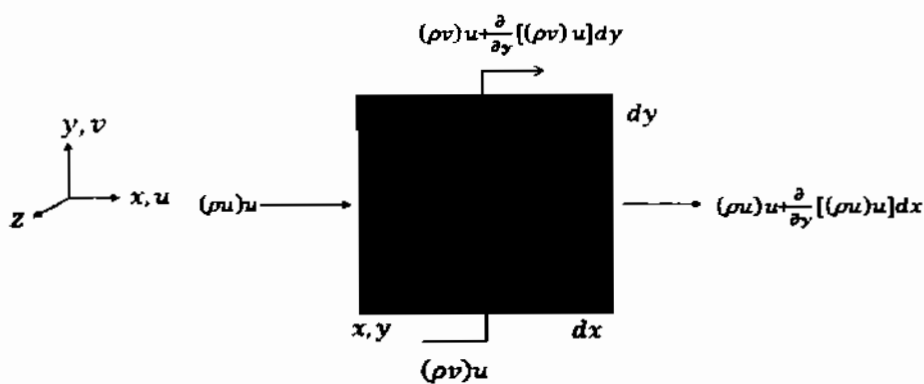
สมการที่ (2.37) คือสมการความต่อเนื่อง (Continuity equation) เป็นกฎการอนุรักษ์มวลของของเหลว และสามารถนำมาใช้ได้สำหรับทุกจุดในชั้นของเขตความเร็ว นอกจากนี้เราสามารถใช้กฎข้อที่สองของนิวตันมาวิเคราะห์สำหรับการอนุรักษ์โมเมนตัมในชั้นของเขตความเร็ว ซึ่งกล่าวไว้ว่า งานทั้งหมดที่กระทำต่อปริมาตรควบคุมจะเท่ากับโมเมนตัมสุทธิ (*outflow - inflow*) โดยจะมีแรงสองชนิดที่อาจกระทำต่อชั้นของเขต คือ *Body forces* ที่กระทำต่อปริมาตร และ *Surface forces* ที่กระทำต่อพื้นที่ *Body forces* อาจมาจากการแรงโน้มถ่วงของโลก แรงเหวี่ยง แรงจากสนามแม่เหล็ก แรงจากสนามไฟฟ้า เป็นต้น เรากำหนดให้ผลรวมของ *Body forces* ต่อหน่วยน้ำยาปริมาตร ในส่วนประกอบแกน *x* คือ F_x ในส่วนประกอบแกน *y* คือ F_y ส่วน *Surface forces* (F_s) เกิดมาจากความดันสถิต และ *Viscous stresses* ณ จุดใด ๆ ในชั้นของเขต *Viscous stresses* ประกอบด้วย *Normal stresses* (σ_{ii}) และ *Shear stresses* (τ_{ij}) ด้วยท้อยแยกแสดงถึงการวางแผนผิวในตำแหน่งที่ตั้งฉากในแกนนั้น ๆ ด้วยท้อยที่สองหมายถึงทิศทางของแรง เช่น (σ_{xx}) หมายถึงหมายถึง แรงที่ทำในแนวแกน *x* ต่อพื้นที่ผิวที่ตั้งฉากกับแกน *x* ซึ่งก็คือ *Normal stress* ส่วน (τ_{xy}) หมายถึงแรงเฉือน (*Shear stress*) ที่กระทำในแนวแกน *y* ต่อพื้นที่ตั้งฉากกับแกน *x* โดยทั่วไป *Normal Viscous stresses* เป็น *Tensile stress* ส่วนความดันสถิต (*Static pressure*) เกิดจากแรงภายนอกที่มากระทำที่ผิวของเหลว ดังนั้นความดันสถิตเป็น *Compressive stress* เราสามารถหาแรงสุทธิกระทำต่อผิวได้ดังนี้

แรงสุทธิที่กระทำต่อผิวในทิศทางแกน *x*

$$F_{s,x} = \left(\frac{\partial \sigma_{xx}}{\partial x} - \frac{\partial P}{\partial x} + \frac{\partial \tau_{yx}}{\partial y} \right) dx dy \quad (2.38)$$

แรงสุทธิที่กระทำต่อผิวในทิศทางแกน *y*

$$F_{s,y} = \left(\frac{\partial \sigma_{yy}}{\partial y} - \frac{\partial P}{\partial y} + \frac{\partial \tau_{xy}}{\partial x} \right) dx dy \quad (2.39)$$



ภาพประกอบ 2.7 พลังมวลที่ให้ผลลัพธ์ผิว (เวราสี อุณหาระบบ)

พิจารณาภาพประกอบ 2.7 พลังมวลที่ให้ผลลัพธ์ผิว *x* (*y-z plan*) คือ ρu ส่วนพลังมวลที่ให้ผลลัพธ์ผิว *y* (*x-z plan*) คือ ρv ดังนั้นเราสามารถหาโมเมนตัมในแต่ละแกนได้ดังนี้

โมเมนตัมสุทธิในทางแกน x เท่ากับ

$$\left[\frac{\partial(\rho u)u}{\partial x} dx \right] dy + \left[\frac{\partial(\rho v)v}{\partial y} dy \right] dx \quad (2.40)$$

โมเมนตัมสุทธิในทางแกน y เท่ากับ

$$\left[\frac{\partial(\rho v)v}{\partial y} dy \right] dx + \left[\frac{\partial(\rho u)u}{\partial x} dx \right] dy \quad (2.41)$$

จากอัตราการเปลี่ยนแปลงโมเมนตัมจะเท่ากับผลรวมของแรงที่เกิดขึ้น

$$\left[\frac{\partial(\rho u)u}{\partial x} \right] + \left[\frac{\partial(\rho v)v}{\partial y} \right] = \left(\frac{\partial \sigma_{xx}}{\partial x} - \frac{\partial P}{\partial x} + \frac{\partial \tau_{yx}}{\partial y} \right) + X \quad (2.42)$$

แทนสมการด้านในของลงในสมการที่ (2.42) จะได้

$$\rho \left(u \frac{\partial u}{\partial x} + v \frac{\partial u}{\partial y} \right) = \frac{\partial}{\partial x} (\sigma_{xx} - P) + \frac{\partial \tau_{yx}}{\partial y} + X \quad (2.43)$$

เช่นเดียวกันเมื่อพิจารณาในแนวแกน y จะได้

$$\rho \left(u \frac{\partial v}{\partial x} + v \frac{\partial v}{\partial y} \right) = \frac{\partial}{\partial y} (\sigma_{yy} - P) + \frac{\partial \tau_{xy}}{\partial x} + Y \quad (2.44)$$

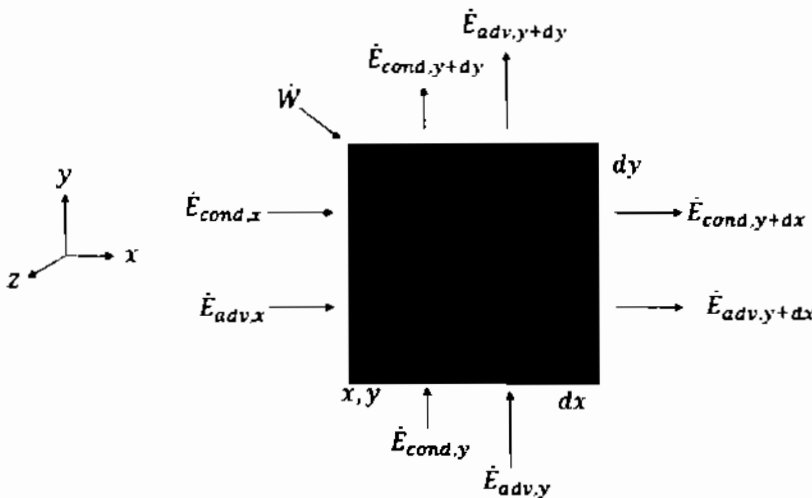
จาก Normal stress และ Shear stress จะส่งผลต่อการเปลี่ยนรูปของเหลว และเป็นพังก์ชันของความหนืดของของเหลวและเกรเดียนท์ความเร็ว โดย Normal stress จะทำให้ของเหลวมีการเปลี่ยนรูปแบบเชิงเส้น (Linear defarmation) ในขณะที่ Shear stress จะทำให้ของเหลวมีการเปลี่ยนรูปเชิงมุม (Angular deformation) สำหรับ Newtonian fluids ค่า Stresses นี้เป็นสัดส่วนต่อเกรเดียนท์ความเร็วที่สัมประสิทธิ์ความหนืดคงที่ เอียนสมการได้ดังนี้

$$\sigma_{xx} = 2\mu \frac{\partial u}{\partial x} - \frac{2}{3}\mu \left(\frac{\partial u}{\partial x} + \frac{\partial v}{\partial y} \right) \quad (2.45)$$

$$\sigma_{yy} = 2\mu \frac{\partial v}{\partial y} - \frac{2}{3}\mu \left(\frac{\partial u}{\partial x} + \frac{\partial v}{\partial y} \right) \quad (2.46)$$

$$\tau_{xy} = \tau_{yx} = \mu \left(\frac{\partial u}{\partial y} + \frac{\partial v}{\partial x} \right) \quad (2.47)$$

2.4.4.2 ในชั้นขอบเขตของความร้อน



ภาพประกอบ 2.8 ชั้นขอบเขตความร้อน [เรกูมิ อุณหาระนน]

พิจารณาปริมาตรควบคุมเล็ก ๆ ในชั้นขอบเขตความร้อน เราสามารถใช้กฎการอนุรักษ์พลังงานมาวิเคราะห์ได้ ซึ่งพลังงานที่เกิดขึ้นในปริมาตรควบคุมประกอบด้วย

1. พลังงานที่เกิดจากการเคลื่อนที่ของ *Bulk fluid (Advection)* ซึ่งประกอบด้วยพลังงานภายใน (*e*) และพลังงานจลน์ ($V^2/2$) ดังนั้นเราสามารถหาอัตราพลังงานสุทธิที่เกิดจากการเคลื่อนที่ของ *Bulk fluid* ในทิศทางแกน x ได้ดังนี้

$$\begin{aligned} \dot{E}_{adv,x} - \dot{E}_{adv,x+dx} &= \rho u \left(e + \frac{V^2}{2} \right) dy - \left\{ \rho u \left(e + \frac{V^2}{2} \right) + \frac{\partial}{\partial x} \left[\rho u \left(e + \frac{V^2}{2} \right) dx \right] \right\} dy \\ &= - \frac{\partial}{\partial x} \left[\rho u \left(e + \frac{V^2}{2} \right) \right] dxdy \end{aligned} \quad (2.48)$$

2. พลังงานถ่ายเทเข้ามายอดเขตปริมาตรควบคุมโดยใช้กระบวนการของโมเลกุลเนื่องจากการนำและ การแพร่ของ *species* อย่างไรก็ตามในกระบวนการทางปฏิริยาเคมีเท่านั้นที่กระบวนการแพร่ถึงมีผลต่อ ภาวะความร้อนในชั้นขอบเขต ดังนั้นในการนิทิย์ที่มีปฏิริยาเคมีเกิดขึ้น เราจะคิดเฉพาะพลังงานที่เกิดจากการนำเท่านั้น โดยสามารถหาพลังงานสุทธิเนื่องจากการนำในทิศทางแกน x ได้ดังนี้

$$\begin{aligned} \dot{E}_{adv,x} - \dot{E}_{adv,x+dx} &= - \left(k \frac{\partial T}{\partial x} \right) dy - k \frac{\partial T}{\partial x} - \frac{\partial T}{\partial x} \left(k \frac{\partial T}{\partial x} \right) dydy \\ &= \frac{\partial}{\partial x} \left(k \frac{\partial T}{\partial x} \right) dxdy \end{aligned} \quad (2.49)$$

3. พลังงานที่ถ่ายเทเข้าออกจากการทำให้ในปริมาตรควบคุมโดยงานที่เกิดจากการกระทำของ *Body forces* และ *Surface force* ดังนั้นอัตราของงานสุทธิที่กระทำการของให้ในทิศทางแกน x

$$\text{แสดงได้ดังนี้} \quad \dot{W}_{net,x} = (Xu)dx dy + \frac{\partial}{\partial x}[(\sigma_{xx} - P)u]dx dy + \frac{\partial}{\partial y}(\tau_{yx}u)dx dy \quad (2.50)$$

เทอมแรกด้านขวามือของสมการแสดงถึงงานที่เกิดจาก *Body forces* และเทอมต่อไปแสดงถึงงานสูญเสียที่เกิดจากความดันและ *Viscous forces*

เข่นเดียวกันสำหรับในแนวแกน y พลังงานสูญเสียมีรีหแบบเดียวกันในแนวแกน x เมื่อพิจารณาทั้งสองแกน (สองมิติ) เราจะให้พลังงานสูญเสียดังนี้

$$\begin{aligned} & -\frac{\partial}{\partial x}\left[\rho u\left(e + \frac{V^2}{2}\right)\right] - \frac{\partial}{\partial y}\left[\rho v\left(e + \frac{V^2}{2}\right)\right] + \frac{\partial}{\partial x}\left(k \frac{\partial T}{\partial x}\right) + \frac{\partial}{\partial y}\left(k \frac{\partial T}{\partial y}\right) + (Xu + Yv) - \frac{\partial(\rho u)}{\partial x} \\ & - \frac{\partial(\rho v)}{\partial y} + \frac{\partial}{\partial x}(\sigma_{xx}u + \tau_{yx}v) + \frac{\partial}{\partial y}(\sigma_{yy}v + \tau_{xy}u) + \dot{q} = 0 \end{aligned} \quad (2.51)$$

เมื่อ \dot{q} คือ อัตราพลังงานที่จ่ายต่อปริมาตรคงคุณ

เนื่องจากว่าสมการที่ (2.45) เป็นสมการถึงการอนุรักษ์พลังงานจนน้ำและพลังงานความร้อนภายใน ซึ่งเป็นการยกที่จะแก้ปัญหาการถ่ายเทความร้อน ดังนั้นสมการจะถูกเปลี่ยนให้เป็นสมการพลังงานความร้อนโดยการคูณ n ในสมการที่ (2.43) และคูณ n ในสมการที่ (2.44) จะได้

$$\rho u \left(u \frac{\partial u}{\partial x} + v \frac{\partial u}{\partial y} \right) = u \frac{\partial}{\partial x}(\sigma_{xx} - P) + u \frac{\partial \tau_{yx}}{\partial y} + Xu \quad (2.52)$$

$$\rho \left(u \frac{\partial v}{\partial x} + v \frac{\partial v}{\partial y} \right) = \frac{\partial}{\partial y}(\sigma_{xx} - P) + \frac{\partial \tau_{xy}}{\partial x} + Y \quad (2.53)$$

แล้วแทนค่า ในสมการที่ (2.52) และ (2.53) ลงในสมการที่ (2.51) และไม่คิดผลเนื่องจาก *Body forces* ดังนั้น เราจะได้

$$\rho u \frac{\partial e}{\partial x} + \rho v \frac{\partial e}{\partial y} = \frac{\partial}{\partial x}\left(k \frac{\partial T}{\partial x}\right) + \frac{\partial}{\partial y}\left(k \frac{\partial T}{\partial y}\right) - P \left(\frac{\partial u}{\partial x} + \frac{\partial v}{\partial y} \right) + \mu \Phi + \dot{q} \quad (2.54)$$

เมื่อเทอม $P \left(\frac{\partial u}{\partial x} + \frac{\partial v}{\partial y} \right)$ แสดงถึงการเปลี่ยนแปลงรูปที่ผันกลับได้ระหว่างพลังงานจนน้ำและพลังงานความร้อน และ $\mu \Phi$ คือ *viscous dissipation*

เมื่อจาก $de = c_p dT = c_p dT$ ทำให้สมการกลามาเป็น

$$\rho c_p \left(u \frac{\partial T}{\partial x} + v \frac{\partial T}{\partial y} \right) = \frac{\partial}{\partial x}\left(k \frac{\partial T}{\partial x}\right) + \frac{\partial}{\partial y}\left(k \frac{\partial T}{\partial y}\right) + \mu \Phi + \dot{q} \quad (2.55)$$

2.4.5 เงื่อนไขเฉพาะและการประมาณ

สมการที่ได้กล่าวมาข้างต้น เป็นสมการที่ค่อนข้างสมบูรณ์ที่อธิบายกระบวนการทางกายภาพที่เกิดขึ้นในสภาวะการไหสคงที่ในสองมิติในชั้นขอบเขตความเร็ว และชั้นขอบเขตความร้อน อย่างไรก็ตามเราสามารถพิจารณาทุกเหตุในสมการได้เนื่องจากมีความยุ่งยากซับซ้อนในการหาค่าตอบ เพื่อให้ง่ายต่อการหาค่าตอบ

เรา假定ให้ในชั้นของเขตเป็นของเหลวแบบอัดตัวไม่ได้ (ความหนาแน่นคงที่) ทำให้สมบัติอื่น ๆ คงที่ เช่น ค่าการนำความร้อน *dynamic viscosity* เป็นต้น ในชั้นของเขตไม่มี *Body forces* มากระทำ ($X=Y=0$) ไม่มีปฏิกิริยาเคมีเกิดขึ้น ($\dot{g}_A = 0$) และปราศจากการจ่ายพลังงานให้กับชั้นของเขต ($\dot{q} = 0$)

นอกจากนี้เราพิจารณาว่าชั้นของเขตบางมาก ๆ ดังนั้นเราสามารถประมาณได้ว่า

$$n \gg n$$

$$\frac{\partial u}{\partial y} \gg \frac{\partial u}{\partial x}, \frac{\partial v}{\partial y}, \frac{\partial w}{\partial x} \quad : \text{ชั้นของเขตความเร็ว}$$

$$\frac{\partial T}{\partial y} \gg \frac{\partial T}{\partial x} \quad : \text{ชั้นของเขตความร้อน}$$

องค์ประกอบความเร็วในทิศตามผิวจะมีค่ามากกว่าองค์ประกอบความเร็วในทิศทางตั้งฉากกับผิว เกรเดียนท์ตามทิศทางตั้งฉากกับผิวจะมีค่ามากกว่าเกรเดียนท์ตามทิศทางผิว ดังนั้น *Normal stresses* จะไม่นำมาพิจารณา ดังนั้นสมการของ *Shear stresses* จะกล้ายมาเป็น

$$\tau_{xy} = \tau_{yx} = \mu \frac{\partial u}{\partial y} \quad (2.56)$$

นอกจากนี้การนำและการแพร่ของ *Species* ในแนวแกน y มีค่ามากกว่าในแนวแกน x มาก ดังนั้นจะได้สมการความต่อเนื่อง คือ

$$\frac{\partial u}{\partial x} + \frac{\partial v}{\partial y} = 0 \quad (2.57)$$

สมการอนุรักษ์โมเมนตัมในแนวแกน x คือ

$$u \frac{\partial u}{\partial x} + v \frac{\partial u}{\partial y} = - \frac{1}{\rho} \frac{\partial P}{\partial x} + \vartheta \frac{\partial^2 u}{\partial y^2} \quad (2.58)$$

สมการอนุรักษ์โมเมนตัมในแนวแกน y คือ

$$\frac{\partial P}{\partial y} = 0 \quad (2.59)$$

จากผลการที่ (2.59) จะพบว่า ความดันไม่ได้เปลี่ยนแปลงในทิศที่ตั้งฉากกับพื้นผิว ดังนั้นความดันในชั้นของเขตขึ้นอยู่กับแกน x เท่านั้น รูปของ $P(x)$ จะขึ้นอยู่กับรูปร่างผิว ดังนั้นจะพิจารณาแยกจากสภาวะการไหลในกระแสอิสระ

$$\frac{\partial P}{\partial x} = \frac{\partial P}{\partial x} = \text{เกรเดียนท์ความดัน} \quad (2.60)$$

เช่นเดียวกันกับสมการอนุรักษ์โมเมนตัม จากสมมุติฐานที่ได้กล่าวมาข้างต้นสมการอนุรักษ์พลังงานในสมการที่ (2.54) จะกล้ายมาเป็น

$$u \frac{\partial \tau}{\partial x} + v \frac{\partial \tau}{\partial y} = \alpha \frac{\partial^2 \tau}{\partial y^2} + \frac{\vartheta}{c_p} \left(\frac{\partial u}{\partial y} \right)^2 \quad (2.61)$$

2.4.6 ความคล้ายกันของชั้นขอบเขต (Boundary layer similarity)

2.4.6.1 ตัวแปรความคล้ายของชั้นขอบเขต (Boundary layer similarity parameters)

สมการของชั้นขอบเขตสามารถทำให้เป็น *Nomolized* ได้โดยระบุตัวแปรอิสระไว้หน่วย ดังนี้

$$x^* \equiv \frac{x}{L} \text{ และ } y^* \equiv \frac{y}{L} \quad (2.62)$$

เมื่อ L คือ ความยาวของผิวที่พิจารณา

นอกจากนี้ เรายังสามารถระบุตัวแปรไว้หน่วยได้ดังนี้

$$u^* \equiv \frac{u}{V_L} \text{ และ } v^* \equiv \frac{v}{V_L} \quad (2.63)$$

$$\text{สมการความเร็ว : } u^* \frac{\partial u^*}{\partial x^*} + v^* \frac{\partial u^*}{\partial y^*} = - \frac{\partial p^*}{\partial x^*} + \frac{\theta}{V_L} \frac{\partial^2 u^*}{\partial y^{*2}} \quad (2.64)$$

$$\text{สมการความร้อน : } u^* \frac{\partial T^*}{\partial x^*} + v^* \frac{\partial T^*}{\partial y^*} = \frac{\alpha}{V_L} \frac{\partial^2 T^*}{\partial y^{*2}} \quad (2.65)$$

สมการความเร็วและสมการความร้อน สามารถหากร่วมตัวแปรไว้หน่วยได้โดยนิยามดังนี้

$$\text{ตัวเลขเรย์โนล : } Re_L = \frac{VL}{\theta} \quad (2.66)$$

จากสมการที่ (2.47) เราสังเกตได้ว่า $\frac{\alpha}{VL}$ เป็นกลุ่มตัวแปรที่เรียกว่า *เจี้ยวน้ำ* ให้อยู่ในรูป

$$\left(\frac{\theta}{VL}\right) \left(\frac{\alpha}{\theta}\right) = (Re_L)^{-1} \left(\frac{\alpha}{\theta}\right) \quad (2.67)$$

2.4.6.2 รูปแบบคำตอบของสมการ

จากสมการที่ (2.46) รูปแบบคำตอบของสมการสามารถเขียนให้อยู่ในรูปของฟังก์ชันได้ดังนี้

$$u^* = f_1(x^*, y^*, Re_L, \frac{\partial p^*}{\partial x}) \quad (2.68)$$

พิจารณาจากสมการของแรงเนื่อง ณ ตำแหน่งผิว ($y^* = 0$) จะรูปแบบเขียนใหม่ได้ดังนี้

$$\tau_s = \mu \frac{\partial u}{\partial y} \Big|_{y=0} = \left(\frac{\mu V}{L}\right) \frac{\partial u^*}{\partial y^*} \Big|_{y^*=0} \quad (2.69)$$

ดังนั้นสมการของสัมประสิทธิ์แรงเสียดทานที่ผิว ($y^* = 0$) สามารถเขียนใหม่ได้ดังนี้

$$C_f = \frac{\tau_s}{\rho V^2 / 2} = \frac{2}{Re_L} \frac{\partial u^*}{\partial y^*} \Big|_{y^*=0} \quad (2.70)$$

ซึ่งเราพบว่า

$$\frac{\partial u^*}{\partial y^*} \Big|_{y^*=0} = f_2(x^*, Re_L, \frac{\partial p^*}{\partial x^*}) \quad (2.71)$$

สมประสิทธิ์แรงเสียดทานสามารถแสดงให้อ่ายในรูปฟังก์ชันได้ดังนี้

$$C_f = \frac{2}{Re_L} f_2(x^*, Re_L) \quad (2.72)$$

จากสมการนี้แสดงให้เห็นถึงค่าสัมประสิทธิ์แรงเสียดทานซึ่งเป็นตัวแปรไว้หน่วยที่มีความสำคัญในทางวิศวกรรมศาสตร์ โดยอาจแสดงให้อ่ายในรูปด้วยแบบปรับไว้หน่วยของ Space coordinate และ Re ดังนั้นเราคาดหวังว่าค่าของ C_f ขึ้นอยู่กับค่า x^* และ Re_L

เข่นเดียวกับผลลัพธ์ของค่าสัมประสิทธิ์การพาเนื้องจากความร้อนและมวล มีวิธีการหาคล้าย ๆ กันกับการหาค่าสัมประสิทธิ์แรงเสียดทาน พิจารณาจากสมการที่ (2.35) สมการความร้อนอาจเขียนอ่ายในรูป

$$T^* = f_3(x^*, y^*, Re_L, Pr, \frac{\partial p^*}{\partial x^*}) \quad (2.73)$$

เมื่อ $\frac{\partial p^*}{\partial x^*}$ มาจากผลของการเคลื่อนที่ของของไหล (u^* และ v^*) ในชั้นขอบเขตความร้อน หรือผลมาจากการปร่างของผิวปริมาตรควบคุม

จากสมการสัมประสิทธิ์การพาความร้อน เขียนให้อ่ายในรูปด้วยได้ดังนี้

$$h = \frac{k_f(T_\infty - T_s)\partial T^*}{L(T_s - T_\infty)\partial y^*} \Big|_{y^*=0} \quad (2.74)$$

จากนิยามของตัวเลข Nusselt

$$Nu = \frac{hL}{k_f} \quad (2.75)$$

ดังนั้นเราจะได้

$$Nu = \frac{hL}{k_f} = + \frac{\partial T^*}{\partial y^*} \Big|_{y^*=0} \quad (2.76)$$

จะเห็นว่าตัวเลข Nusselt จะเท่ากับเกรดิエンท์อุณหภูมิไว้หน่วย ณ ตำแหน่งที่ผิว ($y^* = 0$) ซึ่งจะบ่งบอกถึงค่าการวัดของการพาความร้อนที่เกิดขึ้น ณ ตำแหน่งผิว ดังนั้นสามารถเขียนให้อ่ายในรูป

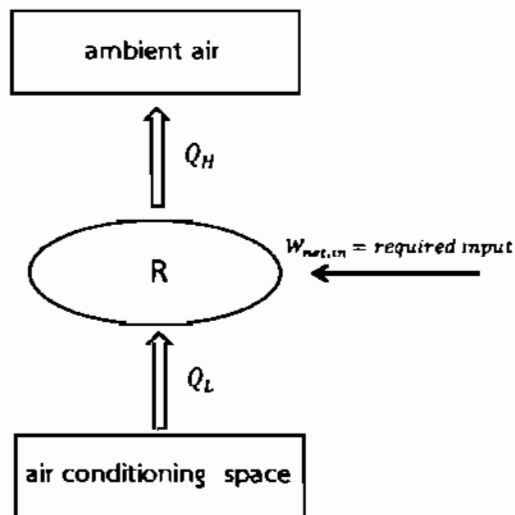
$$Nu = f_4(x^*, Re_L, Pr) \quad (2.77)$$

ค่าตัวเลข Nusselt เป็นค่าที่บ่งบอกถึงชั้นขอบเขตความร้อนขณะที่ค่า C_f บ่งบอกถึงชั้นขอบเขตความเร็ว

2.5 สัมประสิทธิ์สมรรถนะของการทำความเย็น (Coefficient of Performance : COP)

ประสิทธิภาพการทำงานของเครื่องปรับอากาศแสดงอยู่ในรูปของสัมประสิทธิ์สมรรถนะซึ่งคำนวณได้ตามสมการดังนี้

$$\text{COP}_R = \frac{\text{ผลของการทำความเย็น}}{\text{งานที่ต้องป้อนแก้อุปกรณ์}} = \frac{Q_L}{W_{net,in}} \quad (2.78)$$



ภาพประกอบ 2.9 การหาค่าสัมประสิทธิ์สมรรถนะ

กล่าวคือเครื่องปรับอากาศเป็นอุปกรณ์ที่ทำงานเพื่อรักษาอุณหภูมิของบริเวณทำความเย็นให้มีอุณหภูมิค่าโดยการกำจัดความร้อนออกจากบริเวณดังกล่าวแล้วนำไปทิ้งแหล่งรับความร้อนที่มีอุณหภูมิสูงกว่าโดยการส่งงานให้ดังภาพประกอบ 2.9

บทที่ 3

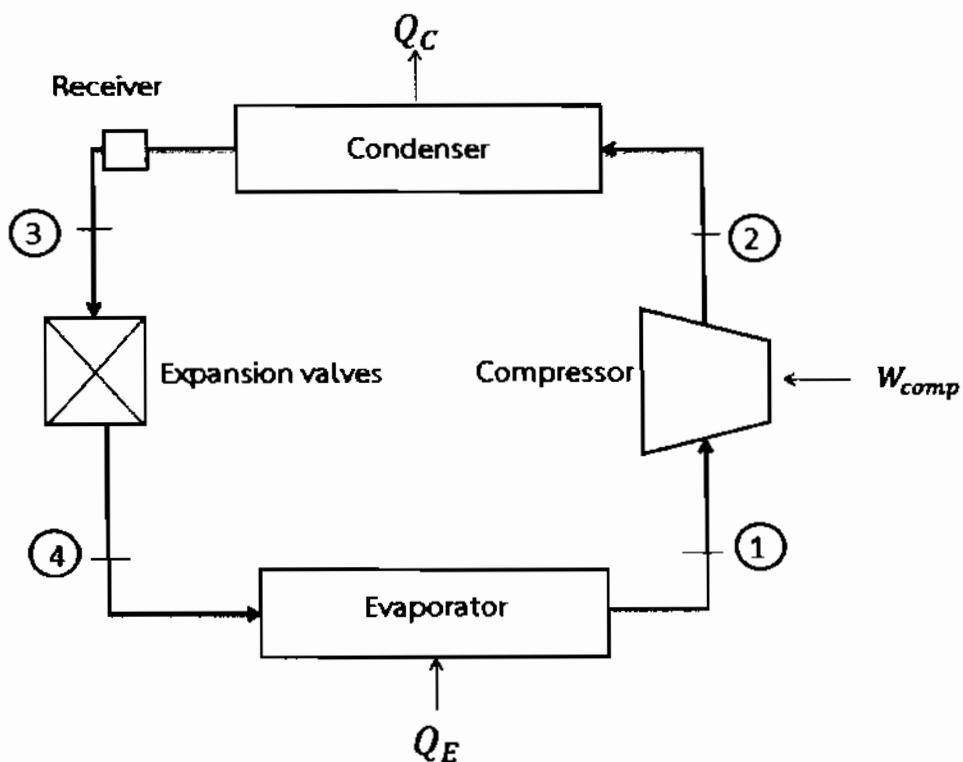
แบบจำลองและวิธีการคำนวณ

เนื่องจากโครงงานนี้มีวัตถุประสงค์เพื่อศึกษาทำความเข้าใจเกี่ยวกับกระบวนการต่าง ๆ ที่เกิดขึ้นในระบบปรับอากาศเพื่อหาแนวทางในการเพิ่มประสิทธิภาพของระบบเราจึงจำเป็นที่จะต้องสร้างแบบจำลองทางคณิตศาสตร์ของระบบปรับอากาศ เพื่อศึกษาพัฒนาระบบที่เกิดขึ้นในระบบปรับอากาศและการเปลี่ยนเที่ยบการทำงานจริงของอุปกรณ์ในการทดลองเครื่อง ET600 Laboratory Air-Conditioning System

3.1 สร้างแบบจำลอง

3.1.1 แสดงรายละเอียดตำแหน่งในอุปกรณ์ต่างๆ

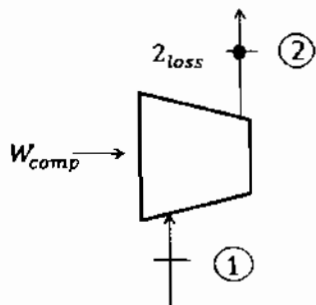
ระบบปรับอากาศแบบแยกส่วนประกอบไปด้วยอุปกรณ์หลักคือ เครื่องอัดไอ (Compressor) เครื่องควบแน่น (Condenser) เครื่องระเหย (Evaporator) เครื่องควบคุมการให้เสียงสารทำความเย็น (Expansion Value) และนอกจากนี้มีอุปกรณ์กับดักไอ (receiver) ดังแสดงภาพประกอบ 3.1



ภาพประกอบ 3.1 แสดงรายละเอียดตำแหน่งในอุปกรณ์ต่าง ๆ

3.1.2 แบบจำลองของอุปกรณ์อัดไอ

อุปกรณ์อัดไอทำหน้าที่ดูดสารทำความเย็นในสภาพที่เป็นไอเข้ามา และอัดให้เกิดความดันสูงซึ่งทำให้มีความร้อนเพิ่มขึ้นโดยอาศัยงานจากภายนอกที่กระทำผ่านเพลา



ภาพประกอบ 3.2 กระบวนการอัดไอของคอมเพรสเซอร์

อัตรางานที่ป้อนให้กับอุปกรณ์อัดไอจะพิจารณาจากสมการ (2.2) เป็นกฎการอนุรักษ์พลังงานที่เป็นไปตามกฎข้อที่ 1 ทางเทอร์โนไดนาไมค์สเมื่อนำมาประยุกต์ใช้กับกระบวนการที่มีการถ่ายเทมาลเข้าออกจากระบบ โดยสมมติว่า เป็นการให้ผลที่สภาวะคงที่ ผลต่างพลังงานจนนและพลังงานศักย์เป็นศูนย์และไม่มีความร้อนสูญเสียเกิดขึ้น เขียนแสดงสมการได้ดังนี้

$$\dot{W}_c = \dot{m}_r (h_2 - h_1) \quad (3.1)$$

โดย h_2 หาได้จากการดังนี้

$$h_2 = \frac{h'_2 - h_1}{\eta_{isent}} + h_1 \quad (3.2)$$

$$\eta_{isent} = \frac{h_2 - h_1}{h'_2 - h_1} \quad (3.3)$$

กรณีที่มีความร้อนสูญเสียที่คอมเพรสเซอร์ เอนทัลปีที่ออกจากคอมเพรสเซอร์หาได้ดังนี้

$$h_{2,loss} = h_2 - \frac{\dot{Q}_{loss}}{\dot{m}_r} \quad (3.4)$$

สิ่งค่าประสิทธิภาพไอเซนโทรปิกของอุปกรณ์อัดไอหาได้จากอุปกรณ์การทดลองประสิทธิภาพเชิงปริมาณที่คอมเพรสเซอร์ทำได้จริง จากบริษัทผู้ผลิตเพื่อหาสมการประสิทธิภาพไอเซนโทรปิก (Arunwattana, 2010) ได้ดังนี้

$$\eta_{isent} = 0.0069Pr^3 - 0.0987Pr^2 + 0.4274Pr + 0.072 \quad (3.5)$$

$$\text{โดย } Pr = \frac{P_C}{P_E}$$

โดยอัตราการให้หลังสารทำความเย็นสามารถหาได้ดังนี้

$$\dot{m}_r = \rho_1 \eta_v \dot{V}_c \quad (3.6)$$

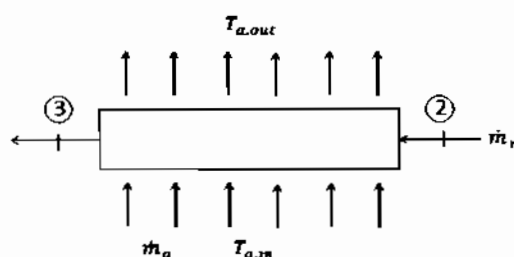
ประสิทธิภาพเชิงปริมาตรของคอมเพลสเซอร์หาได้จากอุปกรณ์การทดลองประสิทธิภาพเชิงปริมาตรที่คอมเพลสเซอร์ทำได้ จากบริษัทผู้ผลิตเพื่อทดสอบการประสิทธิภาพเชิงปริมาตรของคอมเพลสเซอร์ (Arunwattana, 2010) ได้ดังนี้

$$\eta_v = 0.003Pr^3 - 0.0441Pr^2 + 0.1796Pr + 0.6803 \quad (3.7)$$

- เมื่อ $h_{2,loss} =$ เอนทัลปีที่ออกจากคอมเพลสเซอร์ กรณีที่มีความร้อนสูญเสียที่คอมเพลสเซอร์ [kJ/kg]
- $\dot{V}_c =$ อัตราการให้หลังเชิงปริมาตรของคอมเพลสเซอร์ทำได้ [m^3/s]
- $\dot{Q}_{loss} =$ อัตราการสูญเสียความร้อนบริเวณคอมเพลสเซอร์ [kW]
- $\rho_1 =$ ความหนาแน่นของสารทำความเย็น [kg/m^3]
- $\dot{m}_r =$ อัตราการให้หลังสารทำความเย็น [kg/m^3]
- $\dot{W}_c =$ อัตรางานที่ป้อนให้กับอุปกรณ์อัดไอ [kW]
- $Pr =$ สัดส่วนความดันคงเด่นเซอร์ต่ออีว่าปโนเรเตอร์
- $\eta_v =$ ประสิทธิภาพเชิงปริมาตร

3.1.3 แบบจำลองอุปกรณ์ควบแน่น (Condenser)

เครื่องควบแน่นเป็นเครื่องแยกเปลี่ยนความร้อนที่ทำหน้าที่ระหว่างความร้อนจากสารทำความเย็นที่ถูกอัดจากอุปกรณ์อัดไอให้ควบแน่นเปลี่ยนสถานะจากสารทำความเย็นที่เป็นไอให้เป็นของเหลว ดังภาพประกอบ 3.3



ภาพประกอบ 3.3 อุปกรณ์ควบแน่น

โดยมีสมการแสดงอัตราการถ่ายเทความร้อน ดังแสดงในสมการที่ (3.8-3.11) ซึ่งมีสมมติฐานดังนี้ เป็นการให้ผลลัพธ์ของงานจริงและผลลัพธ์ของศักย์เป็นศูนย์และไม่มีการป้อนงานให้กับคุณเดนเซอร์ เขียนแสดงสมการได้ดังนี้

$$\text{ตัวสารทำงาน} \quad \dot{Q}_{con} = \dot{m}_r(h_2 - h_3) \quad (3.8)$$

$$\text{ตัวอากาศ} \quad \dot{Q}_{con} = \dot{m}_a(h_{a,out} - h_{a,in}) \quad (3.9)$$

$$\text{เครื่องแลกเปลี่ยนความร้อน} \quad \dot{Q}_{con} = \dot{Q}_{con,De} + \dot{Q}_{con,con} \quad (3.10)$$

$$\dot{Q}_{con} = (UA\Delta T_{LMTD})_{con,De} + \varepsilon \dot{Q}_{max} \quad (3.11)$$

เมื่อ

ΔT_{LMTD} = ความแตกต่างของอุณหภูมิของคุณเดนเซอร์บริเวณลดความเป็นไอย瓦ติ้ง [°C]

\dot{Q}_{con} = อัตราการถ่ายเทความร้อนบริเวณคุณเดนเซอร์ [kW]

\dot{Q}_{max} = อัตราการถ่ายเทความร้อนสูงสุดบริเวณคุณเดนเซอร์ [kW]

U = สัมประสิทธิ์การถ่ายเทความร้อนรวม [kW/m²°C]

A = พื้นที่การถ่ายโอนความร้อน [m²]

\dot{m}_r = อัตราการไหลของสารทำความเย็น [kg/s]

\dot{m}_a = อัตราการไหลของอากาศ [kg/s]

h_a = เอนทัลปีของอากาศ [kg/s]

con = บริเวณคุณเดนเซอร์

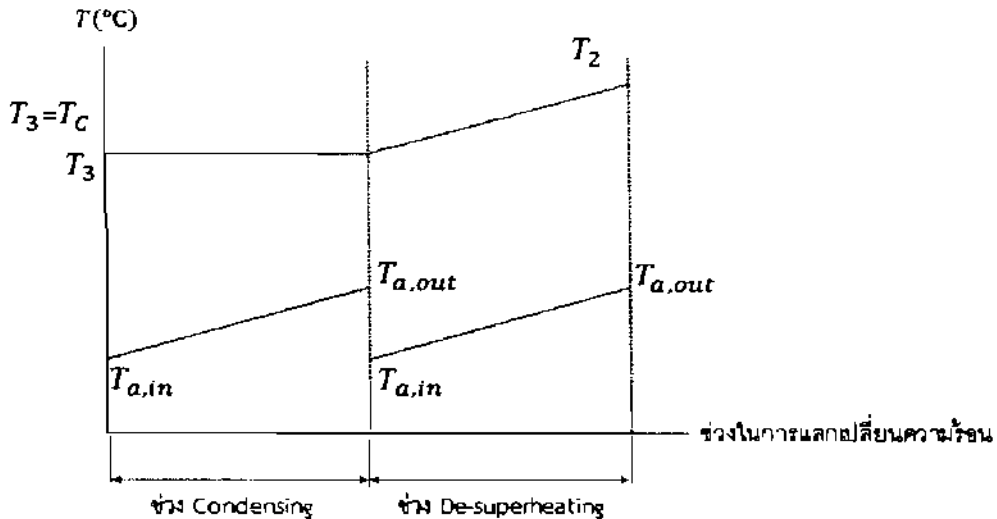
max = ค่าสูงสุด

ε = ประสิทธิผล

r = สารทำความเย็น

a = อากาศ

เนื่องจากอากาศก่อนเข้าอุปกรณ์ควบแน่นเท่ากันทั้งหมด ดังนั้นจึงสมมติฐานว่าอุณหภูมิอากาศเข้าบริเวณ De super heating และ Condensing เท่ากัน และสามารถแสดงเส้นอุณหภูมิระหว่างอากาศกับสารทำความร้อนในอุปกรณ์ควบแน่นดังภาพประกอบ 3.4



ภาพประกอบ 3.4 บริเวณการถ่ายโอนความร้อน

ในการพิจารณาการแลกเปลี่ยนความร้อนในอุปกรณ์ควบแน่นแต่ละช่วงจะไม่คิดความดันสูญเสีย เนื่องจากความดันสูญเสียมีค่าน้อย ดังนี้

3.1.3.1 บริเวณลดความเป็นไอยาดิ่ง (De-super heating)

การหาค่าการถ่ายเทความร้อนของคอนเดนเซอร์บริเวณลดความเป็นไอยาดิ่ง ได้ดังนี้

$$\dot{Q}_{con,De} = (UA)_{con,De} (\Delta T_{LMTD})_{con,De} \quad (3.12)$$

$$(\Delta T_{LMTD})_{con,De} = \left[\frac{(T_2 - T_{Air,out,De}) - (T_C - T_{Air,in})}{\ln \left(\frac{(T_2 - T_{Air,out,De})}{(T_C - T_{Air,in})} \right)} \right] \quad (3.13)$$

เมื่อ $\dot{Q}_{con,De}$ = อัตราการถ่ายเทความร้อนของคอนเดนเซอร์บริเวณลดความเป็นไอยาดิ่ง [kW]

$(\Delta T_{LMTD})_{con,De}$ = ความแตกต่างของอุณหภูมิของคอนเดนเซอร์บริเวณลดความเป็นไอยาดิ่ง [°C]

$T_{Air,in}$ = อุณหภูมิของอากาศเข้าคอนเดนเซอร์ [°C]

$T_{Air,out,De}$ = อุณหภูมิอากาศที่ออกจากคอนเดนเซอร์บริเวณลดความเป็นไอยาดิ่ง [°C]

ผลผลิตของสัมประสิทธิ์การถ่ายเทความร้อนรวมกับพื้นที่ผิวของการแลกเปลี่ยนความร้อนบริเวณในค่อนเดนเซอร์สามารถพิจารณาได้จากสมการดังนี้

$$UA_{con,De} = \frac{\frac{1}{\ln(\frac{r_o}{r_i})}}{\frac{1}{h_{r,con,De} A_i} + \frac{2\pi k L_{con,De}}{A_i} + \frac{1}{\eta_{fin} h_a A_o}} \quad (3.14)$$

เมื่อ $L_{con,De}$ = ความยาวของท่อบริเวณลดความเป็นไออยด์ [m]

k = ค่าสภาพการนำความร้อนของท่อ [kW/m°C]

η_{fin} = ประสิทธิภาพของคริบระบายความร้อน

A_i = พื้นที่ผิวด้านใน [m^2]

A_o = พื้นที่ผิวด้านนอก [m^2]

r_i = ระยะรัศมีภายใน [m]

r_o = ระยะรัศมีภายนอก [m]

โดยสมการหาสัมประสิทธิ์พากความร้อนของสารทำความเย็นสามารถหาจากสมการดังนี้

$$h_{r,con,De} = \frac{Nu_{r,De} k_r}{D_{h,r,De}} \quad (3.15)$$

เมื่อ k_r = การนำความร้อนของสารทำความเย็น [kW/m°C]

$D_{h,r,De}$ = Hydraulic diameter [m]

$Nu_{r,De}$ = ค่าน้ำสแขณ์เบอร์

$h_{r,con,De}$ = สัมประสิทธิ์พากความร้อนของสารทำความเย็นของค่อนเดนเซอร์บริเวณลดความเป็นไออยด์ [kW/m^2]

ความสัมพันธ์ของการถ่ายโอนความร้อนของการให้สตานะเดียวในท่อที่วางในแนววนอน หาได้จากสมการของ Petukhov (1970) ดังนี้

$$Nu_{r,De} = \frac{\frac{f_r}{8} x Re_{r,De} x Pr_{r,De}}{b_r + 12.7 x (\frac{f_r}{8})^{0.5} x (Pr_{r,De}^{2/3} - 1)} \quad (3.16)$$

$$b_r = 1.07 + \frac{900}{Re_r} - \frac{0.63}{1+10Pr_r} \quad (3.17)$$

โดยค่าความเสียดทานที่ใช้ในส่วนของ $N_{r,De}$ เพื่อนำไปใช้หาค่าสัมประสิทธิ์การถ่ายเทความร้อนพิจารณาจากสมการของ Filonenko (1960) ดังนี้

$$f_r = \frac{1}{(0.79 \ln Re_{r,De} - 1.64)^2} \quad (3.18)$$

ซึ่งค่า $Pr_{r,De}$ และค่า $Re_{r,De}$ สามารถพิจารณาได้ดังนี้

$$Pr_{r,De} = \frac{u_r c_{pr}}{k_r} \quad (3.19)$$

$$Re_{r,De} = \frac{\rho_r u_r D_{h,r}}{\mu_r} \quad (3.20)$$

โดยที่ความเร็วของสารทำความเย็นสามารถหาได้จากสมการ

$$u_r = \frac{\dot{m}_r}{\rho_r A_r} \quad (3.21)$$

เมื่อ	μ_r	= ความหนืดพลวติของสารทำความเย็น [$\text{kg}/\text{m} \cdot \text{s}$]
	c_{pr}	= ความร้อนจำเพาะของสารทำความเย็น [$\text{kJ}/\text{kg}^\circ\text{C}$]
	ρ_r	= ความหนาแน่นของสารทำความเย็น [kg/m^3]
	u_r	= ความเร็วของสารทำความเย็น [m/s]

สำหรับสมการหาสัมประสิทธิ์การพาความร้อนของอากาศสามารถเขียนสมการได้ดังนี้

$$h_{a,De} = j(G c_{p,a}) Pr_{a,De}^{3/2} \quad (3.22)$$

$$j = 0.14 Re_{a,De}^{-0.328} \left(\frac{P_t}{P_l}\right)^{-0.502} \left(\frac{F_p}{D_C}\right)^{0.0312} \quad (3.23)$$

$$\text{โดย } Re_{a,De} = \frac{\rho_a u_{a,De} D_{h,a,De}}{\mu_a} \quad (3.24)$$

$$Pr_{a,De} = \frac{\mu_a c_{pa}}{k_a} \quad (3.25)$$

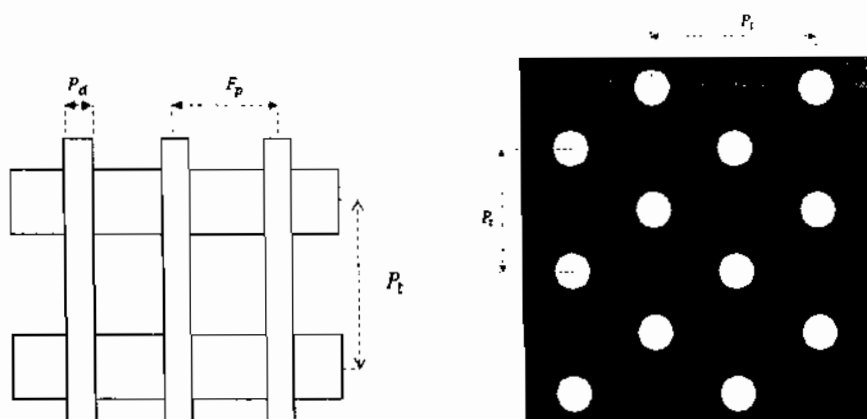
$$D_{h,a,De} = \frac{4A_a}{P_a} \quad (3.26)$$

- เมื่อ $Re_{a,De}$ = เรย์โนลัมเบอร์ของอากาศในช่วงดีซูปเปอร์ชีท
 $D_{h,a,De}$ = ໄ:inline>ไฮดรอลิกไดมิเตอร์ [m]
 $u_{a,De}$ = ความเร็วของอากาศในช่วงดีซูปเปอร์ชีท [m/s]
 $h_{a,De}$ = สัมประสิทธิ์การพากความร้อนทางด้านของไฟลที่เป็นอากาศของคอนเดนเซอร์บริเวณลด
 ความเป็นไออยาดยิ่ง [KW/m^2]
 μ_a = ความหนืดพลวัตของอากาศ [$\text{kg}/\text{m} \cdot \text{s}$]
 A_a = พื้นที่หน้าตัดการไหลของอากาศ [m^2]
 P_a = เส้นรอบวงของท่อ [m]
 D_c = เส้นผ่าศูนย์กลางของท่อวัดจากผิวฐานของครีบ [m]
 P_t = ระยะห่างระหว่างท่อวัดจากเส้นผ่าศูนย์กลางในแนวตั้ง [m]
 P_l = ระยะห่างระหว่างท่อวัดจากเส้นผ่าศูนย์กลางในแนวอน [m]
 F_p = ระยะห่างของครีบระหว่างความร้อนแบบ Plain [m]
 $c_{p,a}$ = ค่าความจุความร้อนของอากาศ [$\text{kJ}/\text{kg}^\circ\text{C}$]
 $u_{a,De}$ = ความเร็วของอากาศในช่วงดีซูปเปอร์ชีท [m/s]

การหาประสิทธิภาพครีบระหว่างความร้อน



ภาพประกอบ 3.5 ครีบระหว่างความร้อนในอุปกรณ์ควบแน่น



ภาพประกอบ 3.6 ลักษณะการวางท่อและครีบ

การหาประสิทธิภาพครึ่ง��이ความร้อนสามารถหาได้จาก

$$\eta_{fin,DH} = \frac{(\tanh(mL_c))}{mL_c} \quad (3.27)$$

โดย $m = \frac{h_{a,DH} P_f}{k_a A_f}$ (3.28)

$$P_f = 2 \frac{P_t}{2} + t_f \quad (3.29)$$

เมื่อ	P_t	= ระยะห่างระหว่างท่อวัดจากเส้นผ่านศูนย์กลางในแนวตั้ง [m]
	P_l	= ระยะห่างระหว่างท่อวัดจากเส้นผ่านศูนย์กลางในแนวนอน [m]
	F_p	= ระยะห่างระหว่างครึ่ง페이ความร้อนแบบ Plain [m]
	L_p	= ระยะห่างระหว่างครึ่ง페이ความร้อนแบบบานเกล็ด [m]
	L_h	= ความสูงในมุมเอียงของครึ่ง페이ความร้อน [m]
	A_f	= พื้นที่ของครึ่ง페이ความร้อน [m^2]
	t_f	= ความหนาของครึ่ง페이ความร้อน [m]
	N	= จำนวนແດວ

3.1.3.2 บริเวณการควบแน่น (Condensing)

ในการหาค่าการถ่ายเทความร้อนของคอนเดนเซอร์บริเวณการควบแน่นหากวิธีประสิทธิผล NTU

ให้ได้ดังสมการ

$$\dot{Q}_{con,cond} = \varepsilon Q_{max} \quad (3.30)$$

เมื่อ $\dot{Q}_{con,cond}$ = การถ่ายเทความร้อนของคอนเดนเซอร์บริเวณการควบแน่น [kW]

Q_{max} = อัตราการถ่ายเทความร้อนบริเวณการควบแน่นระหว่างอากาศกับสารทำความเย็นที่ทำให้นำ去ที่สุด [kW]

ε = ประสิทธิผลของอุปกรณ์แลกเปลี่ยนความร้อนในบริเวณการควบแน่น

โดย $\varepsilon = 1 - Exp(-NTU)$ (3.31)

$$NTU = \frac{UA_{con,cond}}{C_{min}} \quad (3.32)$$

$$UA_{con,cond} = \frac{1}{\frac{1}{h_{r,con,cond} A_t} + \frac{2\pi k L_{con,cond}}{\eta_{fin} h_a A_o} + \frac{1}{\ln(\frac{r_o}{r_i})}} \quad (3.33)$$

$$\text{และ } Q_{max} = C_{min}(T_c - T_{a,in}) \quad (3.34)$$

$$C_{min} = C_{Air} \quad (3.35)$$

โดยการทดลองนี้ให้ค่าผลคูณระหว่างอัตราการไหลเชิงมากและค่าความจุความร้อนจำเพาะที่น้อยที่สุดคือด้านของอากาศ

เมื่อ	η_{fin}	= ประสิทธิภาพของครีบระบายความร้อน
	A_i	= พื้นที่ผิวด้านใน [m^2]
	A_o	= พื้นที่ผิวด้านนอก [m^2]
	r_i	= ระยะรัศมีภายใน [m]
	r_o	= ระยะรัศมีภายนอก [m]
	$L_{con,cond}$	= ความยาวของห้องบริเวณการควบแน่น [m]
	k	= ค่าสภาพการนำความร้อนของผนังห่อ [$kW/m^\circ C$]

พิจารณาการถ่ายโอนความร้อนของสารทำความเย็น

สมการหาสัมประสิทธิ์การถ่ายเทขายความร้อนของสารทำความเย็นสามารถหาจากสมการดังนี้

$$h_{r,con,cond} = \frac{Nu_{r,cond} k_r}{D_{h,r,cond}} \quad (3.36)$$

สมการหาค่า *Hydraulic diameter* ของสารทำความเย็นหาได้จาก

$$D_{h,r,cond} = \frac{4A_r}{P_r} \quad (3.37)$$

เมื่อ	k_r	= ค่าการนำความร้อนของสารทำความเย็นที่เป็นของเหลว [$kW/m^\circ C$]
	A_r	= พื้นที่หน้าตัดของสารทำความเย็น [m^2]
	P_r	= เส้นรอบวงของห้องของสารทำความเย็น [m]

ค่า $Nu_{r,cond}$ สามารถคำนวณได้จากสมการของ Dabson และ Chato (1936) ดังนี้

$$Nu_{r,cond} = 0.23 Re_{r,cond}^{0.8} Pr_{r,cond}^{0.4} \left(\frac{2.22}{\chi_{tt}^{0.89}} \right) \quad (3.38)$$

จะใช้สมการ (3.38) คำนวณก็ต่อเมื่อเกิดการแลกเปลี่ยนความร้อนสองสถานะ

ซึ่งค่า $Pr_{r,cond}$ และค่า $Re_{r,cond}$ สามารถพิจารณาได้ดังนี้

$$Pr_{r,cond} = \frac{u_r c_{pr}}{k_r} \quad (3.39)$$

$$Re_{r,cond} = \frac{\rho_r u_r D_{h,r}}{\mu_r} \quad (3.40)$$

เมื่อ	μ_r	= ความหนืดของสารทำความเย็นที่เป็นของเหลวอีมตัว [$\text{kg}/\text{m} \cdot \text{s}$]
	c_{pr}	= ความร้อนจำเพาะของสารทำความเย็นที่เป็นของเหลวอีมตัว [$\text{k}/\text{kg}^\circ\text{C}$]
	u_r	= ความเร็วของสารทำความเย็นที่เป็นไออีมตัว [m/s]

The Lockhart Martinelli parameter

ล็อกฮาร์ตมาติเนลลี่-พารามิเตอร์ ใช้ในการคำนวณเมื่อความดันการไหลสองสถานะในท่อของอุปกรณ์แลกเปลี่ยนความร้อนลดลง ซึ่งจะง่ายกว่าวิธีการอื่น ๆ เมนาร์ที่จะใช้ในท่อขนาดเล็กเพื่อคำนวณหาอัตราการถ่ายเทความร้อน

$$X^{rr} = \left[\frac{1-X}{X} \right]^{0.9} \left[\frac{\rho_g}{\rho_f} \right]^{-0.5} \left[\frac{\mu_f}{\mu_g} \right]^{-0.1} \quad (3.41)$$

เมื่อ	ρ_f	= ความหนาแน่นของสารทำความเย็นที่เป็นของเหลวอีมตัว [kg/m^3]
	ρ_g	= ความหนาแน่นของสารทำความเย็นที่เป็นไออีมตัว [kg/m^3]
	X	= คุณภาพของไอ
	μ_f	= ความหนืดพลวัตของสารทำความเย็นที่เป็นของเหลว [$\text{kg}/\text{m} \cdot \text{s}$]
	μ_g	= ความหนืดพลวัตของสารทำความเย็นที่เป็นไอ [$\text{kg}/\text{m} \cdot \text{s}$]

การถ่ายโอนความร้อนของอากาศบริเวณควบแน่นจะเหมือนกับบริเวณการถ่ายโอนความร้อนบริเวณไอยิ่งขาด เนื่องจากเป็นการถ่ายโอนความร้อนแบบข้ามห้องและมีอุณหภูมิก่อนเข้าอุปกรณ์ก่อนเข้าอุปกรณ์ควบแน่นเท่ากันจึงใช้รูปแบบสมการพิจารณาการถ่ายโอนความร้อนที่เหมือนกัน

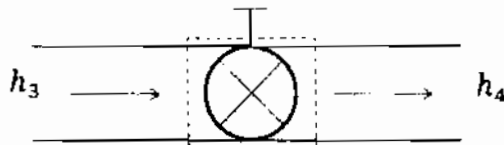
3.1.4 อุปกรณ์กับดักไอ (Liquid Receiver)

กับดักไอเป็นอุปกรณ์ชนิดหนึ่งที่ติดอยู่ในอุปกรณ์ควบแน่นจะติดตั้งไว้บริเวณก่อนเข้าอุปกรณ์ลดความดัน ทำหน้าที่ดักไอจากการควบแน่นของอุปกรณ์ไม่หมดจึงทำให้แบบจำลองนี้คิดค่าอัตราการถ่ายเทความร้อนที่อุปกรณ์ควบแน่นเป็น 2 โซน คือโซนลดความเย็นไอยิ่งและโซนการควบแน่น สมมติว่าสารทำความเย็นที่ออกจากการกับดักไอหรือก่อนไหลผ่านวาล์วลดความดันอยู่ในสถานะของเหลวอีมตัว จากการทดลองไม่สามารถวัดค่าอุณหภูมิที่ออกจากการกับดักไอได้จึงใช้ข้อมูลในการทดลอง โดยนำ $T_{a,in}$ และ T_3 มาพล็อตกราฟจะได้สมการ $T_3 = 0.5714 T_{a,in} + 27.462$ เพื่อนำไปหา h_3

3.1.5 แบบจำลองอุปกรณ์ลดความดัน

อุปกรณ์ลดความดัน คืออุปกรณ์ที่ควบคุมปริมาณสารทำความเย็นที่ไหลเข้าไปในคอกยล์เย็น และช่วยลดความดันของสารทำความเย็นลง เมื่อสารความเย็นไหลผ่านอุปกรณ์ลดความดันจะไม่มีงานที่ป้อนให้อุปกรณ์ และการถ่ายเทความร้อนเพรำการเคลื่อนที่ของสารทำเย็นเร็วมากจึงทำให้มีการถ่ายเทความร้อนสามารถเขียนให้อยู่ในรูปของสมการดังนี้

$$h_3 = h_4 \quad (3.42)$$



ภาพประกอบ 3.7 อุปกรณ์ลดความดัน

3.1.6 แบบจำลองอุปกรณ์ระเหย

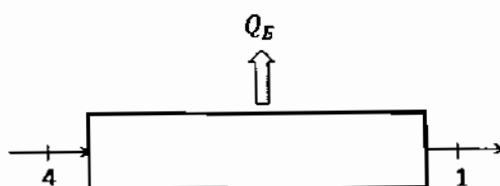
ความร้อนที่อยู่รอบคอกยล์เย็นทำให้สารทำความเย็นเกิดการเดือดซึ่งเป็นของเหลวระเหยกลาญเป็นไอ จึงทำให้เกิดความเย็นขึ้นบริเวณรอบ ๆ คอกยล์เย็น โดยสมมติว่า เป็นการให้หลักที่สภาวะคงที่ ผลต่างพลังงานจลน์ และพลังงานศักย์เป็นคุณย์และไม่มีการป้อนงานให้กับระบบความร้อนที่สารทำความเย็นดูดเอาไว้ในขณะที่ไหลผ่านเครื่องระเหยหาได้จาก

$$\dot{Q}_E = \dot{m}_r (h_1 - h_4) \quad (3.43)$$

เมื่อ \dot{Q}_E = ค่าอัตราการถ่ายเทความร้อนที่อุปกรณ์ระเหย [kW]

h_1 = ค่าเออนหัลปี ณ จุดก่อนเข้าอุปกรณ์อัดไอ [kJ/kg]

h_4 = ค่าเออนหัลปี ณ จุดก่อนเข้าอุปกรณ์ระเหย [kJ/kg]



ภาพประกอบ 3.8 อุปกรณ์ระเหย

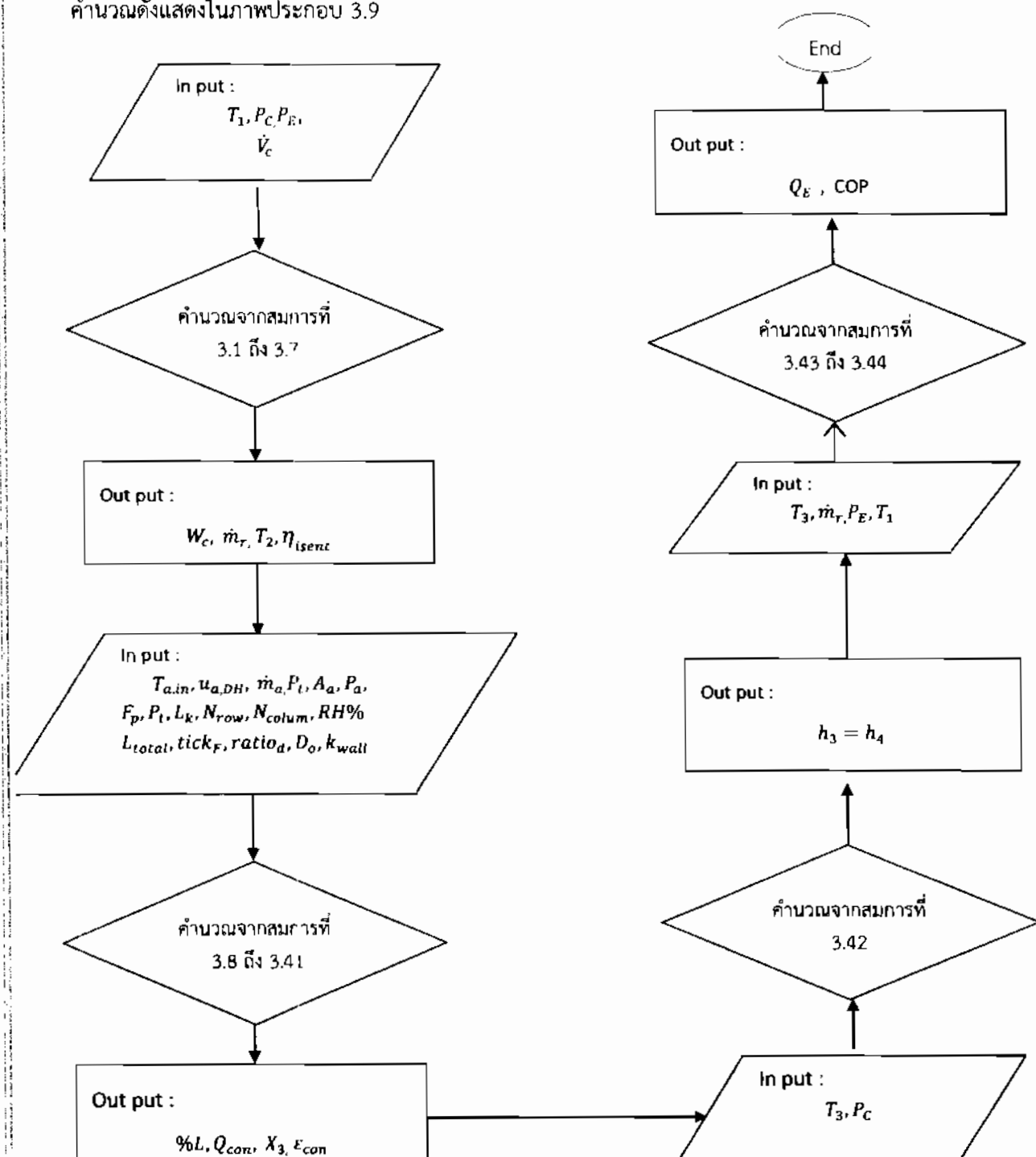
3.1.7 สัมประสิทธิ์สมรรถนะของสารทำความเย็น

การสร้างแบบจำลองค่าสัมประสิทธิ์สมรรถนะของสารทำความเย็น จะสามารถหาค่าจากอัตราการถ่ายเทความร้อนที่อุปกรณ์ระเหยส่วนด้วยงานที่ป้อนให้อุปกรณ์อัดไอ ดังนั้นจะสามารถหาค่าประสิทธิ์ภาพสมรรถนะของสารทำความเย็นได้ดังนี้

$$COP = \dot{Q}_E / \dot{w}_c \quad (3.44)$$

2. วิธีการคำนวณ

เมื่อสร้างแบบจำลองสมบูรณ์จากนั้นจะทำการหาคำตอบกับแบบจำลองโดยใช้ออฟแวร์ Engineering Equation Solver (EES) โดยมีตัวแปรที่ทราบค่าและตัวแปรไม่ทราบค่าในสมการที่ต้องการหาโดยมีวิธีการคำนวณดังแสดงในภาพประกอบ 3.9



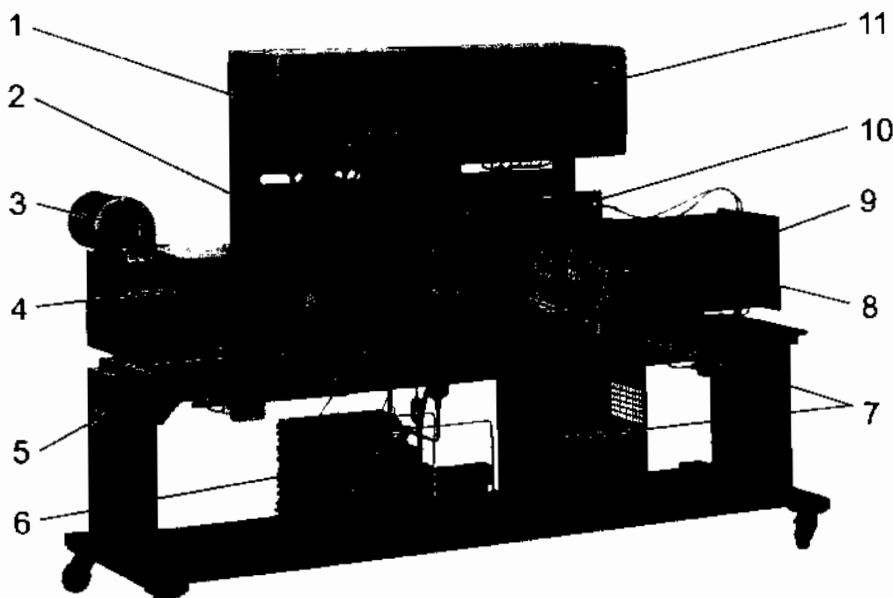
ภาพประกอบ 3.9 วิธีการคำนวณแบบจำลอง

บทที่ 4

การตรวจสอบแบบจำลอง

4.1 อุปกรณ์การทดลองเพื่อตรวจสอบแบบจำลองทางคณิตศาสตร์

ET 600 Laboratory Air-Conditioning System เป็นชุดการทดลองที่ศึกษาถึงพฤติกรรมที่เกิดขึ้นในกระบวนการต่าง ๆ ของระบบปรับอากาศแบบแยกส่วนประกอบไปด้วยอุปกรณ์หลักคือ เครื่องอัด (Compressor) เครื่องควบแน่น (Condenser) เครื่องระเหย (Evaporator) และเครื่องควบคุมการไหลของสารทำความเย็น (Expansion Valve) ซึ่งสารดังกล่าวที่ใช้คืออากาศ และสารทำความเย็น R 134a และส่วนแลกเปลี่ยนความร้อนจะเป็นแบบ Fin-tube heat exchanger และมีส่วนประกอบอื่นๆ ดังภาพประกอบ 4.1



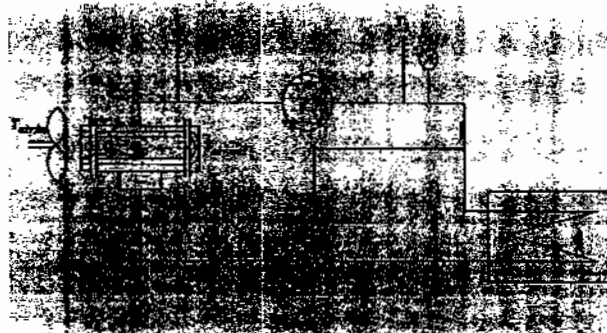
ภาพประกอบ 4.1 ส่วนประกอบของเครื่อง ET600 Laboratory of Air-conditioning system

จากภาพแสดงส่วนประกอบของเครื่อง ET600 Laboratory Air-conditioning ได้ดังนี้

1 controls	2 air cooler (direct evaporator)	3 fan
4 air preheater	5 temperature sensor	6 condensing unit
7 air humidifier	8 air reheater	9 air duct
10 inclined tube manometer	11 displays	

4.2 ดำเนินการวัดและเครื่องมือการวัด

จากการทดลองนี้ต้องการหาค่าสัมประสิทธิ์สมรรถนะของสารทำความเย็น (COP) อุณหภูมิที่ออกจากอุปกรณ์อัดไอ (T_2) อัตราการไหลของสารทำความเย็น (\dot{m}_r) ประสิทธิภาพไอเซนโทรปิกของอุปกรณ์ไออัด (η_{isent}) งานที่ป้อนให้กับอุปกรณ์อัดไอ (\dot{m}_c) และค่าอัตราการถ่ายเทความร้อนที่อุปกรณ์ควบแน่น (Q_c) โดยดำเนินการวัดดังภาพประกอบ 4.2 และมีรายละเอียดของอุปกรณ์การวัดดังตาราง 4.2



ภาพประกอบ 4.2 แสดงลักษณะและส่วนประกอบ
ด้านๆ ของระบบทำความเย็น

- T_1 = อุณหภูมิของสารทำความเย็นก่อนเข้าอุปกรณ์อัดไอ
 T_2 = อุณหภูมิของสารทำความเย็นที่ออกจากอุปกรณ์อัดไอ
 T_3 = อุณหภูมิของสารทำความเย็นที่ออกจากอุปกรณ์ควบแน่น
 T_4 = อุณหภูมิของสารทำความเย็นก่อนเข้าอุปกรณ์ระเหย
 $P_{1/4}$ = ความดันของอุปกรณ์ระเหยด้านด้าน
 $P_{2/3}$ = ความดันของอุปกรณ์ควบแน่นด้านสูง
 V_R = อัตราการไหลของสารทำความเย็น
 v_a = อัตราความเร็วของอากาศ
 $T_{air,in}$ = อุณหภูมิอากาศก่อนไหลผ่านอุปกรณ์ควบแน่น
 $T_{air,out}$ = อุณหภูมิอากาศที่ไหลออกจากอุปกรณ์ควบแน่น

ตาราง 4.1 สรุปอุปกรณ์ที่ใช้ในการวัดค่าต่างๆ

ค่าที่วัด	อุปกรณ์ที่ใช้วัด	ยี่ห้อ/รุ่น ของเครื่องมือวัด	ช่วงการวัด	ความคาด เคลื่อน
ความดันด้านสูงและ ความดันด้านด้าน	Pressure Transmitter	ยี่ห้อ : Huba control รุ่น : Pressure transmitter 691	0 – 32 [bar]	$\pm 15\%$
ความชื้นสัมพัทธ์	Humidity sensor	Endress+Hauser รุ่น : TST414	10 ถึง 90%RH	0.15%RH
T_1, T_2 และ T_3	เทอร์โมคัปเปิล	Endress+Hauser รุ่น : Type J	0 ถึง 200°C	0.05°C
$T_{air,in}$ และ $T_{air,out}$	เทอร์โมคัปเปิล	ยี่ห้อ : OEM รุ่น : Type K	-25 ถึง 150°C	0.05°C
อัตราการไหลของสาร ทำความเย็น	Rotameter	ยี่ห้อ : ABB D10A11- FLOWMETE	8-102 [l/h]	$\pm 15\%$
ความเร็วลมออก อุปกรณ์ควบแน่น	Anemometer	ยี่ห้อ : Lutron รุ่น : AM-4200	0.8-30 [m/s]	$\pm 3\%$

4.3 ค่าที่ต้องการหาจากการทดลองเพื่อเปรียบเทียบกับค่าที่ได้จากการทำนาย

สำหรับการหาค่าอัตราการถ่ายเทความร้อนที่อุปกรณ์ควบแน่น เพื่อนำไปเปรียบเทียบกับค่าที่ได้จากการทำนาย อัตราการถ่ายเทความร้อนจะวัดจากกระแสของอากาศ โดยสมมุติว่าอัตราแลกเปลี่ยนความร้อนในอุปกรณ์ควบแน่นไม่มีการสูญเสีย คืออัตราความร้อนที่สารทำความเย็นให้ออกมาจะเท่ากับอัตราความร้อนที่อากาศได้รับ ดังนั้นจะสามารถหาค่าอัตราการแลกเปลี่ยนความร้อนที่อุปกรณ์ควบแน่นได้ดังนี้

$$\dot{Q}_C = \dot{m}_a C p_{air} (T_{a,out} - T_{a,in}) \quad (4.1)$$

เมื่อ \dot{Q}_C = ค่าอัตราการถ่ายเทความร้อนที่อุปกรณ์ควบแน่น [kW]

\dot{m}_a = อัตราการไหลของอากาศ [kg/s]

$C p_{air}$ = ค่าความความร้อนจำเพาะของอากาศ [kJ/kg°C]

$T_{a,in}$ = อุณหภูมิสิ่งแวดล้อมก่อนเข้าอุปกรณ์ควบแน่น [°C]

$T_{a,out}$ = อุณหภูมิสิ่งแวดล้อมที่ออกจากอุปกรณ์ควบแน่น [°C]

โดย \dot{m}_a จะหาจาก $\rho_a A h_a$ โดยจะทำการวัดค่าอัตราความเร็วลมของอากาศ (h_a) โดยใช้ Anemometer และวัดค่าอุณหภูมิ $T_{a,in}$ และ $T_{a,out}$

การหาค่าอัตราการไหลของสารทำความเย็นของอุปกรณ์การทดลอง เพื่อนำไปเปรียบเทียบกับค่าที่ได้จากการทำนาย อัตราการไหลของสารทำความเย็นจะวัดจากการไหลของสารทำความเย็น ณ จุดที่ 3 ดังภาพประกอบ 4.2 โดยมีหน่วย [L/hr] จึงทำการเปลี่ยนหน่วยให้เป็น [kg/s] จากการทดลอง ก่อนที่นำไปเปรียบเทียบกับค่าที่ได้จากการทำนาย ดังนั้นจะสามารถหาค่าอัตราการไหลของสารทำความเย็นได้ดังนี้

$$\dot{m}_{r,exp} = \dot{V}_R \rho_3 (0.001/3600) \quad (4.2)$$

เมื่อ \dot{V}_R = อัตราการไหลของสารทำความเย็น [L/hr]

ρ_3 = ค่าความหนาแน่น ณ จุดที่ 3 [kg/m³]

การหาค่าอัตรางานที่ป้อนให้กับอุปกรณ์อัดไอ เพื่อนำไปเปรียบเทียบกับค่าที่ได้จากการทำนาย งานที่ป้อนให้กับอุปกรณ์อัดไอ จะสามารถหาค่าจากอัตราการไหลของสารทำความเย็นคูณกับผลต่างของเอนทัลปีของอุปกรณ์อัดไอ ดังนั้นจะสามารถหาค่าอัตรางานที่ป้อนให้อุปกรณ์อัดไอได้ดังนี้

$$\dot{w}_c = \dot{m}_{r,exp} (h_2 - h_1) \quad (4.3)$$

\dot{w}_c = ค่าอัตรางานที่ป้อนให้กับอุปกรณ์อัดไอ [kW]

h_1 = ค่าเอนทัลปี ณ จุดก่อนเข้าอุปกรณ์อัดไอ [kJ/kg]

h_2 = ค่าเอนทัลปี ณ จุดที่ออกจากอุปกรณ์อัดไอ [kJ/kg]

การหาค่าสัมประสิทธิ์สมรรถนะของสารทำความเย็นของอุปกรณ์การทดลอง เพื่อนำไปเปรียบเทียบกับค่าที่ได้จากการทำนาย ค่าสัมประสิทธิ์สมรรถนะของสารทำความเย็นจะสามารถหาค่าจากอัตราการถ่ายเทความร้อนที่อุปกรณ์ระเหยส่วนด้วยงานที่ป้อนให้อุปกรณ์อัดไอ ดังนั้นจะสามารถหาค่าประสิทธิ์ภาพสมรรถนะของสารทำความเย็นของอุปกรณ์การทดลองได้ดังนี้

$$COP = \dot{Q}_E / \dot{W}_c \quad (4.4)$$

$$\dot{Q}_E = \dot{m}_{r,erp} (h_1 - h_4) \quad (4.5)$$

เมื่อ \dot{Q}_E = ค่าอัตราการถ่ายเทความร้อนที่อุปกรณ์ระเหย [kW]

h_4 = ค่าเออนทัลปี ณ จุดก่อนเข้าอุปกรณ์ระเหย [kJ/kg]

โดยจะทำการวัดค่าอุณหภูมิ T_1 และ T_3 และวัดค่าความดัน P_c และ P_E เพื่อจะนำไปหาค่าเออนทัลปี $h_3 = h_4$ และ h_1

การหาค่าอุณหภูมิที่ออกจากอุปกรณ์อัดไอ T_2 เพื่อนำไปเปรียบเทียบกับค่าที่ได้จากการทำนาย โดยค่าอุณหภูมิที่ออกจากอุปกรณ์อัดไอ T_2 จะหาค่าได้จากการใช้เครื่องมือวัดที่กล่าวไว้ในหัวข้อ 4.2

การหาค่าประสิทธิ์ภาพไอลเซนโทรปิกของอุปกรณ์อัดไอ เพื่อนำไปเปรียบเทียบกับค่าที่ได้จากการทำนายประสิทธิ์ภาพไอลเซนโทรปิกของอุปกรณ์อัดไอ จะสามารถหาได้จากการที่ป้อนให้อุปกรณ์ไอลดัลจิงกับงานที่ป้อนให้อุปกรณ์ไอลดัลแบบอุดมคติ ดังนั้นจะสามารถหาค่าประสิทธิ์ภาพไอลเซนโทรปิกของอุปกรณ์อัดไอจากการทดลองได้ดังนี้

$$\eta_{isent} = \frac{\dot{W}'_c}{\dot{W}_c} \quad (4.6)$$

$$\text{หรือ } \eta_{isent} = \frac{h'_2 - h_1}{h_2 - h_1} \quad (4.7)$$

h'_2 = ค่าเออนทัลปีในกระบวนการอัดแบบไอลเซนโทรปิก ณ จุดที่ออกจากอุปกรณ์อัดไอ [kJ/kg]

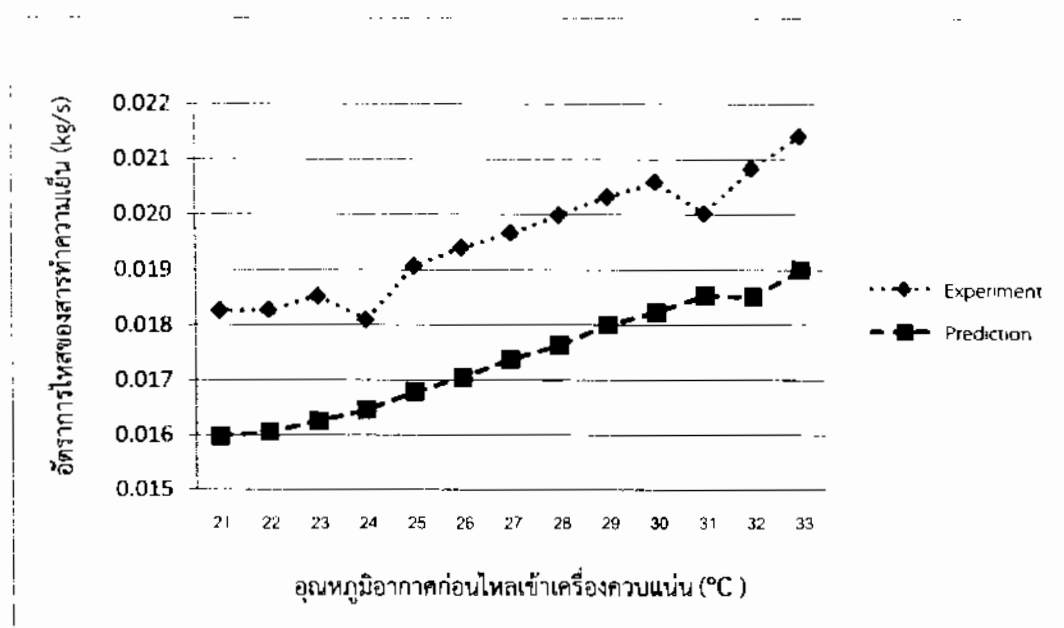
โดยงานที่ป้อนให้อุปกรณ์ไอลดัลแบบอุดมคติ

$$\dot{W}'_c = \dot{m}_{r,erp} (h'_2 - h_1) \quad (4.8)$$

4.4 ผลการเปรียบเทียบค่าที่ได้จากการทดลองและการคำนวณ

4.4.1 อัตราการไหลของสารทำความเย็น

ภาพประกอบด้านล่างแสดงถึงอัตราการไหลของสารทำความเย็นโดยแกน x คืออุณหภูมิอากาศก่อนไฟฟ้าผ่านอุปกรณ์เครื่องควบแน่น และแกน y คืออัตราการไหลของสารทำความเย็นซึ่งเป็นผลที่ได้จากการทดลองและผลจากการคำนวณจากแบบจำลองทางคอมพิวเตอร์

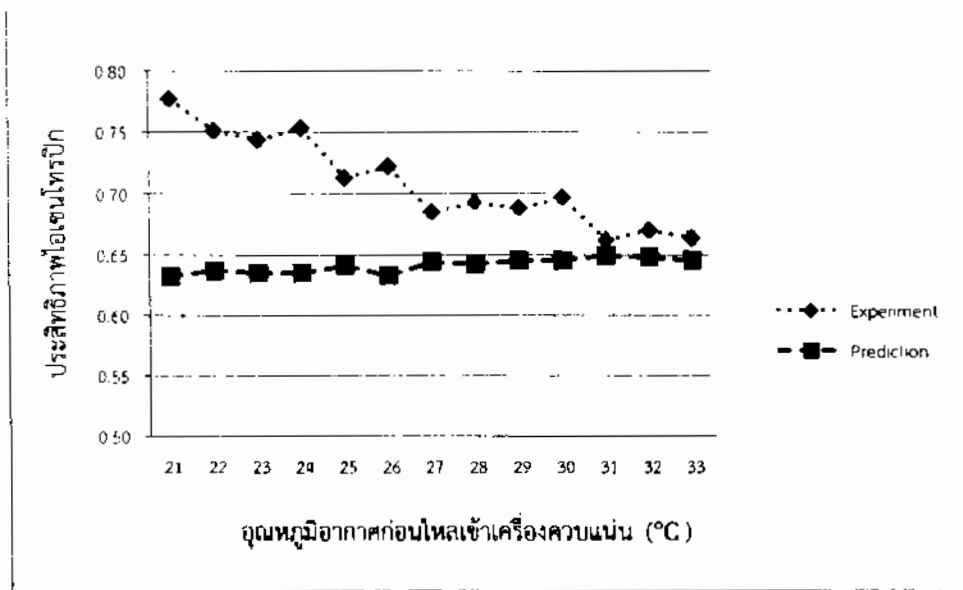


ภาพประกอบ 4.3 การเปรียบเทียบอัตราการไหลของสารทำความเย็น

จากการเปรียบเทียบอัตราการไหลของสารทำความเย็นที่ได้จากการวัดและการคำนวณโดยใช้แบบจำลองในช่วงอุณหภูมิอากาศไฟฟ้าผ่านอุปกรณ์ควบแน่น 21 องศาเซลเซียส ถึง 33 องศาเซลเซียส พบว่าค่าเฉลี่ยสัดส่วนความแตกต่างของอัตราการไหลของสารทำความเย็นจะอยู่ที่ 11.77% โดยมีค่าความแตกต่างน้อยที่ 10.99% ที่อุณหภูมิ 31 องศาเซลเซียส และมีค่าความแตกต่างมากที่สุด 12.75% ที่อุณหภูมิ 21 องศาเซลเซียส จากผลการทดลองและการคำนวณมีความแตกต่างเนื่องจากการเก็บข้อมูลของผู้ทดลองและอุปกรณ์ การวัดอัตราการไหลของสารทำความเย็นมีการเคลื่อนที่ตลอดเวลาจึงเก็บค่าที่แน่นอนได้ยากและเมื่ออุณหภูมิสูงขึ้นสัดส่วนความแตกต่างจะมีค่าเพิ่มขึ้นเช่นกัน

4.4.2 ประสิทธิภาพไอเซนไทร์ปิก

รูปภาพด้านล่างแสดงถึงประสิทธิภาพไอเซนไทร์ปิกโดยแกน X คืออุณหภูมิอากาศเข้าที่อุปกรณ์เครื่องควบคุมและแกน Y คือประสิทธิภาพไอเซนไทร์ปิกของการทดลองและการทำนายจากโปรแกรมทางคณิตศาสตร์

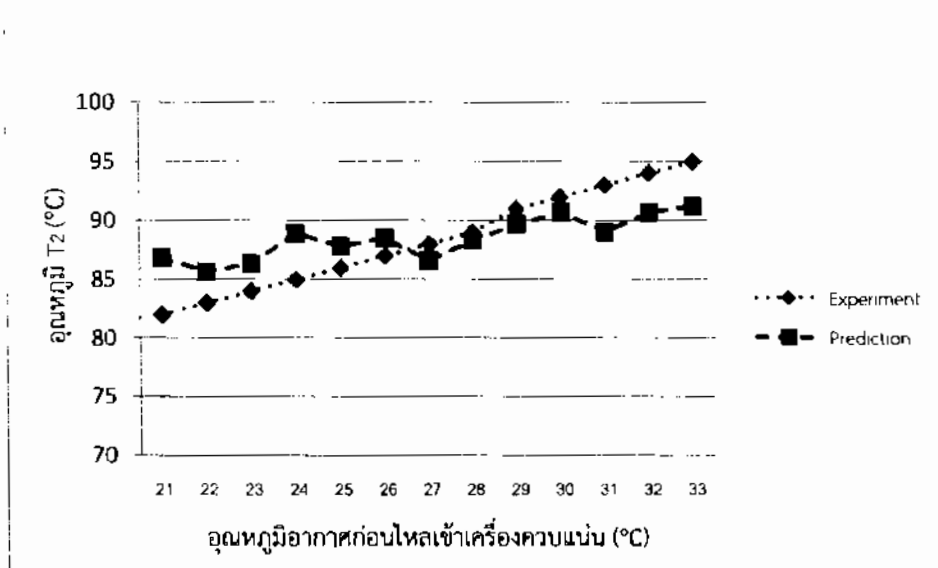


ภาพประกอบ 4.4 การเปรียบเทียบเพียงประสิทธิภาพไอเซนไทร์ปิก

จากการเปรียบเทียบประสิทธิภาพไอเซนไทร์ปิกที่ได้จากการวัดและจากการทำนายโดยใช้แบบจำลองในช่วงอุณหภูมิอากาศเข้าที่อุปกรณ์ควบคุม 21 องศาเซลเซียส ถึง 33 เซลเซียล พบว่าค่าเฉลี่ยสัดคล่อนความแตกต่างของประสิทธิภาพไอเซนไทร์ปิกจะอยู่ที่ 16.50% โดยมีค่าความแปรผันน้อยที่ 2.01% ที่อุณหภูมิ 31 องศาเซลเซียส และมีค่าความแปรผันมากที่สุด 18.65 ที่อุณหภูมิ 21 องศาเซลเซียส จากการทดลองพบว่า ประสิทธิภาพไอเซนไทร์ปิกของการทดลองและการทำนายมีค่าความแปรผันของประสิทธิภาพไอเซนไทร์ปิกมากในช่วงที่มีอุณหภูมิต่ำและมีค่าความแปรผันของประสิทธิภาพไอเซนไทร์ปิกน้อยในช่วงที่มีอุณหภูมิสูง เนื่องจากสมการประสิทธิภาพไอเซนไทร์ปิกที่ใช้ในแบบจำลองมีความเหมาะสมในช่วงที่มีอุณหภูมิสูง

4.4.3 อุณหภูมิของสารทำความเย็นที่ออกจากคอมเพรสเซอร์ (Discharge-temperature)

รูปภาพด้านล่างแสดงถึงอุณหภูมิ T_2 เป็นอุณหภูมิที่ออกจากคอมเพรสเซอร์จะแสดงในแกน Y และอุณหภูมิอากาศเข้าที่อุปกรณ์เครื่องควบแน่นจะแสดงในแกน X

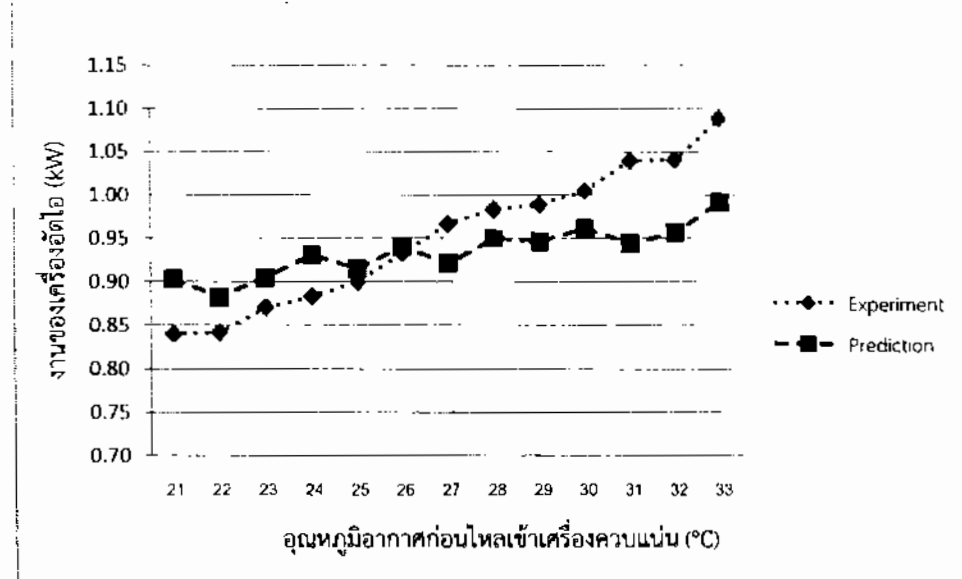


ภาพประกอบ 4.5 การเปรียบเทียบอุณหภูมิ T_2

จากการเปรียบเทียบอุณหภูมิ T_2 ที่ได้จากการวัดและการทำงานโดยใช้แบบจำลองในช่วงอุณหภูมิอากาศเข้าที่อุปกรณ์ควบแน่น 21 องศาเซลเซียส ถึง 33 องศาเซลเซียส พบร่วมค่าเฉลี่ยสัดส่วนความแตกต่างของอุณหภูมิ T_2 จะอยู่ที่ 2.81% โดยมีค่าความแตกต่างน้อยที่ 0.79 % ที่อุณหภูมิ 28 องศาเซลเซียส และมีค่าความแตกต่างมากที่สุด 5.89% ที่อุณหภูมิ 21 องศาเซลเซียส จากผลการทำงานและทำการทดสอบทราบมีความคลาดเคลื่อนน้อยเนื่องจากการกำหนดค่าความร้อนสูญเสียในคอมเพรสเซอร์มีความเหมาะสม จากรูปภาพต้านบนจะเห็นได้ว่าช่วงที่ค่าของอุณหภูมิ T_2 จากการทำงานมีค่าสูงกว่าค่าจากการทดลอง เพราะเกิดจากการกำหนดค่าความร้อนสูญเสียในคอมเพรสเซอร์มากเกินไปจึงทำให้ค่าที่ได้จากการทำงานมีค่าสูงกว่าค่าจากการทดลอง และช่วงที่ค่าอุณหภูมิ T_2 จากการทำงานมีค่าต่ำกว่าค่าจากการทดลอง เพราะเกิดจากการกำหนดค่าความร้อนสูญเสียในคอมเพรสเซอร์มากเกินไปจึงทำให้ค่าที่ได้จากการทำงานมีค่าต่ำกว่าค่าจากการทดลอง

4.4.4 งานที่คอมเพรสเซอร์

จากรูปภาพด้านล่างแสดงถึงงานที่ป้อนให้คอมเพรสเซอร์โดยแกน X แสดงถึงอุณหภูมิอากาศเข้าที่อุปกรณ์เครื่องควบแน่นและแกน Y คือ งานที่คอมเพรสเซอร์

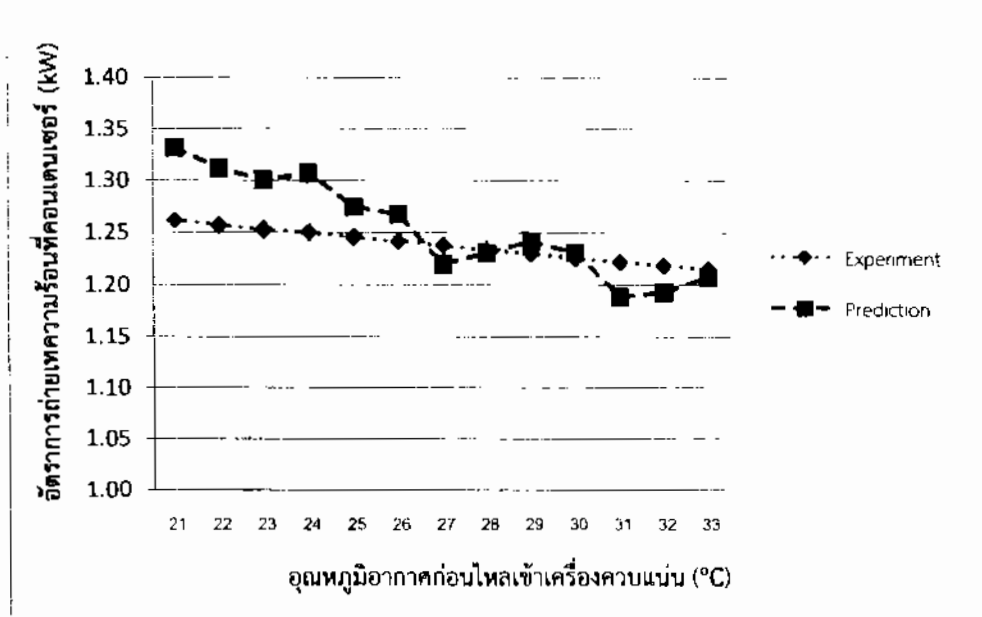


ภาพประกอบ 4.6 การเปรียบเทียบงานที่คอมเพรสเซอร์

จากการเปรียบเทียบงานของอุปกรณ์อัดໄอิที่ได้จากการวัดและการคำนวณโดยใช้แบบจำลอง ในช่วงอุณหภูมิอากาศเข้าที่อุปกรณ์ควบแน่น 21 องศาเซลเซียส ถึง 33 องศาเซลเซียส พบร่วมกับผลลัพธ์ที่ได้จากการทดลอง พบว่าค่าเฉลี่ยสัดส่วนความแตกต่างของงานในเครื่องอัดໄอิจะอยู่ที่ 5.22% โดยมีค่าความแตกต่างน้อยที่ 0.8% ที่อุณหภูมิ 26 องศาเซลเซียล และมีค่าความแตกต่างมากที่สุด 9.73% ที่อุณหภูมิ 31 องศาเซลเซียส จากผลการทดลองและการคำนวณมีความแตกต่างเนื่องจากการเก็บข้อมูลของผู้ทดลองและอุปกรณ์การวัดอัตราการไหลของสารทำความเย็นมีการเคลื่อนที่ตลอดเวลาจึงเก็บค่าที่แน่นอนได้ยาก เมื่ออุณหภูมิสูงขึ้นสัดส่วนความแตกต่างจะมีค่าเพิ่มขึ้น เช่นกัน และอุณหภูมิ T_2 มีค่าความแตกต่างดังในรูปที่ 4.5 จากรูปภาพด้านบนจะบอกได้ว่าช่วงที่ค่าจากการคำนวณมีค่างานที่คอมเพรสเซอร์สูงกว่าค่าจากการทดลองเพราอุณหภูมิ T_2 จากการคำนวณมีค่าสูงกว่าค่าจากการทดลอง และช่วงที่ค่างานที่คอมเพรสเซอร์จากการคำนวณมีค่าต่ำกว่าค่าจากการทดลองเพราอุณหภูมิ T_2 จากการคำนวณมีค่าต่ำกว่าค่าจากการทดลอง จึงส่งผลถึงการหาค่าเอ็นทัลปีที่ใช้ในการคำนวณงานที่คอมเพรสเซอร์ด้วย

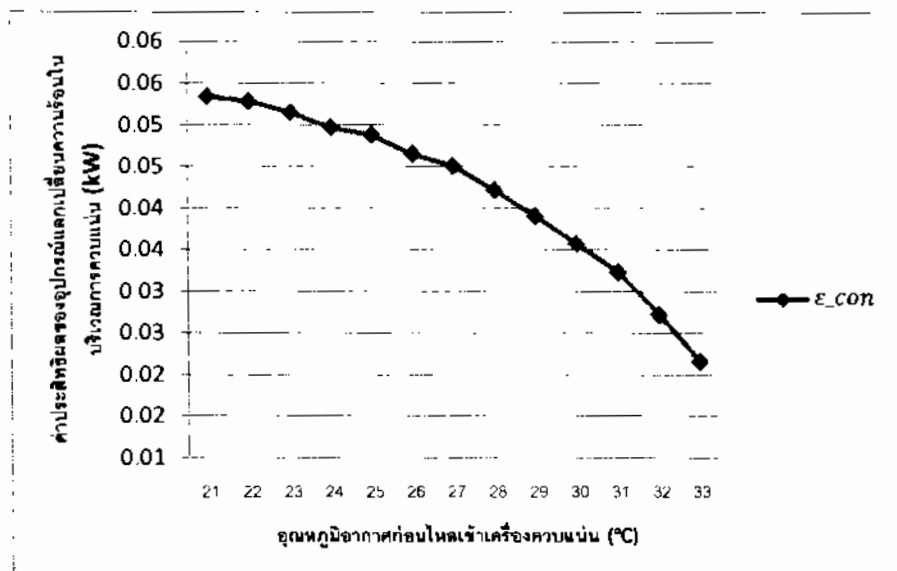
4.4.5 อัตราการถ่ายเทความร้อนที่ค่อนเดนเซอร์

จากรูปภาพแสดงถึงการเปรียบเทียบอัตราการถ่ายเทความร้อนที่ค่อนเดนเซอร์ โดยแกน X คือ อุณหภูมิอากาศเข้าที่อุปกรณ์เครื่องควบแน่นและแกน Y คืออัตราการถ่ายเทความร้อนที่ค่อนเดนเซอร์



ภาพประกอบ 4.7 การเปรียบเทียบการถ่ายเทความร้อนที่ค่อนเดนเซอร์

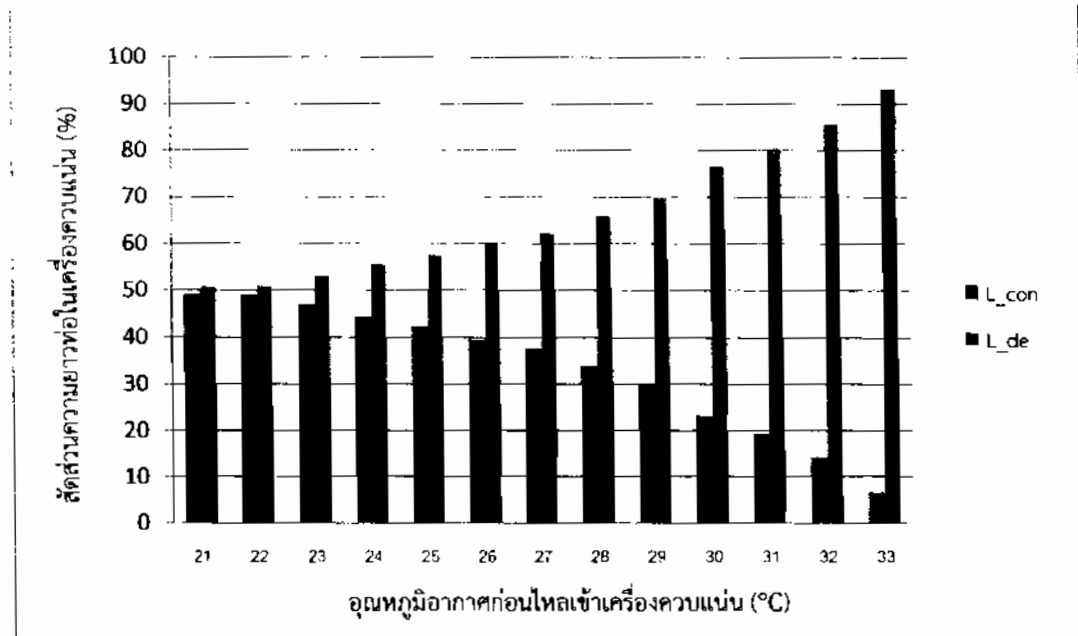
จากการเปรียบเทียบอัตราการถ่ายเทความร้อนที่ค่อนเดนเซอร์ที่คำนวณได้จากการวัดและจากการทำนายโดยใช้แบบจำลองในช่วงอุณหภูมิอากาศเข้าที่อุปกรณ์ควบแน่น 21 องศาเซลเซียส ถึง 33 เซลเซียส พบว่าค่าเฉลี่ยสัดส่วนความแตกต่างของการถ่ายเทความร้อนที่ค่อนเดนเซอร์จะอยู่ที่ 2.43% โดยมีค่าความแตกต่างน้อยที่ 0.26% ที่อุณหภูมิ 28 องศาเซลเซียส และมีค่าความแตกต่างมากที่สุด 5.56% ที่อุณหภูมิ 21 องศาเซลเซียส จากผลการทำนายและการทำนายมีความแตกต่างเนื่องจากการเปลี่ยนแปลงของการถ่ายเทความร้อนที่ค่อนเดนเซอร์ขึ้นอยู่กับอุณหภูมิอากาศที่ไฟลผ่านอุปกรณ์เครื่องควบแน่นเมื่ออุณหภูมิสูงขึ้นการถ่ายเทความร้อนจะน้อยลงเนื่องจากเกิดการควบแน่นของสารทำความเย็นบริเวณอุปกรณ์เครื่องควบแน่นได้น้อยทำให้ค่าคุณภาพไอนีค่าสูงซึ่งจะเห็นได้จากภาพประกอบ 4.10 ในขณะที่อุณหภูมิอากาศค่าคุณภาพไอนีอย่างแสดงว่าเกิดการควบแน่นของสารทำความเย็นได้มาก ซึ่งสอดคล้องกับค่าประสิทธิผลของอุปกรณ์ควบแน่นดังภาพประกอบ 4.8



ภาพประกอบ 4.8 การเปรียบเทียบค่าประสิทธิผลของอุปกรณ์แลกเปลี่ยนความร้อนในบริเวณการควบคุม

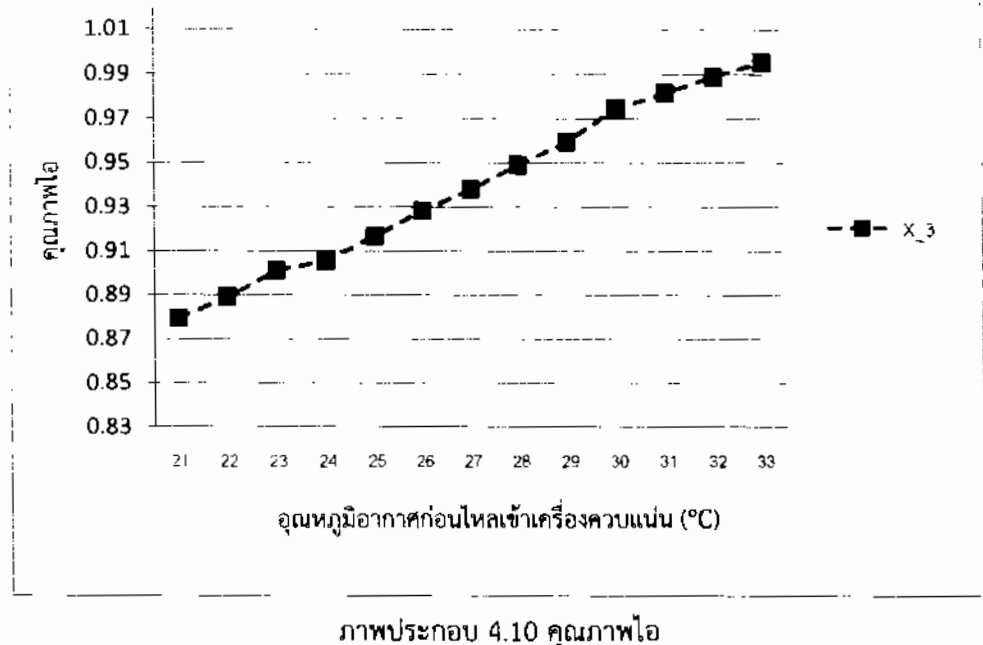
4.4.6 สัดส่วนความยาวของท่อในคอนเดนเซอร์

จากรูปด้านล่างแสดงถึงสัดส่วนความยาวของท่อในคอนเดนเซอร์ โดยแกน X เป็นอุณหภูมิอากาศเข้าที่อุปกรณ์ควบแน่นและแกน Y เป็นสัดส่วนความยาวของท่อในอุปกรณ์ควบแน่นซึ่งจะมีอยู่ 2 ช่วงคือ ช่วงของ การควบแน่น (L_{con}) และช่วงของการลดเป็นไอลยาดยิง (L_{de})

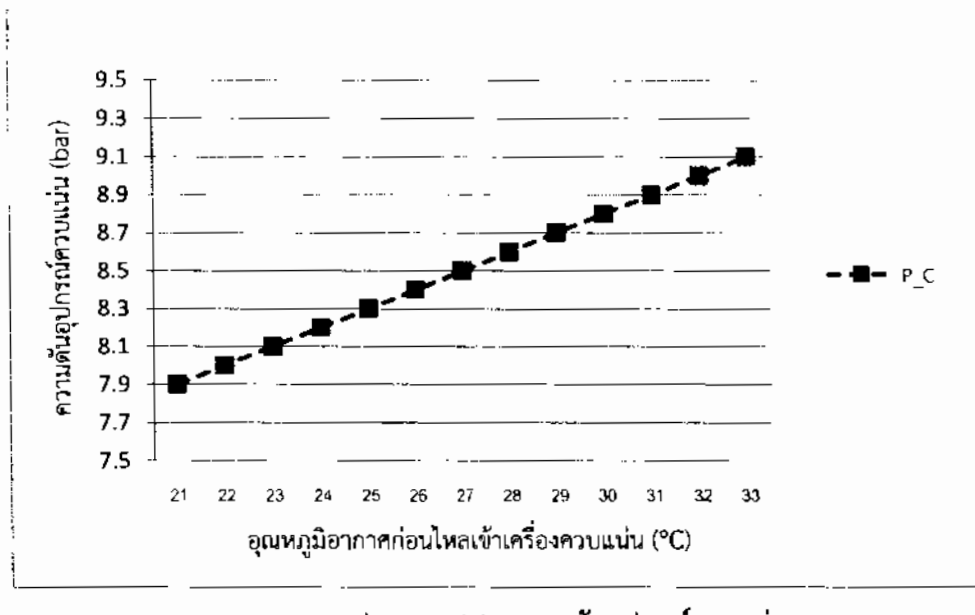


ภาพประกอบ 4.9 สัดส่วนความยาวของท่อในอุปกรณ์ควบแน่น

จากการเปรียบเทียบสัดส่วนความยาวของท่อในอุปกรณ์ควบแน่นที่ได้จากการทำงานโดยใช้แบบจำลองในช่วงอุณหภูมิ 21 องศาเซลเซียส ถึง 33 องศาเซลเซียส พบร่วมความยาวในอุปกรณ์ควบแน่นในช่วงการควบแน่นที่มีค่าความยาวน้อยที่ 6.7% ที่อุณหภูมิ 33 องศาเซลเซียส และมีค่าความยาวมากที่สุด 49% ที่อุณหภูมิ 21 องศาเซลเซียส ในขณะบริเวณที่ไอลยาดยิงมีค่าความยาวน้อยที่ 50.93% ที่อุณหภูมิ 21 องศาเซลเซียส และมีค่าความยาวมากที่สุด 93.3% ที่อุณหภูมิ 33 องศาเซลเซียส จากผลการทำงานเมื่ออุณหภูมิต่ำสัดส่วนความยาวของท่อในบริเวณไอลยาดยิงมีค่าน้อย และเมื่ออุณหภูมิสูงขึ้นสัดส่วนความยาวของท่อในบริเวณไอลยาดยิงจะมีค่ามากขึ้น เนื่องจากเกิดการควบแน่นของสารทำความเย็นบริเวณอุปกรณ์เครื่องควบแน่นได้น้อยจะเห็นได้จากภาพประกอบ 4.10 และภาพประกอบ 4.11 ซึ่งหมายความว่าค่าคุณภาพไอลยาดและค่าความดันของอุปกรณ์ควบแน่นมีผลต่อสัดส่วนความยาวของท่อในอุปกรณ์ควบแน่น



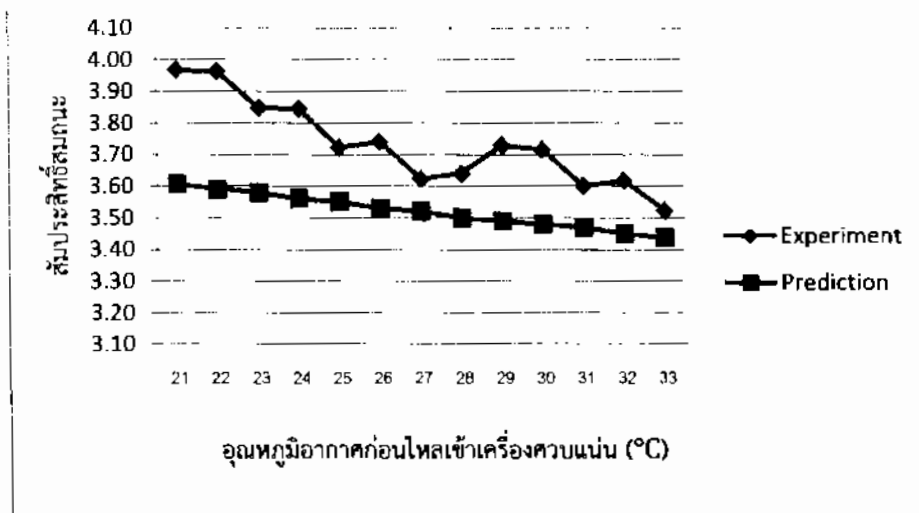
ภาพประกอบ 4.10 คุณภาพไอ



ภาพประกอบ 4.11 ความตันอุปกรณ์ควบแน่น

4.4.7 ค่าสัมประสิทธิ์สมรรถนะ

จากรูปภาพด้านล่างแสดงถึงค่าสัมประสิทธิ์ของระบบปรับอากาศ โดยแกน X คืออุณหภูมิอากาศเข้าที่อุปกรณ์เครื่องควบแน่นและแกน Y คือค่าสัมประสิทธิ์สมรรถนะที่ได้จากการทดลองและผลการทำนาย



ภาพประกอบ 4.12 การเปรียบเทียบค่าสัมประสิทธิ์สมรรถนะ

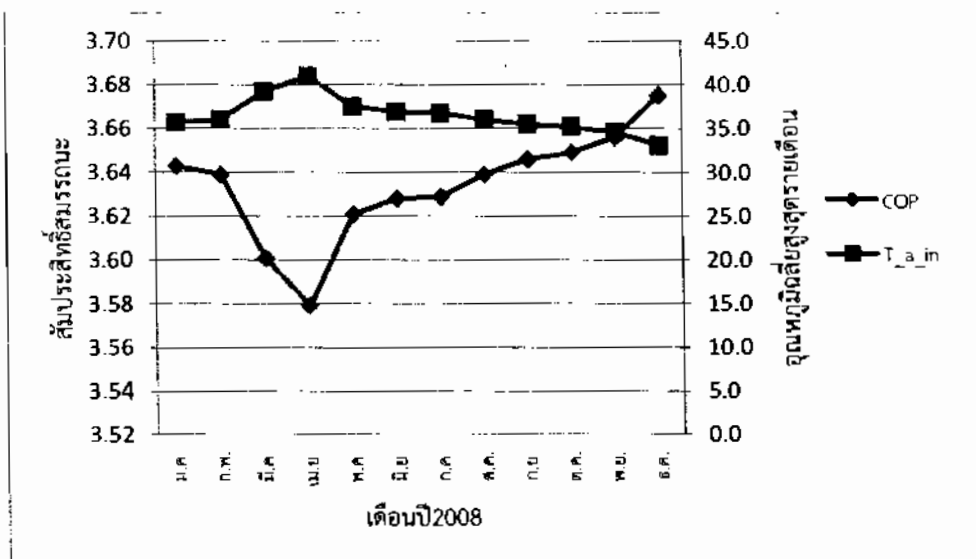
จากการเปรียบเทียบค่าสัมประสิทธิ์สมรรถนะที่ได้จากการวัดของอุปกรณ์การทดลองและจากการทำนายโดยใช้แบบจำลองทางคณิตศาสตร์ ระหว่างช่วงอุณหภูมิอากาศเข้าที่อุปกรณ์เครื่องควบแน่นที่ 21 องศาเซลเซียส ถึง 33 องศาเซลเซียส พบร่วมค่าเฉลี่ยสัดส่วนความแตกต่างค่าสัมประสิทธิ์สมรรถนะของเครื่องปรับอากาศจะอยู่ที่ 5.63% โดยมีค่าความแตกต่างน้อยที่สุด 2.44% ที่อุณหภูมิ 33 องศาเซลเซียส และมีค่าความแตกต่างมากที่สุด 9.10% ที่อุณหภูมิ 21 องศาเซลเซียส จากผลการทำนายมีค่าสัมประสิทธิ์สมรรถนะต่ำลง เมื่ออุณหภูมิอากาศก่อนเข้าเครื่องควบแน่นสูงขึ้นเนื่องจากเกิดการควบแน่นของสารทำความเย็นบริเวณอุปกรณ์ควบแน่นได้น้อยลง อัตราการถ่ายเทความร้อนที่อุปกรณ์ระเหยนน้อยลง ซึ่งส่งผลต่ออุปกรณ์ระเหยจึงทำให้ความสามารถในการทำความเย็นจะน้อยลง

บทที่ 5

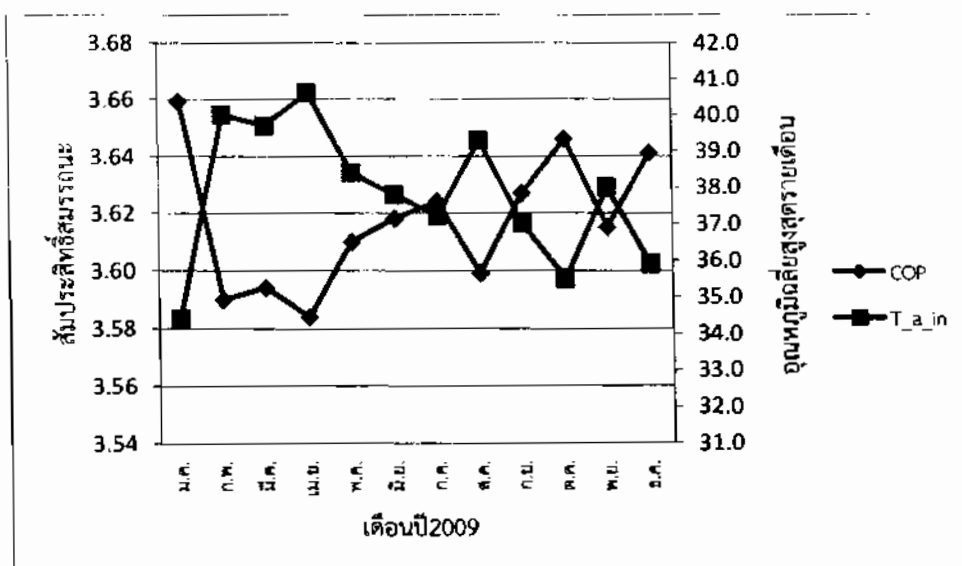
ตัวอย่างการศึกษาผลจากแบบจำลองและการวิจารณ์ผล

5.1 สัมประสิทธิ์สมรรถนะ

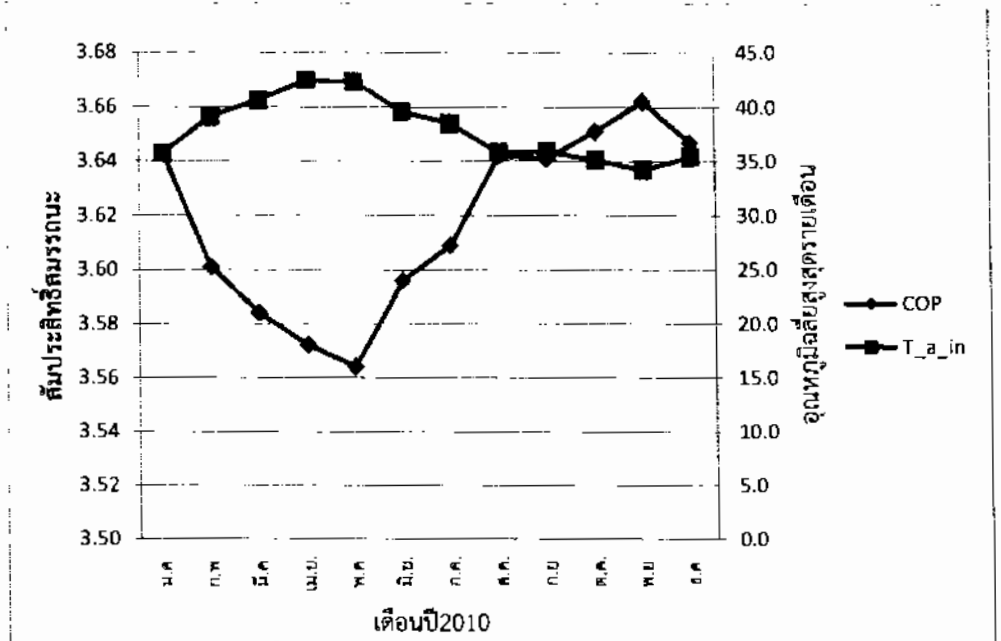
ได้ศึกษาพฤติกรรมที่เกิดขึ้นในระบบปรับอากาศโดยใช้เครื่อง ET600 Laboratory Air-Conditioning System มาจำลอง เพื่อคำนวณค่าสัมประสิทธิ์สมรรถนะเฉลี่ยของทุก ๆ เดือนจากปี 2008 -2012 โดยการป้อนข้อมูลในแบบจำลองได้แก่ อุณหภูมิอากาศเข้า ($T_{a,in}$) และความชื้น ($HR\%$) ค่าสัมประสิทธิ์สมรรถนะเฉลี่ยรายเดือนที่ได้จากการคำนวณแสดงให้เห็นดังภาพประกอบ 5.1 -5.5



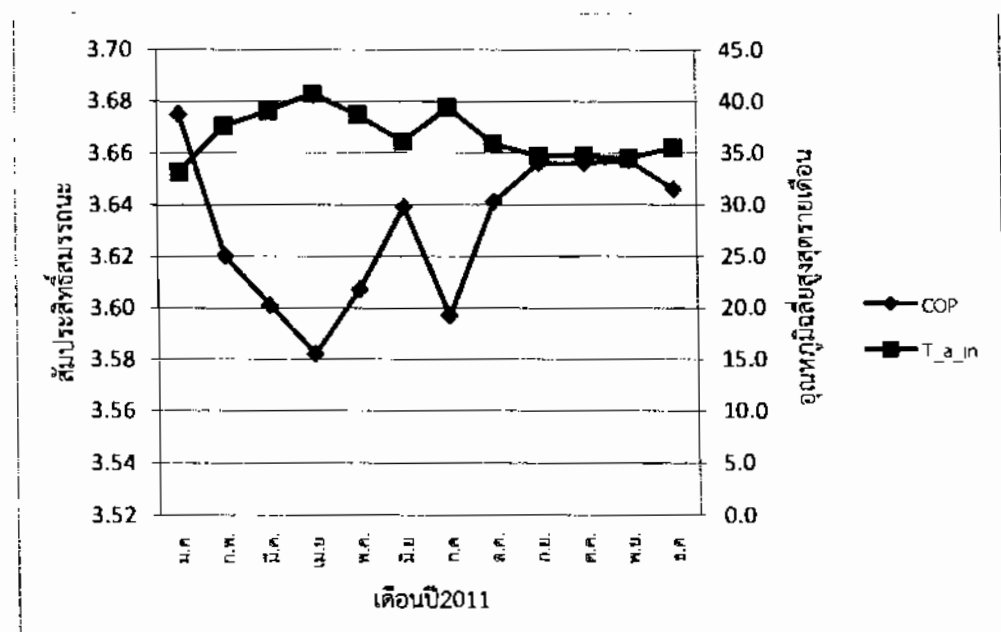
ภาพประกอบ 5.1 ค่าสัมประสิทธิ์สมรรถนะเฉลี่ยรายเดือนปี 2008



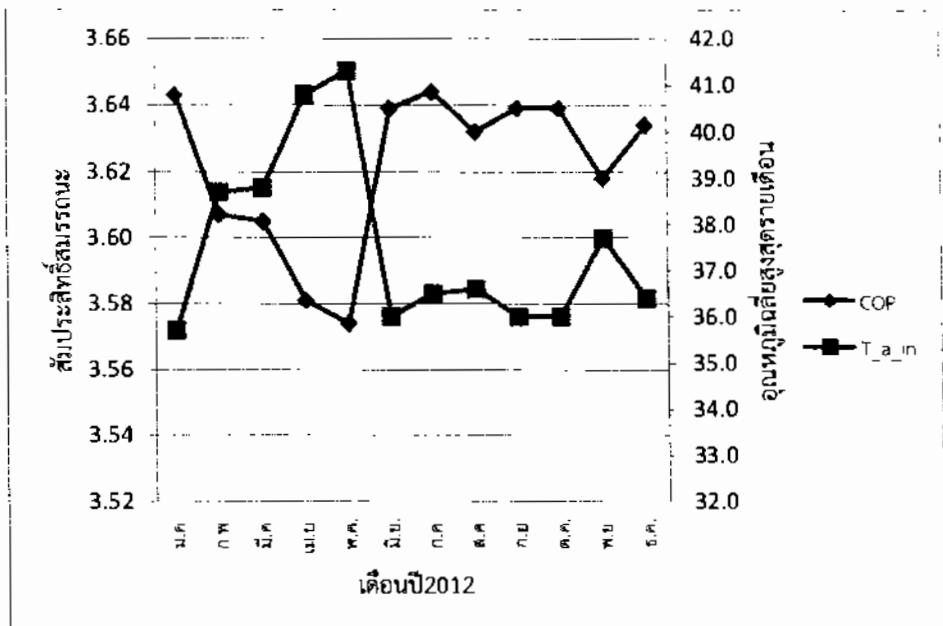
ภาพประกอบ 5.2 ค่าสัมประสิทธิ์สมรรถนะเฉลี่ยรายเดือนปี 2009



ภาพประกอบ 5.3 ค่าสัมประสิทธิ์สมรรถนะเฉลี่ยรายเดือนปี 2010

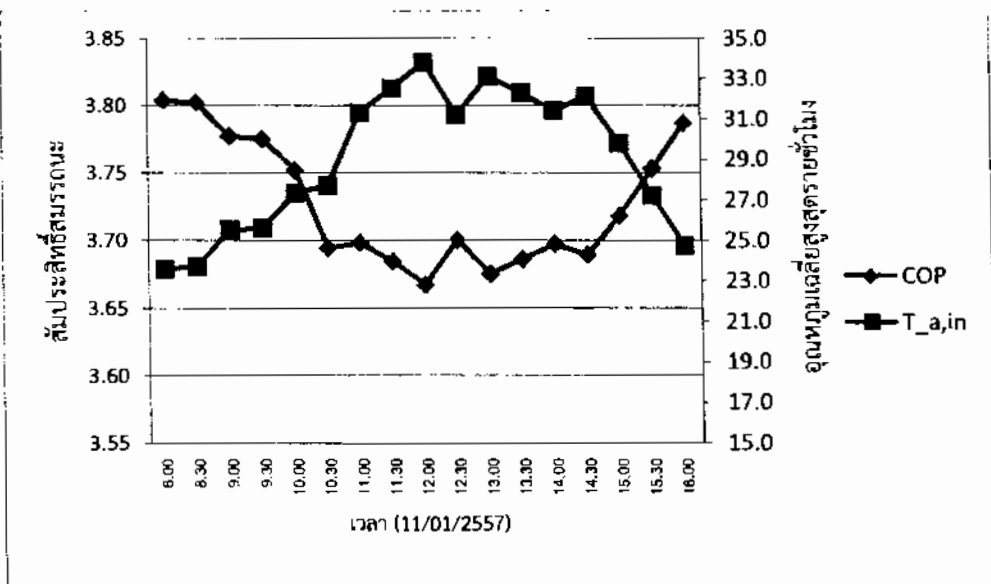


ภาพประกอบ 5.4 ค่าสัมประสิทธิ์สมรรถนะเฉลี่ยรายเดือนปี 2011



ภาพประกอบ 5.5 ค่าสัมประสิทธิ์สมรรถนะเฉลี่ยรายเดือนปี 2012

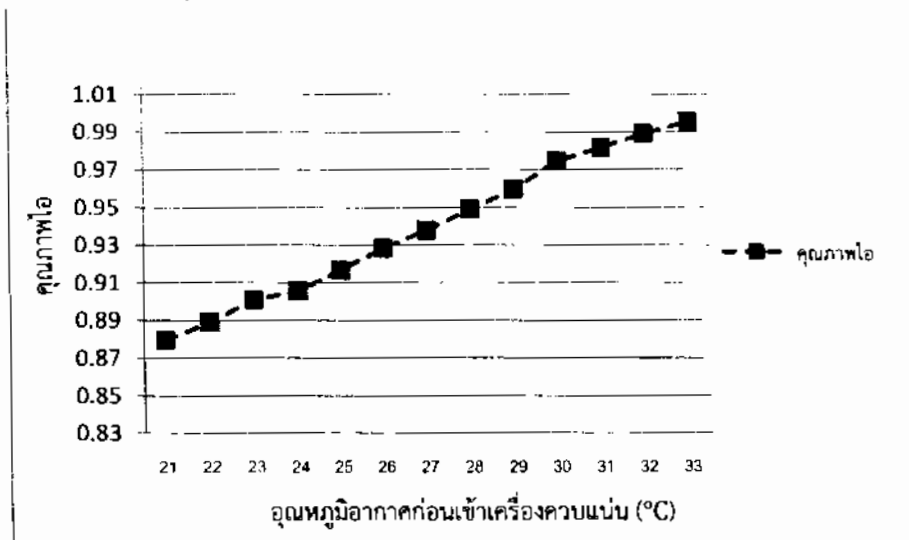
จากภาพประกอบ 5.1–5.5 พนวณค่าสัมประสิทธิ์สมรรถนะจะลดลงในช่วงเดือนเมษายนและพฤษภาคมเนื่องจากเป็นช่วงเดือนที่มีอุณหภูมิสูงส่งผลให้ประสิทธิภาพในการทำความเย็นต่ำลง ซึ่งในทางกลับกันช่วงเดือนมกราคมและธันวาคมจะมีค่าสัมประสิทธิ์สมรรถนะสูงเนื่องจากเป็นช่วงที่มีอุณหภูมิต่ำทำให้ประสิทธิภาพในการทำความเย็นสูง ซึ่งสอดคล้องกับผลของข้อมูลอากาศรายชั่วโมงดังภาพประกอบ 5.6



ภาพประกอบ 5.6 ค่าสัมประสิทธิ์สมรรถนะเฉลี่ยรายชั่วโมงวันที่ 11/01/2557

5.2 วิจารณ์ผลและข้อเสนอแนะ

ประเทศไทยมีอุณหภูมิและความชื้นค่อนข้างสูงโดยเฉพาะในช่วงเดือนเมษายนและพฤษภาคม ส่งผลให้มีค่า COP ต่ำ เนื่องจากปัจจัยที่มีผลต่อค่าสัมประสิทธิ์สมรรถนะของระบบปรับอากาศ คืออัตราการถ่ายเทความร้อนที่ค่อนeden เซอร์โดยเฉพาะบริเวณการควบแน่นซึ่งส่งผลต่อค่าอัตราการถ่ายเทความร้อนที่อุปกรณ์ระเหย โดยการควบแน่นของสารทำความเย็นบริเวณอุปกรณ์เครื่องควบแน่นจะได้มากหรือน้อยขึ้นอยู่กับอุณหภูมิอากาศก่อนเข้าอุปกรณ์ควบแน่นดังภาพประกอบ 5.7



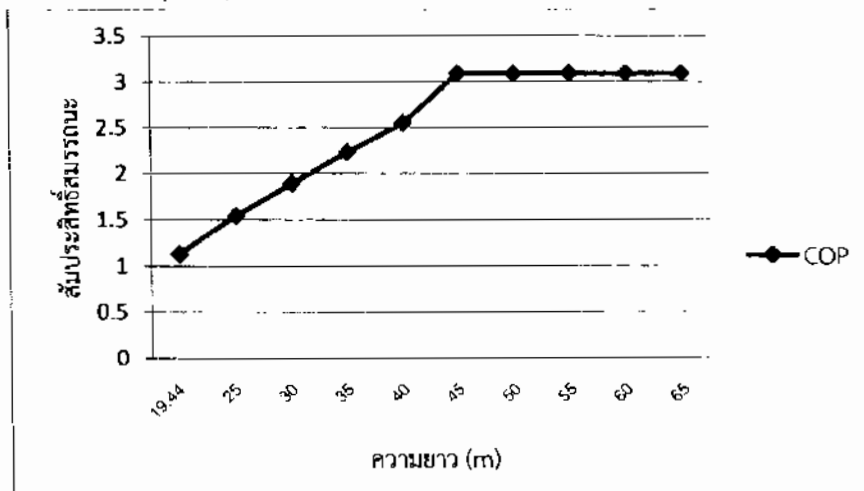
ภาพประกอบ 5.7 คุณภาพไอของสารทำความเย็นที่ออกจากอุปกรณ์ควบแน่น

ข้อเสนอแนะ

เมื่อรู้ปัจจัยที่มีผลต่อค่าสัมประสิทธิ์สมรรถนะของระบบปรับอากาศ จะมีวิธีการปรับปรุงระบบดังนี้

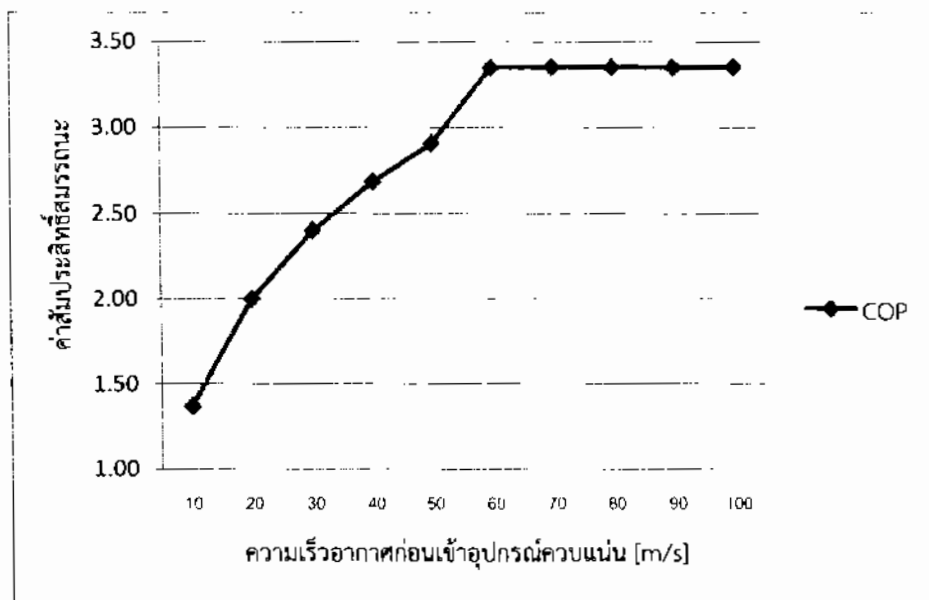
- ปรับปรุงโดยการลดอุณหภูมิอากาศก่อนให้เข้าอุปกรณ์ควบแน่น เช่น การติดตั้งคูลลิ่งแพดเพื่อลดอุณหภูมิอากาศก่อนให้เข้าอุปกรณ์ จะส่งผลให้ค่าสัมประสิทธิ์สมรรถนะมากขึ้น
- ปรับปรุงโดยการออกแบบอุปกรณ์การทดลองโดยเพิ่มความยาวท่อในอุปกรณ์ควบแน่นจะทำให้ค่าสัมประสิทธิ์สมรรถนะมากขึ้น เนื่องจากเป็นการเพิ่มพื้นที่ในการแลกเปลี่ยนความร้อนจึงส่งผลดีอัตราการถ่ายเทความร้อนบริเวณอุปกรณ์ควบแน่นมากขึ้นส่งผลถึงค่าสัมประสิทธิ์สมรรถนะดังภาพประกอบ 5.8 แต่จะมีผลกระทบต่อค่าใช้จ่ายเพิ่มมากขึ้นด้วย

หมายเหตุ แบบจำลองนี้จะเพิ่มความยาวได้สูงสุด 45 เมตร ถ้าเพิ่มความยาวมากกว่านี้จะไม่มีผลต่อสัมประสิทธิ์สมรรถนะ เนื่องจากแบบจำลองนี้จะกำหนดให้สารทำความเย็นที่ออกเป็นของเหลวอีมิต้า จึงทำให้อุณหภูมิของสารทำความเย็นที่ออกจากอุปกรณ์ควบแน่นมีค่าคงที่เมื่อเพิ่มความยาวได้สูงสุด 45 เมตร จึงทำให้เกิดจุดวิกฤติของการทำงานส่งผลให้ค่าสัมประสิทธิ์สมรรถนะคงที่



ภาพประกอบ 5.8 เปรียบเทียบค่าสัมประสิทธิ์สมรรถนะของความยาวท่อในอุปกรณ์ควบแน่น

- ปรับปรุงความเร็วอากาศก่อนเข้าอุปกรณ์ควบแน่นโดยใช้อุปกรณ์ควบคุมปริมาณลม เมื่อความเร็วของอากาศก่อนเข้าอุปกรณ์ควบแน่นเพิ่มมากขึ้นจะส่งผลต่ออัตราการไหลของอากาศมากขึ้นและส่งผลให้อัตราการถ่ายเทความร้อนบริเวณอุปกรณ์ควบแน่นมากขึ้น ซึ่งส่งผลให้ค่าสัมประสิทธิ์สมรรถนะสูงขึ้นดังภาพประกอบ 5.9 ซึ่งจากแบบจำลองเมื่อปรับค่าความเร็วอากาศก่อนเข้าอุปกรณ์ควบแน่นสูงขึ้นที่ 60 m/s ค่าสัมประสิทธิ์สมรรถนะจะคงที่ เนื่องจากแบบจำลองนี้จะกำหนดให้สารทำความเย็นที่ออกเป็นของเหลวอีมิต้า จึงทำให้อุณหภูมิของสารทำความเย็นที่ออกจากอุปกรณ์ควบแน่นมีค่าคงที่เมื่อเพิ่มความเร็วของอากาศ



ภาพประกอบ 5.9 เปรียบเทียบค่าสัมประสิทธิ์สมรรถนะของความเร็วอากาศก่อนเข้าอุปกรณ์ควบแน่น

บทที่ 6

บทสรุปและข้อเสนอแนะ

ระบบปรับอากาศที่ใช้ในประเทศไทยส่วนใหญ่เป็นระบบปรับอากาศแบบแยกส่วน ซึ่งระบบบันทึกว่ามีสัดส่วนการใช้พลังงานมากกว่า 78% เมื่อเปรียบเทียบกับระบบการใช้พลังงานอื่น ๆ ภายในการดังนั้นวิธีที่จะลดอัตราการใช้พลังงานภายในอาคารให้มีประสิทธิภาพสูงสุด คือ การลดพลังงานในระบบปรับอากาศลง มาตรการในการลดจะต้องไม่ส่งผลกระทบต่อผู้อยู่อาศัย ดังนั้นมาตรการปรับปรุงประสิทธิภาพของระบบจึงเป็นมาตรการที่ดีที่สุด ด้วยเหตุนี้โครงงานนี้ได้ศึกษาและทำความเข้าใจพฤติกรรมของระบบปรับอากาศเพื่อหาแนวทางในการปรับปรุงประสิทธิภาพของระบบ โดยใช้แบบจำลองทางคณิตศาสตร์โดยหาค่าตอบอุปกรณ์ใช้อาร์ฟแวร์ Engineering Equation Solver (EES) แบบจำลองที่สร้างขึ้นในโครงงานนี้เป็นแบบจำลองที่สร้างขึ้นโดยใช้หลักการสมดุลพลังงานในแต่ละกระบวนการที่เกิดขึ้น ซึ่งในแต่ละกระบวนการเป็นการให้ผลแบบสภาวะคงที่ สมการที่ใช้สำหรับหาค่าตัวแปรต่าง ๆ ในแบบจำลองจะหาจากสมการเรอมไฟริคล์ที่ได้จากการทดลอง จากบทความวิชาการก่อนหน้านี้ เช่น สมการหาประสิทธิภาพไอเซนไทรปิก และประสิทธิภาพเชิงปริมาตรในกระบวนการอัดไอ สมการหาสัมประสิทธิ์การพาความร้อนที่อุปกรณ์ควบแน่นเป็นต้น สมบัติทางเทอร์โนไดนามิกส์ในแต่ละสภาวะที่เกิดขึ้นในกระบวนการห้าอุปกรณ์ได้ โดยการเขียนฟังก์ชันหาใน EES ซึ่งแบบจำลองในแต่ละกระบวนการจะถูกใช้ยืนยันเชื่อมโยงให้เป็นแบบจำลองวัյจักร แบบจำลองของระบบปรับอากาศแบบแยกส่วนจะประกอบไปด้วย แบบจำลองของอุปกรณ์อัดไอเพื่อทำนายหาค่า งานของคอมเพรสเซอร์, อัตราการให้ของสารทำความเย็น, ประสิทธิภาพไอเซนไทรปิก, ประสิทธิภาพเชิงปริมาตรของคอมเพรสเซอร์ และอุณหภูมิของสารทำความเย็นมีอุปกรณ์คอมเพรสเซอร์ ส่วนแบบจำลองของอุปกรณ์ควบแน่นจะทำนายหาค่าอัตราการถ่ายเทขายความร้อนที่อุปกรณ์ควบแน่นทั้งในช่วงลดความเป็นไอยะยิ่งและช่วงควบแน่น, สัมประสิทธิ์พาความร้อนของสารทำความเย็น, สัมประสิทธิ์การพาความร้อนของอากาศ, ประสิทธิภาพของเครื่องระบายความร้อน, และประสิทธิผลของอุปกรณ์แลกเปลี่ยนความร้อน ส่วนแบบจำลองอุปกรณ์ลดความดันด้วยการหาค่าของอุณหภูมิที่ออกจากอุปกรณ์ลดความดัน และแบบจำลองอุปกรณ์ระเหยด้วยการหาค่าของอัตราการถ่ายเทขายความร้อนที่อุปกรณ์ระเหย และห้ายที่สุดจะทำนายหาค่า COP จากแบบจำลองของวัյจักรได้ โดยแบบจำลองทางคณิตศาสตร์ที่สร้างขึ้นนี้ได้ทำการตรวจสอบแบบจำลองจากผลการทดลองที่ได้จากอุปกรณ์การทดลอง ET600 Laboratory Air-Conditioning System ในช่วงอุณหภูมิอากาศก่อนในلفผ่านอุปกรณ์เครื่องควบแน่น 22 – 33 องศาเซลเซียส พบว่า ผลการเปรียบเทียบค่าสัมประสิทธิ์สมรรถนะระหว่างการทำนายกับการทดลองพบว่ามีความแตกต่างเฉลี่ย 6% นอกเหนือนี้ยังได้ใช้แบบจำลองทำการทำนายค่าสัมประสิทธิ์สมรรถนะเฉลี่ยรายเดือนโดยใช้ข้อมูลในปี 2008 -2012 เฉลี่ยของทุกๆ เดือน โดยการป้อนข้อมูลในแบบจำลองได้แก่ อุณหภูมิอากาศเข้าและความชื้น ค่าสัมประสิทธิ์สมรรถนะเฉลี่ยรายเดือนที่ได้จากการทำนาย พบร้า ค่าสัมประสิทธิ์สมรรถนะจะลดลงในช่วงเดือนเมษายนและพฤษภาคม เนื่องจากเป็นช่วงเดือนที่มีอุณหภูมิลุ่งส่งผลให้ประสิทธิภาพในการทำความเย็นต่ำลง ซึ่งในทางกลับกันช่วงเดือนกรกฎาคมและธันวาคมจะมีค่าสัมประสิทธิ์สมรรถนะสูง เนื่องจากเป็นช่วงที่มีอุณหภูมิต่ำทำให้

ประสิทธิภาพในการทำความเย็นสูง ซึ่งสอดคล้องกับผลของค่าเฉลี่ยรายชั่วโมง จากผลการศึกษาครั้งนี้ พบว่า ปัจจัยที่มีผลต่อประสิทธิภาพของระบบปรับอากาศ คือความสามารถในการระบายความร้อนออกที่อุปกรณ์ควบแน่น ดังนั้น การลดอุณหภูมิอากาศก่อนให้เข้าอุปกรณ์ควบแน่น จะทำให้ค่าสัมประสิทธิ์สมรรถนะเพิ่มมากขึ้นได้ หรือออกแบบอุปกรณ์ควบแน่นให้มีประสิทธิภาพในการระบายความร้อนเพิ่มขึ้นได้

เอกสารอ้างอิง

1. ข้าวाल ดันทกิตติ, การออกแบบห้องเย็นและระบบทำความเย็น, คณะวิศวกรรมศาสตร์, มหาวิทยาลัยเชียงใหม่ 2530.
2. อัครเดช สินธุกัคร, เครื่องทำความเย็น, คณะวิศวกรรมศาสตร์, สถาบันเทคโนโลยีพระจอมเกล้าเจ้าคุณทหารลาดกระบัง 2532.
3. ทนงเกียรติ เกียรติศิริวงศ์, เทอร์โมไดนามิกส์ 2, สถาบันเทคโนโลยีพระจอมเกล้าธนบุรี 2531.
4. สมชัย อัครทิวา, ชวัญจิต วงศ์ชาล, เทอร์โมไดนามิกส์, บริษัทสำนักพิมพ์ห้อป จำกัด 2547.
5. ฉัตรชัย นิมมค, เทอร์โมไดนามิกส์, สมคุสส่งเสริมเทคโนโลยี 2537.
6. ธนาคม ลุนธรชัยนาคแสง, การถ่ายเทความร้อน, บริษัทสำนักพิมพ์ห้อป จำกัด 2547.
7. J.P.Holman, Heat transfer, Southern Methodist University 1992.
8. สมศักดิ์ กีรติวุฒิเศรษฐี, หลักการและการใช้งานเครื่องมือวัดอุตสาหกรรม, สมคุสส่งเสริมเทคโนโลยี (ไทย-ญี่ปุ่น), พิมพ์ครั้งที่ 13 พฤษภาคม 2541
9. คู่มืออุปกรณ์การทดลอง ET 600 Laboratory Air-Conditioning System บริษัท G.U.N.T. Geratebau GmbH
10. กรมอุตุนิยมวิทยา, อุณหภูมิเฉลี่ยรายเดือนจากปี 2008 – 2010 และอุณหภูมิเฉลี่ยรายชั่วโมง
11. วีระวุฒิ อรุณวรรธน์, เอกสารประกอบการสอนวิชาการถ่ายโอนความร้อน, มหาวิทยาลัยมหาสารคาม 2547
12. Frank P. Incropera and David P. Dewitt, Fundamentals of Heat and Mass Transfer (fourth edition), John Wiley & Sons หน้า 420-468
13. Weerawoot Arunwattana, A Model for Improvement of Water Heating Heat Exchanger Designs for Residential Heat Pump Water Heaters, Massey University, Palmerston North, 2010
14. B.S.Petukhov, Heat Transfer and Friction in Turbulent Pipe Flow with Variable Physical Properties, High Temperature Institute, Academy of Science of the USSR, Moscow, USSR (1970)
15. Filonenko-Borodich, Festigkeitslehre, Verlag Technik, Filonenko (1960)

18. W.M.Kays and A.L.London , *Compact Heat Exchangers* ,Krieger Pub Co; 3 Sub edition (January 1998)

19. Dobson, M.K., and Chato, J.C., 1998, Condensation in Smooth Horizontal Tubes, ASME Journal of Heat Transfer, Vol. 120, pp. 193-213

ກາຄມນວດ

ภาคผนวก ก

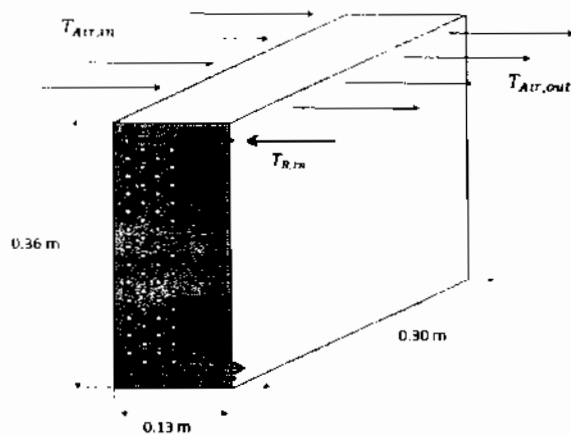
ตารางแสดงผลการวัดของอุปกรณ์การทดสอบ

ตัวแปร ควบคุม $(T_{a,in}) [^{\circ}\text{C}]$	ตัวแปรตาม (ค่าต้องการวัด)							
	$T_{a,aut} [^{\circ}\text{C}]$	RH%	$\dot{m}_r [\text{L/hr}]$	$P_C [\text{bar}]$	$P_E [\text{bar}]$	$T_1 [^{\circ}\text{C}]$	$T_2 [^{\circ}\text{C}]$	$T_3 [^{\circ}\text{C}]$
21	24	66	55	1.8	7.9	23	82	28
22	25	65	55	1.9	8	24	83	28
23	26	65	56	1.9	8.1	24	84	29
24	27	67	57	1.9	8.2	25	85	30
25	28	66	58	2	8.3	25	86	31
26	29	66	59	2	8.4	26	87	31
27	30	65	60	2.1	8.5	26	88	32
28	31	64	61	2.1	8.6	27	89	32
29	32	64	62	2.2	8.7	30	91	32
30	33	63	63	2.2	8.8	31	92	33
31	34	63	64	2.3	8.9	31	93	34
32	35	62	65	2.3	9	32	94	34
33	36	61	66	2.3	9.1	32	95	35

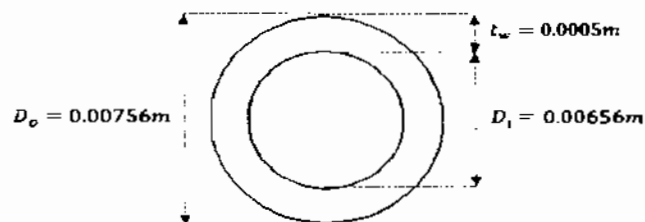
ภาคผนวก ช

ข้อมูลทางเทคนิคเครื่อง ET600 Laboratory of Air-conditioning system

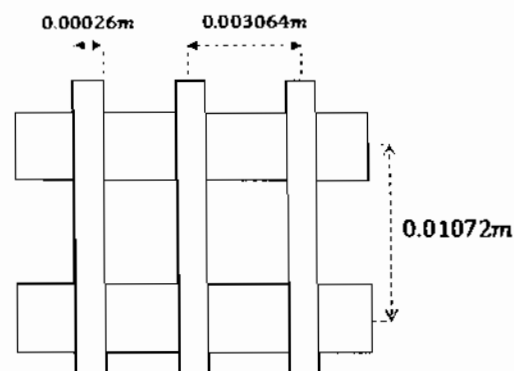
ช.1 ข้อมูลส่วนประกอบของอุปกรณ์ควบแน่น



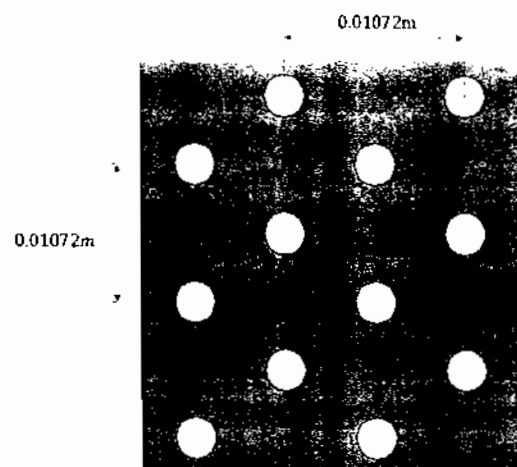
ภาพประกอบ ช.1.1 ทิศทางการไหลของสารทำความเย็นและอากาศ



ภาพประกอบ ช.1.2 ความหนาของท่อ



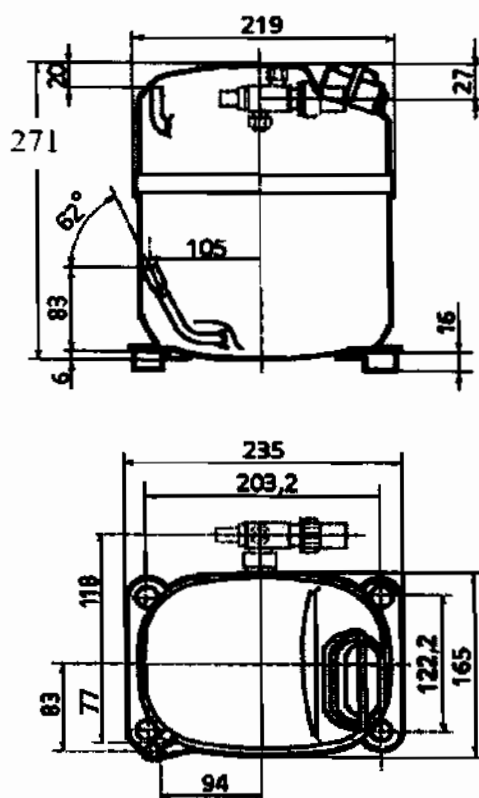
ภาพประกอบ ช.1.3 ระยะห่างและความหนาของครีบระบายความร้อน



ภาพประกอบ ช.1.4 ระยะห่างของหอ

ข.2 ข้อมูลส่วนประกอบของอุปกรณ์อัตโนมัติ

ชื่อยี่ห้อ	:	Tecumseh
รุ่น	:	CAJ4492Y
ประเภท	:	เครื่องทำความเย็นคอมเพรสเซอร์ลูกสูบคอมเพรสเซอร์สูญญากาศ
สารทำความเย็น	:	R134a
ปริมาตร	:	25.59 cm ²
แรงดันกระแสไฟฟ้า	:	220-240V ~ 60HZ
พลังงาน	:	3/4HP
น้ำหนัก	:	20 กก.



ภาพประกอบ ข.5 คอมเพรสเซอร์แบบลูกสูบ [Tecumseh Europe]

ภาคผนวก ค

รหัสของ การเขียนใน Engineering Equation Solver

รหัสแบบจำลองทางคณิตศาสตร์ ของอุปกรณ์การทดลอง ET 600 Laboratory Air-Conditioning

Procedure Desuperheating (R\$,G_a,P_t,m_dot_aa, L_total, h_a_DH, h_r_DH, h_2,D_i, D_o, eff_fin_DH, m_dot_r, P_C, c_p_Air, m_dot_r_line, T_a_in, k_wall, c_p_r, T_2, T_C, u_a, rho_a, m_dot_a, m_a_flux : L_d, T_a_out_desup, Q_desup)

```

h_gg = enthalpy(R$, P=P_C, x=1)
G_r = m_dot_r_line/(pi*(D_i^2)/4)
Q_desup = (m_dot_r_line)*(h_2 - h_gg)
T_a_out_desup = T_a_in + ((Q_desup)/((m_dot_a)*c_p_air))
AA = (T_2 - T_a_out_desup) - (T_C - T_a_in)
BB = ln((T_2 - T_a_out_desup)/(T_C - T_a_in))
LMTD_desup = AA/BB
P_g = P_C
UA_DH = (Q_desup)/LMTD_desup
xx = pi*D_i*h_r_DH
RR = 1/xx
WW = (ln(D_o/D_i))/(2*pi*k_wall)
yy = pi*D_o*h_a_DH*eff_fin_DH
AA = 1/yy
AAA = (RR + WW + AA)
L_d = AAA*UA_DH
END

```

Procedure Condensing(R\$,L_total, L_d, m_dot_aa,h_a_DH, h_r_sub, h_r_com, D_i, D_o, eff_fin_DH, m_dot_r, P_C, c_p_Air, m_dot_r_line, T_a_in, k_wall, c_p_r, T_C, u_a, rho_a, m_dot_a :Q_max_c,ee_cond,x_3,L_cc, h_ff,h_3,T_a_out_condensing, Q_condensing)

```

L_cc = L_total - L_d
RR = 1/(pi*D_i*h_r_com*L_cc)
WW = (ln(D_o/D_i))/(2*pi*k_wall*L_cc)
AA = 1/(pi*D_o*h_a_DH*eff_fin_DH*L_cc)
AAA = (RR + WW + AA)
UA_cc = 1/AAA
C_Air=m_dot_a*c_p_Air
C_min=C_Air
NTU_cc=UA_cc/C_min
dd=-NTU_cc

```

```

ddd= EXP(dd)
ee_cond= 1-ddd
Q_max_c=C_min*(T_C-T_a_in)
Q_condensing=ee_cond*Q_max_c
T_a_out_condensing=T_a_in+(Q_condensing/(m_dot_a*c_p_Air))
h_gg = enthalpy(R$, P=P_C, x=1)
h_ff = enthalpy(R$, P=P_C, x=0)
h_3=h_gg-(Q_condensing/m_dot_r_line)
T_3 = temperature(R$, P=P_C, h=h_3)
x_3 = (h_3 - h_ff)/(h_gg-h_ff)

```

IF x_3 <= 0 Then

```

Q_cond = (m_dot_r_line)*(h_gg - h_ff)
T_a_out_cond = T_a_in + ((Q_cond)/((m_dot_a)*c_p_air))
AA = (T_C - T_a_out_cond) - (T_C - T_a_in)
BB = ln(T_C - T_a_out_cond)/(T_C - T_a_in)
LMTD_cond = AA/BB
P_g = P_C
UA_DH = (Q_cond)/LMTD_cond
xx = pi*D_i*h_r_com
RR = 1/xx
WW = (ln(D_o/D_i))/(2*pi*k_wall)
yy = pi*D_o*h_a_DH*eff_fin_DH
AA = 1/yy
AAA = (RR + WW + AA)
L_cc = AAA*UA_DH

```

```

L_sub = L_total - L_d - L_cc
RR = 1/(pi*D_i*h_r_sub*L_sub)
WW = (ln(D_o/D_i))/(2*pi*k_wall*L_sub)
AA = 1/(pi*D_o*h_a_DH*eff_fin_DH*L_sub)
AAA = (RR + WW + AA)
UA_sub = 1/AAA
C_Air=m_dot_a*c_p_Air
c_r_sub = specheat(R$, P=P_C, x=0)
C_r = m_dot_r_line*c_r_sub
C_min=Min(C_air, C_r)

```

```

NTU_sub=UA_cc/C_min
dd=-NTU_sub
ddd= EXP(dd)
ee_sub= 1-ddd
Q_max_sub=C_min*(T_C-T_a_in)
Q_sub=ee_sub*Q_max_sub
T_a_out_sub=T_a_in+(Q_sub/(m_dot_a*c_p_Air))
h_gg = enthalpy(R$, P=P_C, x=1)
h_ff = enthalpy(R$, P=P_C, x=0)
h_3=h_ff-(Q_sub/m_dot_r_line)
T_3 = temperature(R$, P=P_C, h=h_3)
ENDIF

END
CALL Desuperheating(R$, G_a, P_t,m_dot_aa, L_total, h_a_DH, h_r_DH, h_2,D_i, D_o,
eff_fin_DH, m_dot_r, P_C, c_p_Air, m_dot_r_line, T_a_in, k_wall, c_p_r, T_2, T_C, u_a, rho_a,
m_dot_a, m_a_flux: L_d,T_a_out_desup, Q_desup)
CALL Condensing(R$,L_total, L_d, m_dot_aa,h_a_DH, h_r_com, h_r_sub, D_i, D_o, eff_fin_DH,
m_dot_r, P_C, c_p_Air, m_dot_r_line, T_a_in, k_wall, c_p_r, T_C, u_a, rho_a, m_dot_a
:Q_max_c,ee_cond,x_3, L_cc,h_3,h_ff, T_a_out_condensing, Q_condensing)

```

*****Compressor model*****

R\$='R134a'	
W_dot_c=m_dot_r*(h_2-h_1)	"งานที่ป้อนให้อุปกรณ์อัดไอ"
m_dot_r=rho_1*eff_v*V_dot_1	"ค่าอัตราการไหลของสารทำความเย็นที่ต้องการ ทิ้ง"
V_dot_1 = m_dot_r_ext/rho_1	"ปริมาตรรับเข้าสู่ท่อที่ส่วนใหญ่ของสารทำความเย็น
ก่อนเข้าคอมเพล็กเซอร์"	
rho_3 = density(R\$, P=P_C, T=T_3)	"ค่าความหนาแน่น"
rho_1=density(R\$,P=P_E, T=T_1)	"ค่าความหนาแน่น"
h_2=((h_2_dat-h_1)/eff_isent_comp)+h_1	
h_1=enthalpy(R\$,P=P_E,T=T_1)	
s_1=entropy(R\$,P=P_E,T=T_1)	
s_1=s_2	
h_2_dat=enthalpy(R\$,P=P_C,s=s_2)	
T_2 = temperature(R\$, P=P_C, h=h_22)	
Q_loss = 0.1*W_dot_c	
h_22 = h_2 - (Q_loss/m_dot_r)	

"Input in compressor model"

```
m_dot_r_ext = (66/3600)*0.001*rho_3
P_E=(2.3*1.013*10^5)/1000
P_C=(9*10^5)/1000
T_1=33
T_2_ex=95
T_3=35
PR_comp = P_C/P_E
T_E=temperature(R$, P=P_E, x=0)
T_C= temperature(R$, P=P_C, x=0)
dT_sh=5
eff_v= 0.003*PR_comp^3 - 0.0441*PR_comp^2 + 0.1796*PR_comp + 0.6803
eff_isent_comp=0.0069*PR_comp^3 - 0.0987*PR_comp^2 + 0.4274*PR_comp + 0.072
```

*****End of compressor model*****

*****Condenser model*****

*****Air side*****

"In put data "

```
T_a_out_exp = 36
T_a_in = 33
R_a_in = 0.61
u_a_DH= 7.5
u_a = u_a_DH
m_dot_a = G_aa*(P_t*0.36*12)
m_dot_a_a = rho_a*u_a_DH*P_t*0.36
m_a_flux = m_dot_a/(D_o*0.36)
k_a_1=conductivity(AirH2O, P=101.3, T=T_a_in, R=R_a_in)
k_a = k_a_1/1000
c_p_Air = specheat(AirH2O, P=101.3, T=T_a_in, R=R_a_in)
A_a= 0.108 [m^2]
P_a= (2*0.36+2*0.3)
uu_a=viscosity(AirH2O, P=101.3, T=T_a_in, R=R_a_in)
rho_a=density(AirH2O, P=101.3, T=T_a_in, R=R_a_in)
P_t=10.72*10^(-3)
P_l= P_t
F_p= 3.064*10^(-3)
```

"อัตราการไหลของสารทำความเย็นที่ทำการวัด"
 "ความดันด้านตัว"
 "ความดันด้านสูง"
 "อุณหภูมิก่อนเข้าอุปกรณ์อัดไอโอดีน"
 "อุณหภูมิที่ออกจากอุปกรณ์อัดไอโอดีน"
 "อุณหภูมิที่ออกจากอุปกรณ์ควบแน่น"
 "อุณหภูมิสิ่งแวดล้อมออกจากอุปกรณ์ควบแน่น"
 "อุณหภูมิสิ่งแวดล้อมก่อนเข้าอุปกรณ์ควบแน่น"
 "ความชื้นสัมพัทธ์"
 "velocity of air"

"ค่าการถ่ายโอนความร้อนของอากาศ"
 "พื้นที่ที่ได้รับอากาศเข้า"
 "Perimeter"
 "ระยะทางระหว่างท่อ"
 "ระยะทางระหว่างเครื่องหมายความร้อน"

```

D_c=D_o
L_k = 0.36          "ความยาวของท่อ"
N_row = 12           "จำนวนແກງ"
N_colum = 4           "จำนวนหลัก"
tick_F = 0.26*10^(-3) "ความหนาของครีบระบายความร้อน"
w_z = F_p + 2*tick_F
N_F = ((L_k/w_z) - 2)*N_row *N_colum
A_tube = pi*D_o*L_k*N_row*N_colum - N_F*pi*D_o*tick_F
A_F = N_F*(2*P_t - 2*pi*D_o^2/4)
A_total_a_cond = (A_tube + A_F)
ratio_d = 0.2
A_DH= A_total_a_cond*ratio_d
A_f_cs=A_F
P_f= 2*(P_t/2)+ 2*tick_F
t=tick_F
L_c = (P_t/2) + tick_F/2
m_dot_aa = G_a*(D_o*0.36)

```

"Heat transfer coefficient in air side"

```

h_a_DH=j_4*G_a*c_p_Air*(Pr^(3/2))
j_4=0.14*((Re_Dc)^(-0.328))*((P_t/P_l)^(-0.502))*((F_p/D_c)^0.0312)
G_aa=rho_a*u_a
G_a = m_dot_a/(D_o*0.36)
Pr=uu_a*c_p_Air/k_a
Re_Dc=rho_a*u_a_DH*D_h_a_DH/(uu_a)
D_h_a_DH=4*A_a/(P_a)
eff_fin_DH=(tanh(m_0*L_c))/(m_0*L_c)
m_0=(h_a_DH*P_f)/(k_a*A_f_cs)

```

"*****End of air side*****"

"***** In refrigerant side*****"

"De-superheating zone"

"Input Data"

```

m_dot_r_line = m_dot_r/2
P_2 = P_C
D_o = 0.00756
D_i = D_o - thick_wall

```



```

thick_wall = 0.0005
k_wall = 0.410
D_h_r_DH = D_i
uu_r=viscosity(R$, P=P_2, T=T_2)
A_i=(pi*D_i^2)/4
k_r_1=conductivity(R$, P=P_2, T=T_2)
k_r = k_r_1/1000
rho_2 = density(R$, P=P_2, T=T_2)
c_p_r = specheat(R$, P=P_2, T=T_2)
u_r_DH=m_dot_r_line/(rho_2*A_i)
G = m_dot_r_line/(pi*D_i^2/4)

" Heat transfer coefficient"
h_r_DH=Nu_r_DH*k_r/(D_h_r_DH)
Nu_r_DH=((f_r_h_DH/8)*(Re_r_DH)*(Pr_r_DH))/(b_r_DH+12.7*((f_r_h_DH/8)^0.5)*((Pr_r_DH^(2/3))-1))
b_r_DH=1.07+(900/Re_r_DH)-(0.63/(1+(10*Pr_r_DH)))
f_r_h_DH=1/(0.79*ln(Re_r_DH)-1.64)^2
Pr_r_DH=uu_r*c_p_r/(k_r)
Re_r_DH=rho_2*u_r_DH*D_h_r_DH/(uu_r)

" Pressure drop "
Delta_P_DH = 0
P_g = P_2 - Delta_P_DH
L_total = 19.44/2

" Condensing zone"
" In put data"
x=0.5
uu_g=viscosity(R$, P=P_c, x=1)
uu_f=viscosity(R$, P=P_C, x=0)
rho_f=density(R$, P=P_C, x=0)
rho_g=density(R$, P=P_c, x=1)
Pr_f=uu_f*c_p_f/(k_ff)
k_ff_1=conductivity(R$, P=P_c, x=0)
k_ff = k_ff_1/1000
c_p_f = specheat(R$, P=P_c, x=0)

```

' Pressure drop "

P_crit = P_crit(R\$)

Delta_P_c = 0

P_ff = P_g - Delta_P_c

"Heat transfer coefficient"

h_r_com=(Nu_com*k_ff)/D_i

Nu_com=0.023*((Re_fS)^0.8)*((Pr_f)^0.4)*(1+(2.22/(X_tt)^0.89))

Re_fS= Re_r_DH

X_tt=((1-x)/x)^0.9)*((rho_g/rho_f)^0.5)*((uu_f/uu_g)^0.1)

"End of condensing zone"

" Pressure dop "

Delta_P_sub = 0

P_3 = P_ff - Delta_P_sub

A_r = A_i

D_h_r_sub= D_i

uu_r_sub=viscosity(R\$, P=P_c, x=0)

k_r_sub_1=conductivity(R\$, P=P_c, x=0)

k_r_sub = k_r_sub_1/1000

rho_sub = density(R\$, P=P_c, x=0)

c_p_r_sub = specheat(R\$, P=P_c, x=0)

"Heat transfer coefficient"

h_r_sub=Nu_r_sub*k_r_sub/(D_h_r_sub)

Nu_r_sub=((f_r_h_sub/8)*(Re_r_sub)*(Pr_r_sub))/(b_r_sub+12.7*((f_r_h_sub/8)^0.5)*((Pr_r_sub^(2/3))-1))

b_r_sub=1.07+(900/Re_r_sub)-(0.63/(1+(10*Pr_r_sub)))

f_r_h_sub=1/(0.79*ln(Re_r_sub)-1.64)^2

Pr_r_sub=uu_r_sub*c_p_r_sub/(k_r_sub)

Re_r_sub=rho_sub*u_r_sub*D_h_r_sub/(uu_r_sub)

u_r_sub=m_dot_r_line/(rho_sub*A_r)

"Liquid Receiver"

T_3_Receiver=(0.5714*T_a_in)+27.462

P_3_Receiver=pressure(R\$, T=T_3_Receiver ,x=0)

h_3_Receiver=enthalpy(R\$,T=T_3_Receiver,x=0)

"R^2=0.9706"

```

"End of subcooling zone"
"h_3=h_4"
h_4=h_3_Receiver
h_ef = enthalpy(R$, P=P_E, x=0)
h_eg = enthalpy(R$, P=P_E, x=1)
x_4 = (h_4 - h_ef)/(h_eg - h_ef)
Q_E = m_dot_r*(h_1 - h_4)
COP = Q_E/W_dot_c

##### การคิดค่า % Error #####
Q_ERROR = 100*(abs(Q_cond_predict - Q_cond_exp))/Q_cond_exp
Q_cond_predict =(Q_desup + Q_condensing)*2
Q_cond_exp = m_dot_a*c_p_Air*(T_a_out_exp - T_a_in) "การหาค่าอัตราการถ่ายเทความร้อนที่
อุปกรณ์ควบแน่น"
T_a_out_exp = 36 "อุณหภูมิสิ่งแวดล้อมออกจากอุปกรณ์ควบแน่น"
eff_is_ERROR =100*(abs(eff_isent_comp - eff_is_ex))/eff_is_ex
eff_is_ex=(h_2_dat_ex-h_1_ex)/(h_2_ex-h_1_ex) "การหาค่าประสิทธิภาพไอเซนไทร์บิกของ
อุปกรณ์ไออัต"
s_1_ex=entropy(R$,P=P_E,T=T_1)
s_1_ex=s_2_ex
h_2_dat_ex=enthalpy(R$,P=P_C,s=s_2_ex)
COP_ERROR=100*(abs(COP - COP_ex))/COP_ex
COP_ex=Q_E_ex/W_dot_c_ex
Q_E_ex=m_dot_r_ext*(h_1_ex-h_4_ex)
h_1_ex=enthalpy(R$,P=P_E,T=T_1)
h_4_ex= enthalpy(R$,T=T_3,x=0)
T_2_ERROR=100*(abs(T_2 - T_2_ex))/T_2_ex
m_dot_r_ERROR=100*(abs(m_dot_r - m_dot_r_ext))/m_dot_r_ext
W_dot_c_ERROR=100*(abs(W_dot_c - W_dot_c_ex))/W_dot_c_ex
W_dot_c_ex=m_dot_r_ext*(h_2_ex-h_1_ex) "การหาค่างานที่ป้อนให้อุปกรณ์อัดไอจิง"
h_2_ex= enthalpy(R$, P=P_C, T=T_2_ex)
L_cc_%=(L_cc*100)/L_total
L_d_%=(L_d*100)/L_total

```

ประวัติย่อผู้ทำโครงการ

ชื่อ นามสกุล	นางสาววนิดา สารวรรณ
วัน เดือน ปีเกิด	วันที่ 22 มกราคม 2535
จังหวัด และประเทศที่เกิด	จังหวัดร้อยเอ็ด ประเทศไทย
ประวัติการศึกษา	<p>-พ.ศ. 2549 สำเร็จการศึกษามัธยมตอนต้นจากโรงเรียนข่าววิทยาคาร ตำบลขัวว อำเภอเสลภูมิ จังหวัดร้อยเอ็ด 45120</p> <p>-พ.ศ. 2552 สำเร็จการศึกษามัธยมตอนปลายจากโรงเรียนเสลภูมิพิทยาคม ตำบลวัญเมือง อำเภอเสลภูมิ จังหวัดร้อยเอ็ด 45120</p> <p>-พ.ศ. 2556 สำเร็จการศึกษาระดับปริญญาตรีตามหลักสูตรปริญญาวิทยา ศาสตรบัณฑิต (วท.บ) สาขาวิชาฟิสิกส์ประยุกต์</p> <p>จากมหาวิทยาลัยมหาสารคาม ตำบลสามเรียง อำเภอ กันทรลักษ์ จังหวัดมหาสารคาม 44150</p>
ที่อยู่ที่สามารถติดต่อได้	บ้านเลขที่ 3 หมู่ 5 ตำบลนางาม อำเภอเสลภูมิ จังหวัดร้อยเอ็ด 45120

ประวัติย่อผู้ทำโครงการ

ชื่อ นามสกุล	นางสาวเสาวลักษณ์ ดวงรัตน์
วัน เดือน ปีเกิด	วันที่ 17 พฤษภาคม 2534
จังหวัด และประเทศที่เกิด	จังหวัดสุรินทร์ ประเทศไทย
ประวัติการศึกษา	<p>-พ.ศ. 2549 สำเร็จการศึกษาระดับมัธยมศึกษาตอนต้นจากโรงเรียนพลับพลาชัยพิทยาคม ตำบลจันดุม อำเภอพลับพลาชัย จังหวัดบุรีรัมย์ 31250</p> <p>-พ.ศ. 2552 สำเร็จการศึกษาระดับมัธยมศึกษาตอนปลายจากโรงเรียนพลับพลาชัยพิทยาคม ตำบลจันดุม อำเภอพลับพลาชัย จังหวัดบุรีรัมย์ 31250</p> <p>-พ.ศ. 2556 สำเร็จการศึกษาระดับปริญญาตรีตามหลักสูตรบริณฑิต (วท.บ.) สาขาวิศึกษาประยุกต์</p> <p>จากมหาวิทยาลัยมหาสารคาม</p> <p>ตำบลขามเรียง อำเภอ กันทรลิ้น จังหวัดมหาสารคาม 44150</p>
ที่อยู่ที่สามารถติดต่อได้	บ้านเลขที่ 29 หมู่ 8 ตำบลจันดุม อำเภอพลับพลาชัย จังหวัดบุรีรัมย์ 31250